

APROXIMACIÓN BIOINFORMÁTICA Y MOLECULAR DE LA RUTA DE SÍNTESIS
DE LOS ALCALOIDES MAYORITARIOS EN LAS ESPECIES LOCALES
ZEPHYRANTHES CARINATA Y *ZEPHYRANTHES ROSEA*

DIANA MARCELA HERNÁNDEZ PALOMINO

UNIVERSIDAD ICESI
FACULTAD DE CIENCIAS NATURALES
PROGRAMA DE QUÍMICA FARMACÉUTICA
SANTIAGO DE CALI
2014

APROXIMACIÓN BIOINFORMÁTICA Y MOLECULAR DE LA RUTA DE SÍNTESIS
DE LOS ALCALOIDES MAYORITARIOS EN LAS ESPECIES LOCALES
ZEPHYRANTHES CARINATA Y *ZEPHYRANTHES ROSEA*

DIANA MARCELA HERNÁNDEZ PALOMINO

TRABAJO DE GRADO PARA OBTENER EL TÍTULO DE
PREGRADO EN QUÍMICA FARMACÉUTICA

Tutor, Marcela Santaella Tenorio Ph.D.

SANTIAGO DE CALI
2014

APROBADO POR:

Federico Odreman, Ph.D.
Evaluador

Rafael Santiago Castaño, Ph.D
Evaluador

Marcela Santaella Tenorio, Ph.D
Tutor

Santiago de Cali, 06 de agosto de 2014

AGRADECIMIENTOS

Doy especial agradecimiento a mi Madre, mi Padre y mi Hermano por el apoyo incondicional en los momentos más críticos del desarrollo de esta investigación.

A Martha Ceballos, amiga especial de la familia por su apoyo incondicional en todo momento.

A la Universidad Icesi y al semillero de investigación GIByQ de la Facultad de Ciencias Naturales, por el apoyo y espacio otorgado.

A Colciencias (Convocatoria 617 de 2013, Capítulo 1) por el apoyo económico para el desarrollo de este proyecto de investigación, a través del semillero de investigación GIByQ.

A Marcela Santaella Tenorio, Ph.D por su acompañamiento durante el desarrollo de este proyecto, por su interés constante en enseñar a sus estudiantes y por las recomendaciones orientadas al mejoramiento.

A Rafael Santiago Castaño, Ph.D por su interés en el desarrollo del proyecto y sus aportes pertinentes.

A Isabel C. Ocampo por su disponibilidad para compartir sus conocimientos en bioinformática, factor que fue fundamental para enfrentar el manejo de los programas y tomar decisiones sobre las problemáticas presentadas en este proceso.

CONTENIDO

RESUMEN	12
ABSTRACT	13
1. INTRODUCCIÓN.....	14
2. DESCRIPCIÓN DEL PROYECTO.....	16
2.1. PLANTEAMIENTO DE LA PROPUESTA Y JUSTIFICACIÓN	16
2.2. MARCO TEÓRICO.....	18
<i>Familia Amaryllidaceae</i>	18
<i>Distribución de las plantas de la familia Amaryllidaceae</i>	18
<i>Alcaloides de la familia Amaryllidaceae</i>	19
<i>Ruta biosintética elucidada de los alcaloides de Amaryllidaceae</i>	21
<i>Aspectos generales de las enzimas PAL, OMT y TYDC</i>	23
<i>Fenilalanina amonio liasa (PAL)</i>	23
<i>Tirosina descarboxilasa (TYDC)</i>	24
<i>O-metiltransferasa (OMT)</i>	25
<i>Abordaje para la identificación de enzimas dentro de la ruta biosintética</i>	25
<i>Uso de cebadores degenerados para amplificar por PCR genes desconocidos</i> 26	
<i>Clonación molecular como técnica molecular para la identificación de secuencias de interés</i>	27
2.3. OBJETIVOS	29
Objetivo general.....	29
Objetivos específicos.....	29
2.4. METODOLOGÍA.....	30
MATERIALES Y MÉTODOS.....	30
2.4.1. Revisión bibliográfica y bioinformática	30
2.4.2. Diseño de cebadores	32
2.4.3. Material vegetal y condiciones de crecimiento.....	35
2.4.4. Extracción de ARN total	36
2.4.5. Síntesis de ADNc.....	36
2.4.6. Amplificación por PCR de ADNc.....	37
2.4.7. Visualización de los productos de PCR	38
2.4.8. Clonación molecular	38

2.4.9. Transformación bacteriana	39
2.4.10. Confirmación de la presencia del inserto en el vector	39
2.4.11. Propagación de colonias recombinantes	40
2.4.12. Extracción del plásmido	40
2.4.13. Secuenciación	41
2.5. RESULTADOS	42
2.5.1. Revisión de bibliografía y bioinformática.....	42
2.5.2. Diseño de los cebadores.....	43
2.5.2.1. Cebadores obtenidos a partir del alineamiento de secuencias de aminoácidos.....	43
2.5.3. Preparación de las muestras para amplificación.....	49
Extracción de ARN total.....	49
Síntesis de ADNc.....	49
2.5.4. Amplificación de ADNc y visualización de los productos de PCR	50
2.5.4.1. Cebadores obtenidos a partir del alineamiento de secuencias de ARNm	51
2.5.5. Amplificación de ADNc de los nuevos cebadores	54
2.5.6. Clonación molecular y transformación bacteriana en <i>E. coli</i>	55
2.5.7. Extracción del plásmido	59
2.5.8. Secuenciación.....	60
2.6. DISCUSIÓN.....	64
2.7. CONCLUSIONES.....	68
2.8. RECOMENDACIONES	69
3. REFERENCIAS	70
4. ANEXOS.....	73
ANEXO 1: ESQUEMAS SOBRE LA RUTA BIOSINTÉTICA DE LOS ALCALOIDES DE LA FAMILIA AMARYLLIDACEAE.....	73
ANEXO 2: PROTOCOLOS DE LABORATORIO – TÉCNICAS DE BIOLOGÍA MOLECULAR	75
ANEXO 3: BIOINFORMÁTICA PARA DISEÑO DE CEBADORES – ALINEAMIENTOS DE SECUENCIAS	80

LISTA DE TABLAS

Tabla 1. Números de referencia en la base de datos de proteínas de las secuencias de aminoácidos utilizadas para hacer el alineamiento para cada enzima.....	32
Tabla 2. Nomenclatura para expresar la degeneración en la secuencia de nucleótidos de los cebadores.....	33
Tabla 3. Números de referencia en la base de datos de nucleótidos de las secuencias de ARNm utilizadas para hacer el alineamiento para cada enzima....	34
Tabla 4. Material vegetal de la colección de la Universidad Icesi. Especies <i>Z. carinata</i> y <i>Z. rosea</i>	35
Tabla 5. Condiciones de amplificación por PCR utilizadas en el análisis de las diferentes combinaciones de cebadores diseñados.....	37
Tabla 6. Lista de cebadores diseñados teniendo en cuenta los alineamientos obtenidos a partir de secuencias de aminoácidos de especies reportadas en la base de datos del NCBI. Se muestra el análisis teniendo en cuenta longitud, Tm, %GC y estructuras secundarias.....	45
Tabla 7. Combinaciones de cebadores evaluadas mediante amplificación para la enzima OMT.....	46
Tabla 8. Combinaciones de cebadores evaluadas mediante amplificación para la enzima PAL.....	47
Tabla 9. Combinaciones de cebadores evaluadas mediante amplificación para la enzima TYDC	48
Tabla 10. Concentración y calidad del ARN total extraído de las hojas en individuos de <i>Z. carinata</i> y <i>Z. rosea</i>	49
Tabla 11. Lista de cebadores diseñados teniendo en cuenta los alineamientos obtenidos a partir de secuencias de ARNm de especies reportadas en la base de datos del NCBI. Se muestra el análisis teniendo en cuenta longitud, Tm, %GC y estructuras secundarias.....	52
Tabla 12. Combinación de cebadores evaluada mediante amplificación para la enzima OMT.....	53
Tabla 13. Combinaciones de cebadores evaluadas mediante amplificación para la enzima PAL.....	53

Tabla 14. Combinaciones de cebadores evaluadas mediante amplificación para la
enzima TYDC 53

Tabla 15. Resultados de la búsqueda de secuencias similares a las secuencias de
los insertos en las bases de datos mediante BLAST 61

LISTA DE FIGURAS

Figura 1. Reacción enzimática mediada por la enzima PAL en la biosíntesis de los alcaloides de Amaryllidaceae. Tomado de http://www.genome.jp/dbget-bin/www_bget?ec:4.3.1.24	24
Figura 2. Reacción enzimática mediada por la enzima TYDC en la biosíntesis de los alcaloides de Amaryllidaceae. Tomado de http://www.genome.jp/dbget-bin/www_bget?rn:R00736	24
Figura 3. Código genético estándar. Tomado de http://blog.cienciasdelanaturaleza.es/	33
Figura 4. Electroforesis en gel de agarosa del producto de PCR a partir de las muestras de ADNc células HeLa. RT(+): cóctel de PCR contiene la enzima Reverse Transcriptase (RT). RT(-): No se le adicionó enzima. MP: Marcador de Peso.....	49
Figura 5. Electroforesis de los productos de PCR donde se evaluaron las siguientes combinaciones: A (Comb 5), B (Comb 7), C (Comb 17), D (Comb 14), E (Comb 20), A1 (Comb 1), B1 (Comb 3), C1 (Comb 4), D1 (Comb 11), E1 (Comb 13) F1 (Comb 18), G1 (Comb 23), H1 (Comb 25), I1 (Comb 26). Las temperaturas especificadas corresponden a la temperatura de annealing (Ta) empleada para la pareja de cebadores. Por cada combinación se hizo un control negativo (-) sin ADNc molde. Las muestras evaluadas fueron: 36 (IA-036) y 23 (IA-023). Mp: Marcador de peso molecular, 1Kb (Promega).....	50
Figura 6. Electroforesis de los productos de PCR con las combinaciones de cebadores degenerados A: comb. 32; B: comb. 38; C: comb. 40; D: comb. 37; E: comb. 39; F: comb. 33. Las temperaturas especificadas corresponden a la temperatura de annealing (Ta) empleada para cada pareja de cebadores. Por cada combinación se hizo un control negativo (-) sin ADNc molde. Las muestras evaluadas fueron: 45 (IA-045) <i>Z. rosea</i> y 100 (IA-100) <i>Z. carinata</i> . Mp: Marcador de peso molecular, <i>Fast Ruler Low Range DNA Ladder</i> (Fermentas). El fragmento amplificado tiene una longitud esperada de ~490pb.	54
Figura 7. Electroforesis de los productos de PCR con los cebadores degenerados <i>DegOMTfor6 - DegOMTrev6</i> a una temperatura de annealing (Ta) de 51,1°C. Los individuos analizados son 23 (IA-023), 100 (IA-100), 36 (IA-036), 21iv (IA-021iv obtenido de cultivo <i>in vitro</i>), 25iv (IA-025iv obtenido de cultivo <i>in vitro</i>), 100iv (IA-100iv obtenido de cultivo <i>in vitro</i>), todos de <i>Z. carinata</i> y 45 (IA-045) de <i>Z. rosea</i> ; (-) indica el control negativo. MP: marcador de peso molecular <i>Fast Ruler Low Range DNA Ladder</i> (Fermentas). El fragmento amplificado tiene una longitud esperada de ~490pb.	55

Figura 8. Cultivo de baterías transformadas con la ligación conteniendo el fragmento amplificado de OMT en el individuo IA-036.....	56
Figura 9. Cultivo de baterías transformadas con la ligación conteniendo el fragmento amplificado de OMT en el individuo IA-025iv.	56
Figura 10. Cultivo de baterías transformadas con la ligación conteniendo el fragmento amplificado de OMT en el individuo IA-021iv.	56
Figura 11. Cultivo de bacterias transformadas con la reacción de ligación conteniendo un inserto de un fragmento amplificado de 953pb como control positivo.	56
Figura 12. Electroforesis de los productos de PCR a partir de las colonias provenientes de la transformación bacteriana con las ligaciones con el fragmento de OMT para los individuos IA-036, IA-021iv y IA-025iv de <i>Z. carinata</i> . Los números indican el número de la colonia aislada que fue tomada para la reacción de PCR. MP1: marcador de peso molecular 1Kb, Promega. MP2: marcador de peso molecular <i>Fast Ruler Low Range DNA Ladder</i> (Fermentas)	58
Figura 13. Electroforesis de los plásmidos extraídos a partir de las colonias que se identificaron como informativas en la amplificación por PCR. A: Plásmidos provenientes de la amplificación en los Individuos IA-021iv e IA-036. B: Plásmidos provenientes de la amplificación en el individuo IA-025iv. C: Plásmidos provenientes de la amplificación en los individuos IA-100, IA-025iv e IA-100iv. ...	58
Figura 14. Electroforesis de los plásmidos obtenidos a partir de colonias transformadas y sus correspondientes reacciones de digestión mediante las enzimas de restricción EcoRI y BamHI. Los plásmidos provienen de las ligaciones con el fragmeto amplificado de OMT de los individuos IA-100, IA-025iv, IA-100 de <i>Z. carinata</i> . En los cuatro primeros carriles pC1 y pC2 corresponden a los plásmidos de la colonia 1 y 2 de la respectiva ligación. En los últimos cuatro carriles dC1 y dC2 corresponden a la digestion de los plásmidos de las colonias de las respetivas ligaciones. La banda a ~650pb en los últimos cuatro carriles corresponde al fragmento del inserto de interés.	59
Figura 15. Secuencia de ADNc consenso para una región de la enzima OMT en especies de <i>Z. carinata</i>	62
Figura 16. Dominios conservados en la secuencia consenso para la enzima OMT en <i>Z. carinata</i> , identificadas mediante BLAST. A: dominio conservado que hace referencia a la superfamilia de metiltransferasas 2. B: dominio conservado que hace referencia a la región de dimerización en proteínas OMT en plantas. C: dominio conservado que se corresponde con la región del sitio de unión a SAM en enzimas OMT dependiente de SAM.....	62

Figura 17. Estructura química de los núcleos básicos de los alcaloides de Amaryllidaceae (Osorio Durango, 2008)	73
Figura 18. Ruta de biosíntesis de los alcaloides típicos de Amaryllidaceae. Etapa inicial (Berkov <i>et al.</i> , 2009)	74
Figura 19. Síntesis del precursor O-metilnorbeladina mediante la acción enzimática de la enzima Catecol-O-metiltransferasa (Eichhorn <i>et al.</i> , 1998)	74
Figura 20. Alineamiento múltiple de secuencias de aminoácidos de especies reportadas en la base de datos del NCBI. Las secuencias corresponden a la enzima OMT. Las regiones resaltadas corresponden a las regiones de referencia para el diseño de cebadores.	80
Figura 21. Alineamiento múltiple de secuencias de aminoácidos de especies reportadas en la base de datos del NCBI. Las secuencias corresponden a la enzima PAL. Las regiones resaltadas corresponden a las regiones de referencia para el diseño de cebadores	80
Figura 22. Alineamiento múltiple de secuencias de aminoácidos de especies reportadas en la base de datos del NCBI. Las secuencias corresponden a la enzima TYDC. Las regiones resaltadas corresponden a las regiones de referencia para el diseño de cebadores	84
Figura 23. Alineamiento múltiple de secuencias de ARNm de especies reportadas en la base de datos del NCBI. Las secuencias corresponden a la enzima OMT. Las regiones resaltadas corresponden a las regiones de referencia para el diseño de cebadores.....	85
Figura 24. Alineamiento múltiple de secuencias de ARNm de especies reportadas en la base de datos del NCBI. Las secuencias corresponden a la enzima PAL. Las regiones resaltadas corresponden a las regiones de referencia para el diseño de cebadores.....	87
Figura 25. Alineamiento múltiple de secuencias de ARNm de especies reportadas en la base de datos del NCBI. Las secuencias corresponden a la enzima TYDC. Las regiones resaltadas corresponden a las regiones de referencia para el diseño de cebadores.....	94
Figura 26. Alineamiento múltiple de secuencias de ADNc correspondientes al inserto para la enzima OMT en plásmidos recombinantes. Transformación proveniente de amplificados de ADNc obtenidos a partir de muestras de <i>Z. carinata</i>	97
Figura 27. Alineamiento múltiple de secuencias de ADNc correspondientes al inserto para la enzima OMT en plásmidos recombinantes. Transformación	

proveniente de amplificados de ADNc obtenidos a partir de muestras de <i>Z. carinata</i> . No se ha incluido la secuencia del individuo IA-021iv_OMT_Colonia9.100	
Figura 28. Cromatograma correspondiente a la secuenciación del inserto del amplificado de la enzima OMT en plásmidos recombinantes. La secuencia pertenece a la muestra de IA-036_OMT_Colonia19. Macrogen Korea es el proveedor del servicio de secuenciación.....	102
Figura 29. Alineamiento múltiple de las secuencias de ADNc obtenidas a partir de los insertos correspondientes a un fragmento de la enzima OMT para el individuo IA-100.....	103
Figura 30. Alineamiento múltiple de las secuencias de ADNc obtenidas a partir de los insertos correspondientes a un fragmento de la enzima OMT para el individuo IA-036.....	103
Figura 31. Alineamiento múltiple de las secuencias de ADNc obtenidas a partir de los insertos correspondientes a un fragmento de la enzima OMT para el individuo IA-021 obtenido de cultivo <i>In vitro</i>	104
Figura 32. Alineamiento múltiple de las secuencias de ADNc obtenidas a partir de los insertos correspondientes a un fragmento de la enzima OMT para el individuo IA-025 obtenido de cultivo <i>In vitro</i>	105
Figura 33. Alineamiento múltiple de las secuencias de aminoácidos obtenidas del proceso de traducción. Se obtiene la misma secuencia de aminoácidos para los 4 insertos descritos en el alineamiento, los cuales provienen de los individuos IA-100, IA-036 e IA-025iv.....	105
Figura 34. Alineamiento múltiple de las secuencias de aminoácidos obtenidas del proceso de traducción, a partir del cual se identifican 6 secuencias diferentes. .	106

RESUMEN

La familia Amaryllidaceae comprende un grupo de plantas herbáceas caracterizadas por tener un amplio uso ornamental por ser plantas muy diversas en cuanto a formas y colores, pero también por su capacidad de producir gran diversidad de alcaloides, los cuales son exclusivos de esta familia. Estos metabolitos secundarios tienen actividades farmacológicas importantes, tales como efectos antitumorales, antivirales, antiparasitarios y analgésicos.

La mayor parte de las investigaciones que se han hecho sobre esta familia, se ha dirigido a la caracterización fitoquímica, mientras que los aspectos moleculares de la biosíntesis natural de los alcaloides no han sido caracterizados de forma clara y precisa. Lo que hasta el momento se ha reportado incluye la identificación de las enzimas biosintéticas PAL (*Phenylalanine ammonia-lyase*), TYDC (*Tyrosine decarboxylase*) y OMT (*Catechol-O-methyltransferase*), involucradas en la etapa inicial de la ruta. Adicionalmente en Colombia se encuentran los géneros *Calicharis*, *Caliphruria*, *Crinum*, *Eucharis*, *Hippeastrum*, *Phaedranassa*, *Plagiorion* y *Zephyranthes* para los cuales no se han encontrado reportes acerca de la caracterización genética de estas enzimas.

En este estudio se determinó una secuencia de ADNc correspondiente a un fragmento de la enzima OMT en individuos de *Zephyranthes carinata*, familia Amaryllidaceae. A partir de regiones conservadas en secuencias reportadas para las enzimas OMT, PAL y TYDC, se generaron cebadores degenerados los cuales fueron empleados para hacer amplificación mediante PCR. El análisis bioinformático a través del cual se abordó el diseño de los cebadores degenerados, permitió concluir que los alineamientos de secuencias de ARNm fueron más informativos que los alineamientos de secuencias de proteínas a partir de los cuales se crearon los cebadores.

Los resultados obtenidos en esta investigación tienen el potencial de aportar al desarrollo de estrategias dirigidas hacia la caracterización de otras enzimas dentro de la ruta biosintética de los alcaloides en *Z. carinata* y en otras especies de Amaryllidaceae, así como identificar variantes enzimáticas que intervengan en el patrón de producción de alcaloides específicos.

PALABRAS CLAVE: Amaryllidaceae, *Zephyranthes carinata*, Biosíntesis de alcaloides, Bioinformática, Enzimas, Análisis molecular.

ABSTRACT

The Amaryllidaceae family comprises a group of herbaceous plants characterized by having a broad ornamental use because plants are very diverse in terms of shapes and colors, but also for its ability to produce wide variety of alkaloids, which are unique to this family. These secondary metabolites have important pharmacological effects such as antitumor, antiviral, antiparasitic and analgesic activities.

Most of the research that has been done on this family, has been directed to the phytochemical characterization, while the molecular aspects of the natural alkaloid biosynthesis have not been characterized clearly. What has been currently reported include the identification of the biosynthetic enzymes PAL, TYDC y OMT, involved in the initial step of the pathway. Additionally, in Colombia are gender Calicharis, Caliphuria, Crinum, Eucharis, Hippeastrum, Phaedranassa, Plagiolirion y Zephyranthes for which no reports have been found about the genetic characterization of these enzymes.

In this study, an mRNA sequence corresponding to a fragment of OMT enzyme was identified on the specie *Zephyranthes carinata*, family Amaryllidaceae. From conserved regions in sequences reported for the enzymes OMT, PAL y TYDC, degenerate primers which were used for PCR amplification were designed. Bioinformatic analysis whereby the design of degenerate primers were addressed, allowed to conclude that the mRNA sequence alignments were more informative than the alignments of protein sequences from which the primers were created.

The results of this research have the potential to contribute to the development of strategies aimed at the characterization of other enzymes in the biosynthetic pathway of the alkaloids in *Z. carinata* and other species of Amaryllidaceae. Also have the potencial to developing strategies to identify enzyme variants involved in the pattern of production of specific alkaloids.

KEYWORDS: Amaryllidaceae, *Zephyranthes carinata*, Alkaloid biosynthesis, Bioinformatics, Enzymes, Molecular analysis.

1. INTRODUCCIÓN

La familia Amaryllidaceae está conformada por un grupo de plantas herbáceas que se caracterizan por tener un bulbo subterráneo grueso. Su importancia se fundamenta en que son plantas que han sido ampliamente utilizadas como ornamentales debido a la diversidad de formas y colores impactantes de sus flores, ideales para embellecer parques y jardines. Por otro lado se encuentra la capacidad que tienen estas plantas de producir una gran diversidad de alcaloides a los que se les ha atribuido actividades farmacológicas importantes, tales como efectos antitumorales, antivirales, antiparasitarios y propiedades analgésicas (Berkov et al., 2009; Cahlikova, Valterova, Macakova, & Opletal, 2011; Herke et al., 2009). La propiedad farmacológica de mayor relevancia terapéutica ha sido el efecto anticolinesterasa principalmente asociado a los alcaloides galantamina y licorina (Bastida Armengol et al., 2011). Estos representan los alcaloides en Amaryllidaceae de mayor impacto en el tratamiento de la enfermedad de Alzheimer, pero sólo la galantamina ha llegado a comercializarse. Dentro de los alcaloides típicos de esta familia se encuentran los alcaloides tipo galantamina, tazetina, crinina y licorina.

Los aspectos fitoquímicos se reportan ampliamente, sin embargo los aspectos moleculares de la biosíntesis no han sido caracterizados de forma clara y precisa. Hasta el momento, la ruta biosintética elucidada comprende la acción de las enzimas PAL y TYDC en la transformación de los aminoácidos aromáticos fenilalanina y tirosina respectivamente. El intermediario formado tras las reacciones anteriores, que es la norbeladina, es metilada en un paso posterior por la enzima OMT mediante la cual se forma el precursor común O-metilnorbeladina, a partir del cual se forman todos los alcaloides exclusivos que representan a la familia Amaryllidaceae (Bastida Armengol et al., 2011). A pesar que se han identificado estas enzimas en los pasos iniciales de la ruta de biosíntesis, actualmente todavía no se han reportado estas enzimas en especies locales de plantas de Amaryllidaceae.

En este contexto, mediante este trabajo se quiso generar información sobre la secuencia de ADNc de al menos una enzima involucrada en los pasos iniciales de la ruta biosintética de los alcaloides mayoritarios que se producen en las especies *Zephyranthes carinata* y *Zephyranthes rosea*, familia Amaryllidaceae.

Como estrategia para abordar el problema de investigación planteado, se partió de un análisis bioinformático, mediante el cual se diseñaron diferentes combinaciones de cebadores degenerados con base en regiones conservadas en alineamientos de secuencias de ARNm y proteínas de especies relacionadas o no con las especies de la familia Amaryllidaceae. Las regiones flanqueadas por los cebadores fueron amplificadas por PCR y visualizadas mediante electroforesis con

geles de agarosa. Los fragmentos que tuvieron éxito en la amplificación fueron clonados en el plásmido pTZ57R/T con el cual se hizo transformación bacteriana en células competentes de *E. coli*. Posteriormente los plásmidos de colonias transformadas con el inserto de interés fueron secuenciados. El análisis de las secuencias de ADNc obtenidas fue llevado a cabo mediante herramientas bioinformáticas como BLAST, Chromas Lite y ClustalW2.

2. DESCRIPCIÓN DEL PROYECTO

2.1. PLANTEAMIENTO DE LA PROPUESTA Y JUSTIFICACIÓN

La ruta de biosíntesis de los alcaloides producidos en las plantas de la familia Amaryllidaceae que se ha caracterizado hasta el momento, comprende los pasos iniciales que involucran la conversión de los aminoácidos fenilalanina y tirosina. Se ha identificado que las enzimas que intervienen en este primer paso son la *fenilalanina amonio liasa* (PAL, por sus siglas en inglés) y la *tirosina descarboxilasa* (TYDC, por sus siglas en inglés) (Takos & Rook, 2013). A partir de estos aminoácidos, y con la intervención de la enzima *catecol-O-metiltransferasa* (OMT, por sus siglas en inglés) se da la formación de la O-metilnorbeladina, precursor común de los diferentes tipos de alcaloides en estas plantas (Takos & Rook, 2013). El conocimiento de los pasos enzimáticos posteriores a la formación del precursor es actualmente limitado, sin embargo se identifica que las diferentes reacciones de acoplamiento fenol oxidativo que sufre la O-metilnorbeladina, son pasos limitantes que determinan la exclusividad de alcaloides en las especies de Amaryllidaceae. Adicionalmente, aun partiendo de que las enzimas PAL, TYDC y OMT han sido identificadas dentro de los pasos iniciales de la ruta biosintética, hasta el momento no se han encontrado reportes de las secuencias de ARNm en especies colombianas pertenecientes a esta familia.

En este contexto, el desarrollo de este proyecto de investigación buscó generar información crítica y precisa sobre la secuencia de ADNc correspondiente a una o varias enzimas involucradas en la ruta biogenética de la síntesis de los alcaloides mayoritarios en las especies locales *Zephyranthes carinata* y *Zephyranthes rosea*. Estas enzimas podían estar involucradas tanto en los pasos iniciales como en las etapas finales que determinan las diferentes variantes de cada núcleo de alcaloides (tipo galantamina, tipo licorina, tipo crinina).

Se conoce que las especies de Amaryllidaceae producen un amplio y exclusivo grupo de alcaloides con propiedades farmacológicas de gran interés, tales como actividad anticolinesterasa, efectos citotóxicos contra células tumorales, efectos hipotensores, actividad antimálarica y efecto antimicótico (Bastida Armengol *et al.*, 2011). Particularmente, las especies de *Zephyranthes* tienen una promisoria actividad de inhibición de la acetilcolinesterasa y actividad antitumoral, debido a la presencia de los alcaloides galantamina y licorina (Cahlikova *et al.*, 2011; Reyes-Chilpa *et al.*, 2011).

Tomando en cuenta estas características, la generación de conocimiento en cuanto a la biogénesis de los alcaloides en las especies de *Zephyranthes* de la colección de la Universidad Icesi, tiene el potencial de ser un componente motivador para seguir la investigación sobre la secuencia completa de ADNc de

las enzimas candidatas en estas especies locales. El nuevo conocimiento podrá aportar en el desarrollo de estrategias que permitan usar estas enzimas como biomarcadores en el proceso de caracterización enzimática dentro de la ruta biosintética de alcaloides en otras especies de Amaryllidaceae, con el objetivo de identificar variantes enzimáticas que intervengan en el patrón de producción de alcaloides específicos.

Viendo un poco desde una perspectiva a largo plazo, el conocimiento tiene la capacidad de ser el punto de partida en el planteamiento de estrategias dirigidas a optimizar la obtención de estos metabolitos secundarios, tanto en las mismas especies como en especies no relacionadas, mediante el uso de herramientas biotecnológicas.

2.2. MARCO TEÓRICO

Familia Amaryllidaceae

La familia Amaryllidaceae está constituida por un grupo de plantas que pertenecen a la subclase de las monocotiledóneas del orden Asparagales. Son plantas perennes y tienen un bulbo subterráneo grueso que las caracteriza. Dentro de esta familia se han clasificado tres subfamilias entre las que se encuentran, Agapanthoideae, con un sólo género, *Agapanthus*; la subfamilia Allioideae, que se compone de un amplio número de especies de cebollas y ajos. Y por último está la subfamilia Amaryllidoideae (Takos & Rook, 2013), siendo la única que se ha identificado como fuente promisoria de metabolitos secundarios con actividad farmacológica importante, como es el caso de los alcaloides. Esta familia comprende cerca de 75 géneros y alrededor de 1100 especies (Ramawat, Mérillon, Jin, & Xu, 2013), donde la subfamilia Amaryllidoideae comprende aproximadamente 60 géneros con 850 especies (Takos & Rook, 2013). Este último grupo es de interés tanto científico como comercial por dos razones importantes: son plantas ornamentales que presentan formas y colores impactantes, y adicionalmente se han identificado como una fuente promisoria para el descubrimiento de nuevos fármacos, principalmente para el tratamiento de enfermedades neurodegenerativas como el Alzheimer, donde la galantamina es el alcaloide representativo de esta familia para estos propósitos (Berkov *et al.*, 2009).

Distribución de las plantas de la familia Amaryllidaceae

En cuanto a la distribución de la familia Amaryllidaceae, son plantas que se encuentran ampliamente en los trópicos y con alta diversidad en las regiones del sur de África y en la región Andina (Bastida Armengol *et al.*, 2011). Algunas especies como *Leucojum aestivum* se encuentran en la región del Mediterráneo y en el este de Europa (Berkov *et al.*, 2009). Especies del género *Narcissus* son plantas endémicas de Europa y norte de África, con su centro de biodiversidad en la península ibérica (Takos & Rook, 2013). Otras especies como *Lycoris radiata* se encuentran distribuidas en China, Japón y Corea (Berkov *et al.*, 2009), países donde se han cultivado ampliamente como plantas ornamentales por muchos siglos (Takos & Rook, 2013).

En cuanto a la distribución de esta familia en Colombia, se ha reportado en el Valle del Cauca, la presencia de *Calicharis*, *Caliphruria*, *Crinum*, *Eucharis*, *Hippeastrum*, *Phaedranassa*, *Plagiolirion* y *Zephyranthes*, las cuales se consideran en peligro de extinción debido a la destrucción de su hábitat (Silverstone-Sopkin, 2011), en especial poblaciones de los géneros *Eucharis* y *Caliphruria* (Viladomat *et al.*, 2007).

Como el proyecto de investigación va dirigido hacia el género *Zephyranthes*, es importante destacar su distribución en el territorio nacional. En Colombia, se reportan 6 especies de *Zephyranthes*. En Bogotá, Cundinamarca, como especie cultivada, y en Bolívar, se encuentra *Z. albiella* (1 registro biológico). En un enclave semiárido de Cundinamarca, en el municipio de Suesca, se encuentra *Z. susatana* conocida como “*papa de marrano*” (9 registros). *Z. carinata* (16 registros) se encuentra en Cundinamarca conocida como “*lirio*”, en Santander, Boyacá y Antioquia, sin embargo es nativa de México y Guatemala. *Z. puertoricensis* (2 registros) se encuentra en Bolívar y Tolima. *Z. robusta*, nativa de Argentina y Uruguay, se encuentra en Antioquia y se conoce como “*cebollita*”. Por último está *Z. rosea* (4 registros) que se encuentra en San Andrés y Providencia y en Bolívar. Para estas plantas se reporta una distribución amplia en América central y las Antillas (Fernández Alonso & Groenendijk, 2004) (Sistema de Información Sobre Biodiversidad de Colombia, 2013).

Alcaloides de la familia Amaryllidaceae

La mayoría de estudios que se han realizado sobre estas plantas, se han enfocado en la ocurrencia de los alcaloides reportados como característicos de esta familia, por lo que la mayor literatura disponible ha sido sobre los perfiles fitoquímicos y sobre las posibles aplicaciones farmacéuticas (Berkov *et al.*, 2009; Cahlikova *et al.*, 2011; Lamoral-Theys *et al.*, 2010; Reyes-Chilpa *et al.*, 2011). Por el contrario, el conocimiento sobre las vías biogenéticas de la síntesis de los alcaloides aún no es concluyente (Takos & Rook, 2013). Actualmente es limitada la información acerca de la caracterización de genes que codifiquen las enzimas claves que regulan la producción de estos metabolitos secundarios.

Las investigaciones publicadas evidencian que la mayoría de los estudios acerca de las plantas de la familia Amaryllidaceae se han llevado a cabo principalmente en Europa y en Asia (Berkov *et al.*, 2009). Contrario ha sido en las regiones de Sudamérica y Sudáfrica, donde las investigaciones son limitadas a pesar de ser los dos centros de más alta biodiversidad de esta familia (Berkov *et al.*, 2009).

La característica particular de la familia Amaryllidaceae es la presencia de un amplio y exclusivo grupo de alcaloides, los cuales han sido aislados de todos los géneros que la constituyen. Es importante aclarar que los alcaloides sólo han sido aislados de los géneros de la subfamilia Amaryllidoideae, en la más reciente clasificación de APGIII. Originalmente la subfamilia actual Amaryllidoideae se constituía solamente en la familia Amaryllidaceae, por ello el concepto de los *alcaloides de Amaryllidaceae* se ha tomado como una extensión a toda la familia dentro de la nueva clasificación por motivos prácticos. Sin embargo, para las subfamilias Allioideae y Agapanthoideae de la clasificación actual, aún no se reporta ocurrencia de estos alcaloides típicos de Amaryllidoideae (Takos & Rook,

2013). En toda la extensión de este trabajo, se aplicará el concepto de alcaloides de Amaryllidaceae como los que están presentes exclusivamente en la subfamilia Amaryllidoideae.

Se ha identificado que los alcaloides de Amaryllidaceae presentan siete tipos de estructuras que pertenecen a una misma ruta biogenética. A partir de estos núcleos estructurales se deriva la gran diversidad de estructuras de alcaloides con un amplio número de efectos farmacológicos. Hasta el momento se han aislado alrededor de 300 alcaloides diferentes, pero se ha encontrado que todos se derivan de un mismo núcleo, el precursor O-metilnorbeladina, primer producto de los pasos iniciales de la biosíntesis de todos los alcaloides asociados a estas plantas (Bastida Armengol *et al.*, 2011).

Las siete estructuras básicas se forman a partir de una serie de diferentes ciclaciones, seguidas de rearreglos, con la adición, o no, de dos carbonos y/o la apertura del anillo, que finalmente producen alcaloides específicos (Lamoral-Theys *et al.*, 2010). Estas estructuras básicas incluyen licorina, crinina, narciclasina, galantamina, tazetina, licorenina y montanina (Figura 17, en anexos), siendo la galantamina el núcleo con más interés farmacéutico por sus potentes propiedades farmacológicas asociadas a la inhibición reversible de la acetilcolinesterasa (Berkov *et al.*, 2009; Cahlikova *et al.*, 2011; Herke *et al.*, 2009; Zupko *et al.*, 2009). Pero no solo la galantamina tiene estas propiedades, se ha encontrado que otros alcaloides también poseen actividad anticolinesterasa aunque en menor grado. Dentro de estos se encuentra el alcaloide licorina, la caranina, seudolicorina, ungiminorina y ungeremina (Bastida Armengol *et al.*, 2011).

A pesar del gran número de alcaloides que se producen en estas plantas, solo la galantamina se produce de forma comercial, destacándose por su actividad anticolinesterasa. A pesar de que esta propiedad inhibitoria de la acetilcolinesterasa es la que genera mayor interés, son muchas otras las actividades farmacológicas que también son de importancia terapéutica, las cuales son atribuidas a otros alcaloides en las plantas de Amaryllidaceae. Estas propiedades terapéuticas incluyen efectos citotóxicos contra células tumorales, efectos hipotensores para el control de la tensión arterial (tipo homolicorina), actividad antimarial contra cepas sensibles a cloroquina (tipo crinina y hemantamina), efecto antimicótico (tipo narciclasina), actividad antibacteriana contra *Staphylococcus aureus* y *Pseudomonas aeruginosa* (tipo montanina) (Bastida Armengol *et al.*, 2011; Lefranc *et al.*, 2009; Takos & Rook, 2013).

De forma particular, licorina es un alcaloide con un anillo del tipo pirrolofenantridina, característico por su poderosa actividad inhibitoria de la síntesis del ácido ascórbico. También se le ha puesto gran interés por sus potentes efectos antitumorales incluso en el rango micromolar y hasta el momento licorina es el componente más activo con este efecto (Lamoral-Theys *et al.*, 2009). Los análisis *in vivo* sobre la actividad antitumoral han revelado que el alcaloide

licorina proporciona beneficio terapéutico significativo en ratones portadores de injertos cerebrales del melanoma B16F10 en dosis no tóxicas. Se sugiere que la licorina es un alcaloide potencial para el desarrollo de fármacos capaces de combatir cánceres resistentes a estímulos pro-apoptóticos, dentro de los que se incluyen el glioblastoma, melanoma, cáncer de pulmón, cánceres metastásicos (Lamoral-Theys *et al.*, 2009). Ensayos indican que la vía por la cual este alcaloide inhibe la proliferación de células tumorales se da por la interacción con el ARNt debido a la formación de un complejo con este (Takos & Rook, 2013).

Otras propiedades biológicas que han sido atribuidas a la licorina, son las actividades antivirales contra virus de ARN y ADN, así como actividad antiprotozoarios contra parásitos como *Plasmodium falciparum*, causa de la malaria y *Trichomonas vaginalis*, causante de la tricomoniasis, enfermedad de transmisión sexual (Takos & Rook, 2013).

Ruta biosintética elucidada de los alcaloides de Amaryllidaceae

La formación de los múltiples tipos de alcaloides de Amaryllideaceae depende de las transformaciones subsecuentes a la formación del precursor O-metilnorbeladina. Se ha reportado que todos los alcaloides se derivan de los aminoácidos aromáticos tirosina y fenilalanina (Takos & Rook, 2013), los cuales son usados por los sistemas enzimáticos para generar el precursor común -O-metilnorbeladina. Posteriormente, por medio de varias vías de acoplamiento fenólico oxidativo, se producen los tres esqueletos principales que darán lugar a la diversidad de alcaloides.

Los pasos iniciales consisten en la conversión de la fenilalanina en ácido cinámico y amoníaco por acción de la enzima fenilalanina amonio liasa, PAL (por sus siglas en inglés). Paralelamente, la tirosina sufre un proceso de descarboxilación para formar la estructura tiramina por medio de la enzima tirosina descarboxilasa, TYDC (por sus siglas en inglés). Para la formación del precursor O-metilnorbeladina, el ácido cinámico es degradado primero al aldehído protocatéquico (figura 18, en anexos), para después dar lugar a la condensación con la tiramina. Como producto intermediario se forma una base de Schiff, que sufre una reducción en un paso posterior para formar así la norbeladina (Takos & Rook, 2013). Este precursor es metilado adicionalmente por la acción de la enzima catecol-O-metiltransferasa, OMT (por sus siglas inglés) que transfiere un grupo metilo desde la S-adenosilmetionina (SAM) para formar finalmente el tipo O-metilnorbeladina (Eichhorn, Takada, Kita, & Zenk, 1998) (figura 19, en anexos), intermediario clave en la mayoría de los casos (Bastida Armengol *et al.*, 2011).

A partir de la O-metilnorbeladina se despliegan tres vías alternativas de acoplamiento fenólico oxidativo. Mediante el acoplamiento *para'-para'* se generan

los alcaloides tipo crinina, hemantamina, tazetina, narciclasina y montanina. El acoplamiento fenol oxidativo *para'-ortho'* da lugar a los alcaloides tipo galantamina. La tercera vía de acoplamiento es la de *ortho'-para'* que da lugar a los alcaloides tipo licorina y homolicorina (Bastida Armengol *et al.*, 2011) (figura 18, en anexos).

Como se observa en la ruta biosintética caracterizada hasta el momento (figura 2, en anexos), los pasos limitantes que determinan la exclusividad de los diferentes tipos de alcaloides enmarcados en estos tres núcleos base, licorina, crinina y galantamina, son los que involucran sistemas enzimáticos claves que especifican la presencia o ausencia de un grupo de alcaloides en cualquiera de las especies de Amaryllidaceae. Justamente son estos pasos específicos y claves de la ruta de biosíntesis los que despiertan gran interés científico, ya que es un paso bastante complejo y poco comprendido, lo que restringe y hace difícil su reproducción por síntesis química (Takos & Rook, 2013). En este contexto, se evidencia la razón por la cual la producción a gran escala a partir de la síntesis química es pobre en el área experimental, y adicionalmente nace un gran desafío para los investigadores que tienen especial interés en métodos alternativos a la extracción tradicional de alcaloides en esta familia.

Lo que se conoce de estas enzimas involucradas en los tres diferentes acoplamientos no es realmente concluyente, sin embargo se ha planteado la hipótesis de que es muy probable que la enzima que cataliza el acoplamiento intramolecular a partir de la O-metilnorbeladina sea una enzima altamente específica de la familia del citocromo P450 dependiente de oxidases (Eichhorn *et al.*, 1998). Esta hipótesis se basa en el conocimiento sustentado sobre la función de estas enzimas de catalizar reacciones de acoplamiento fenol oxidativo en otros procesos metabólicos. Sin embargo, una limitante se presenta al tratar de evaluar esta hipótesis, ya que la capacidad de estas enzimas para catalizar las reacciones de acoplamiento ha evolucionado de manera independiente en diferentes especies, lo que hace más difícil proponer específicamente genes candidatos que puedan estar involucrados en el paso clave de la biosíntesis (Takos & Rook, 2013).

En este contexto, es importante hacer notar que la identificación de enzimas específicas que catalizan las reacciones del acoplamiento fenol oxidativo del precursor O-metilnorbeladina en la ruta de biosíntesis de los alcaloides de Amaryllidaceae, es una hipótesis prometedora, que en términos de investigación y conocimiento científico se constituye en un punto de partida clave para el desarrollo de especies de Amaryllidaceae con mayor contenido de alcaloides, o para promover propuestas dirigidas a incrementar la composición y la diversidad de alcaloides (Takos & Rook, 2013). Este conocimiento será la base para el desarrollo de nuevos fármacos que podrá ser desarrollado mediante el abordaje de herramientas biotecnológicas enfocadas a mejorar la producción y la disponibilidad comercial de los mismos.

El entendimiento de las enzimas que limitan el paso del acoplamiento fenol oxidativo permitirá desarrollar estrategias de manipulación genética de la biosíntesis de los alcaloides típicos de Amaryllidaceae, con el que se podrá promover alternativas como por ejemplo la transformación genética de organismos que sirvan como plataformas de producción en masa de estos metabolitos secundarios, como es el caso de los sistemas bacterianos o de levaduras. También se podrán desarrollar estrategias de transformación genética en otras especies de plantas no relacionadas con la familia. Adicionalmente, este entendimiento aportará conocimiento para el desarrollo de estrategias que permitan usar estas enzimas como biomarcadores en la caracterización de enzimas dentro de la ruta de biosíntesis de alcaloides en otras especies de Amaryllidaceae, con el objetivo de identificar variantes enzimáticas que intervengan en el patrón de producción de alcaloides específicos. Incluso podrían ser útiles como marcadores complementarios para la clasificación taxonómica dentro de la familia Amaryllidaceae.

Aspectos generales de las enzimas PAL, OMT y TYDC

Los alcaloides como metabolitos secundarios han sido definidos históricamente como moléculas con funciones ecoquímicamente importantes en la defensa de las plantas contra el ataque de organismos patógenos y contra herbívoros (Kutchan, 1995).

Se cree que la función potencial de los alcaloides en la defensa química natural está dirigida hacia actividades como fitoalexinas, como forma de almacenamiento de nitrógeno o como protectores contra la radiación UV (Kutchan, 1995). Estos metabolitos han despertado gran interés tanto por su función en las plantas como por sus actividades biológicas tan potentes que han permitido que sean aprovechados como agentes farmacológicos. Es por esto que la investigación ha logrado elucidar enzimas biosintéticas como fuente para facilitar la obtención de alcaloides, mediante técnicas de aislamiento, purificación y caracterización de estas enzimas (Facchini, 2001).

Fenilalanina amonio liasa (PAL)

La enzima PAL (EC 4.3.1.24) pertenece a la familia de las liasas que escinde enlaces carbono-nitrógeno. Dentro de la ruta biosintética de los alcaloides de Amaryllidaceae, cataliza la desaminación no oxidativa del aminoácido fenilalanina a ácido trans-cinámico, reacción que representa un paso importante para el control del flujo del carbono dentro de la ruta. La enzima PAL existe universalmente en las plantas superiores como una familia de genes, la cual incluye la presencia de isoformas que posiblemente tengan diversos roles metabólicos (Kumar & Ellis,

2001). Se ha encontrado que entre estas existen 4 genes reportados PAL1, PAL2, PAL3 y PAL4, los cuales se encuentran involucrados en el crecimiento, desarrollo y en el sistema de defensa natural vegetal (Yoon et al., 2013).

Se ha reportado que la expresión de la enzima PAL se ha correlacionado con la exposición de la planta a diferentes estímulos de estrés tales como infección por hongos, heridas mecánicas, radiación UV y cambios bruscos de temperatura (Bagal, Leebens-Mack, Lorenz, & Dean, 2012).

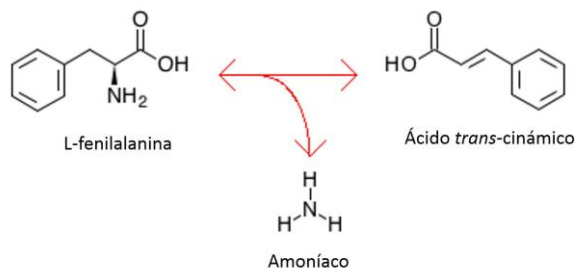


Figura 1. Reacción enzimática mediada por la enzima PAL en la biosíntesis de los alcaloides de Amaryllidaceae. Tomado de http://www.genome.jp/dbget-bin/www_bget?ec:4.3.1.24

Tirosina descarboxilasa (TYDC)

La enzima TYDC (EC. 4.1.1.25) es una enzima que hace parte de la familia de las liasas que escinde enlaces carbono-carbono. Está involucrada en la biosíntesis de numerosos metabolitos secundarios entre los que se encuentran los alcaloides. Esta cataliza la descarboxilación del aminoácido tirosina para dar tiramina, desviando de esta manera a la tirosina del metabolismo primario hacia la biosíntesis de los alcaloides. Se ha encontrado que esta enzima es estimulada por la presencia de patógenos en varias plantas y por tanto se cree que la tiramina sirve como precursor para la biosíntesis de metabolitos de respuesta para la defensa (De la Cruz, González, & Riley, 2012). Para algunas especies, la enzima es altamente específica para la acción sobre la fenilalanina.

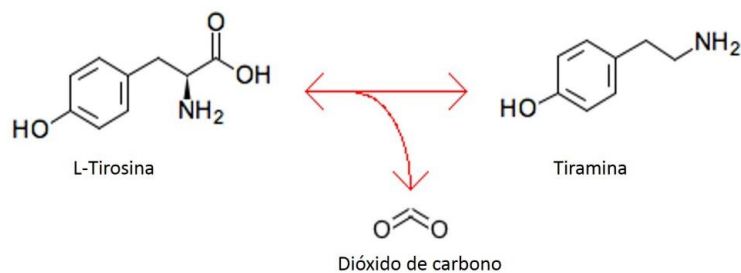


Figura 2. Reacción enzimática mediada por la enzima TYDC en la biosíntesis de los alcaloides de Amaryllidaceae. Tomado de http://www.genome.jp/dbget-bin/www_bget?rn:R00736

O-metiltransferasa (OMT)

Las enzimas que pertenecen a las OMT de la superfamilia 2 (EC. 2.1.1.6) catalizan la transferencia de un grupo metilo desde SAM (*S*-adenosil-*L*-metionina) a un átomo de oxígeno de un hidroxilo de la molécula aceptora y participan en la formación de varios metabolitos especializados entre los que se encuentran los metabolitos secundarios. El grupo metilo está asociado en muchos casos con la alteración de la solubilidad de la molécula y el incremento de las actividades ecológicas (De la Cruz et al., 2012).

Análisis comparativos de las secuencias de aminoácidos predictivos de estas enzimas OMT en plantas, han permitido concluir que presentan cinco regiones altamente conservadas, de las cuales se cree que la región I está involucrada en el sitio de unión de SAM (Ibrahim, Bruneau, & Bantignies, 1998).

Abordaje para la identificación de enzimas dentro de la ruta biosintética

Es importante abordar cómo se ha venido dando el enfoque en investigación para enfrentarse a la búsqueda de enzimas biosintéticas en las especies de Amaryllidaceae, ya que a pesar de que todavía no hay una perspectiva clara que permita resolver la actividad enzimática de forma secuencial y precisa, si es de destacar que es un tema de bastante interés científico y comercial. Dentro de las estrategias que se han venido usando en la búsqueda de enzimas asociadas a la biosíntesis de los alcaloides en especies diferentes a las de Amaryllidaceae, se encuentra el análisis transcriptómico o análisis proteómico.

El objetivo de este enfoque es poder comparar la información del transcriptoma y/o proteoma con el perfil metabólico, teniendo en cuenta siempre usar el mismo tejido. Este análisis combinado permite establecer relaciones concretas entre la expresión de genes específicos con la producción de alcaloides, para finalmente acercarse a la identificación de genes claves (Goossens & Rischer, 2007). Zeng et al. (2013) muestran resultados satisfactorios que proveen información importante para la identificación de genes potenciales involucrados en la biosíntesis de alcaloides en *Macleaya spp.* a través de un análisis del transcriptoma, integrado con el análisis del proteoma para comparar con el perfil metabólico en diferentes órganos.

Otra forma de abordar la búsqueda de enzimas biosintéticas, es el análisis bioinformático como herramienta de apoyo a los resultados obtenidos a partir de técnicas de biología molecular. Según NIH (*National Institutes of Health*) la bioinformática es el “estudio, desarrollo o la aplicación de herramientas computacionales enfocadas para extender su uso en el análisis de información biológica, médica, sobre el comportamiento o de salud” (Pevsner, J., 2009). El

análisis bioinformático involucra la manipulación computacional para analizar datos de secuencias biológicas tales como ADN, ARNm o proteínas mediante la aplicación de algoritmos para abordar por ejemplo la construcción de alineamientos múltiples o por parejas con el fin de identificar secuencias homólogas en entradas de secuencias de aminoácidos o de nucleótidos (Pevsner, J., 2009).

El análisis bioinformático parte de la indagación de información sobre los genes o las proteínas involucradas en el problema que se quiere resolver. Con esta información se inicia una búsqueda en las bases de datos (GeneBank, Entrez, OMIM) con el objeto de encontrar entradas de secuencias que puedan ser de interés. Una vez se ha recopilado la información con entradas suficientemente informativas se inicia con su análisis mediante la comparación de secuencias de proteínas o ADN con otras secuencias publicadas en varias bases de datos con la herramienta BLAST (*Basic Local Alignment Search Tool*). El investigador puede usar esta información de acuerdo a su objetivo de investigación y por ejemplo para el caso de diseño de cebadores para la amplificación por PCR de genes o secuencias específicas, los alineamientos son útiles para diseñarlos de acuerdo a las regiones homólogas entre las entradas las cuales son identificadas por los diferentes algoritmos (Pevsner, J., 2009). Existen varios programas que se pueden encontrar en la Web para hacer el diseño de cebadores, dentro de los que se encuentra *primer3*, usado también por *primer-blast*, *in silico PCR*. Otros que han sido ampliamente utilizados para el diseño de cebadores degenerados son *CODEHOP*, *amplicon*, *primers4clades*, *primaclade*, entre otros.

Otras de las aplicaciones de programas bioinformáticos es analizar la información que se obtiene después de la secuenciación, mediante los cuales se puede hacer un proceso de edición de secuencias para organizar la información y que de esta manera sea útil para resolver la problemática de investigación. Dentro los programas en la Web más usados se encuentran *CHROMAS*, *Sequencher*, *BioEdit*, *DNAtools*, *MEGA*, entre otros.

Uso de cebadores degenerados para amplificar por PCR genes desconocidos

Una de las tecnologías que han sido de gran impacto en la biología molecular ha sido el desarrollo de la PCR (*Polymerase Chain Reaction*). Esta permite la amplificación *in vitro* de un fragmento particular de ADN de forma exponencial, la cual involucra ciclos que se repiten entre 28 y 35 veces y un perfil de temperaturas para promover la desnaturalización del ADN, la hibridación de los cebadores a la cadena molde, la síntesis de las nuevas cadenas con la acción de la enzima *Taq* ADN polimerasa y la extensión de las cadenas (Innis, M. et al. 1990)

Para que la reacción de amplificación sea exitosa, es fundamental que los cebadores se unan específicamente a una región de la cadena de ADN molde. Sin embargo para el caso en donde se busca amplificar una cadena de ADN desconocida correspondiente a una secuencia de aminoácidos de la proteína de interés, es necesario que se diseñen las diferentes posibilidades de cebadores que sean complementarios a la región de interés del ADN molde. Para esto se diseñan cebadores degenerados que consisten en una secuencia en donde algunas de las posiciones tienen varias bases posibles y por tanto hay varias secuencias posibles para un mismo cebador (Linhart, C. and Shamir, R., 2005). La degeneración del cebador es el número de combinaciones de secuencias únicas que puede contener, y para identificar las bases posibles para una misma posición es necesario examinar el código genético para correlacionar una secuencia de aminoácidos con sus posibles secuencias de nucleótidos que puede ser traducida. Es importante tener en cuenta que la selección de una secuencia de aminoácidos con una degeneración mínima es la opción más deseable para lograr que los cebadores sean suficientemente específicos y puedan hibridarse a la cadena molde (Linhart, C. and Shamir, R., 2005).

Clonación molecular como técnica molecular para la identificación de secuencias de interés

Es importante mencionar que la clonación molecular es una estrategia ampliamente utilizada para abordar la problemática de la identificación de secuencias de ADN de interés. Esta permite obtener un gran número de copias del fragmento de ADN con el objetivo de obtener cantidades suficientes para los subsecuentes análisis.

La clonación molecular es un conjunto de técnicas que se han desarrollado para replicar selectivamente un segmento de ADN de interés. El fragmento clonado puede replicarse dentro de una célula hospedera mediante la tecnología del ADN recombinante, o puede hacerse usando la técnica de amplificación por PCR.

Para el caso del ADN recombinante, la clonación involucra la inserción de un fragmento de ADN de interés, que puede ser un producto de PCR, en un vector de clonación que debe tener la característica de autoreplicación. Este vector recombinante luego es transferido a una célula hospedera, siendo *E. coli* el microorganismo más utilizado. Dentro de estas células, se producen docenas de copias a partir de la molécula de ADN recombinante y finalmente los segmentos de ADN clonados pueden ser recuperados de las células bacterianas mediante la purificación para ser analizados de diferentes maneras. La clonación de productos de PCR en un vector estable es a menudo una técnica muy opcionada para facilitar los análisis posteriores de la información contenida en el ADN recombinante. Tales análisis comprenden estudios de hibridación, expresión, modificación o procesos de subclonación. Adicionalmente con la clonación

molecular de los productos de PCR se garantiza una secuenciación de ADN de alta calidad (Bird, Smith, & Jiang, 2002)

2.3. OBJETIVOS

Objetivo general

Identificar la secuencia específica de ADNc de al menos una enzima involucrada en la ruta de síntesis de los alcaloides mayoritarios en especies locales del género *Zephyranthes* tales como *Z. carinata* y *Z. rosea*.

Objetivos específicos

1. Identificar mediante aproximación bioinformática, la secuencia de ARNm de enzimas involucradas en la ruta biosintética de alcaloides en diferentes especies de plantas para determinar las regiones más conservadas entre ellas, con base en las secuencias reportadas.
2. Diseñar cebadores degenerados con base en regiones conservadas de posibles enzimas involucradas en la síntesis de alcaloides, que permitan la amplificación de ADNc en *Z. carinata* y *Z. rosea*.
3. Amplificar mediante PCR las regiones de ADNc correspondientes al transcripto de la enzima candidata, y secuenciar estas regiones en las especies locales *Z. carinata* y *Z. rosea*.
4. Analizar la ocurrencia y similitud de las secuencias de ADNc de al menos una de las enzimas identificadas que amplificaron en los individuos de *Z. carinata* y *Z. rosea* obtenidas mediante la secuenciación de los insertos en un vector de clonación, los cuales corresponden a los productos de PCR.

2.4. METODOLOGÍA

El desarrollo de la presente investigación se llevó a cabo en la Universidad Icesi, en la ciudad de Cali, Colombia. Específicamente se desarrolló en el Laboratorio de investigación de Biología Molecular (LBM) ubicado en el quinto piso del edificio L, y en el Laboratorio de docencia de Biotecnología, 406L. También se requirió el espacio del cuarto frío ubicado en el primer piso del área de investigación para el almacenamiento de material vegetal y muestras de ARN a -80°C.

MATERIALES Y MÉTODOS

2.4.1. Revisión bibliográfica y bioinformática

Se hizo una amplia búsqueda de información en artículos científicos sobre estudios previos de identificación de enzimas relacionadas con la ruta de síntesis de los alcaloides de la familia Amaryllidaceae (Bastida Armengol et al., 2011; Eichhorn et al., 1998; Takos & Rook, 2013). La búsqueda estuvo enfocada a encontrar información sobre las enzimas candidatas propuestas por los autores en sus investigaciones sobre la familia. Con este contexto fue posible identificar enzimas involucradas en los pasos iniciales de la ruta de biosíntesis donde intervienen las enzimas PAL, TYDC y OMT. Así mismo se identificó que existe una hipótesis acerca de que una enzima altamente específica de la familia del citocromo P450 dependiente de oxidasa, es la que cataliza el acoplamiento fenol oxidativo del precursor O-metilnorbeladina (Eichhorn et al., 1998), sin embargo no se ha identificado una enzima puntual por la complejidad de la función de la misma. Bajo este panorama se seleccionaron las enzimas PAL, TYDC y OMT para ser evaluadas en esta investigación.

Se hizo una revisión amplia en las bases de datos del NCBI (*National Center for Biotechnology Information*) encaminada a encontrar las enzimas identificadas tanto en la base de datos de proteínas como en las bases de datos de genes y de ESTs. En esta búsqueda se identificó que los reportes de secuencias de genes o de nucleótidos en los que se incluye ESTs son limitados en comparación con los reportes de secuencias de aminoácidos. Es por esta razón que se decidió filtrar la búsqueda con el fin para encontrar información sólo referente a secuencias de proteínas en especies de plantas, entre ellas dicotiledóneas y monocotiledóneas.

Entre las plantas monocotiledóneas se buscó hacer un filtro para aquellas especies relacionadas con la familia, sin embargo como fueron limitados los resultados, se seleccionaron otras secuencias de especies monocotiledóneas que han sido ampliamente estudiadas como el arroz y el maíz.

Se hizo un BLAST con cada una de las entradas seleccionadas por cada enzima (OMT, PAL y TYDC) con el objetivo de evidenciar si se encontraban dominios conservados con otras especies de plantas. Con esta información se buscaba poder establecer la hipótesis de que si las secuencias referían a dominios conservados, estas se podrían encontrar también en especies de plantas de Amaryllidaceae.

Una vez se tuvieron todas las entradas analizadas mediante BLAST se agruparon las secuencias correspondientes a cada enzima y con estas se realizó posteriormente el alineamiento con el programa gratuito en internet ClustalW2. Teniendo las secuencias alineadas para cada enzima, se identificaron las regiones más conservadas entre al menos 5-7 especies dentro del alineamiento.

Especificamente para hacer el alineamiento correspondiente a la enzima OMT se consideraron sólo las entradas de especies monocotiledóneas seleccionadas, ya que al hacer el alineamiento con dicotiledóneas y monocotiledóneas se observó que el primer grupo difería bastante del segundo con respecto a las regiones conservadas entre las especies. Es importante mencionar que para esta enzima se encontró una secuencia de aminoácidos reportada para *Narcissus tazetta*, la cual se usó como referencia teniendo en cuenta que es una especie perteneciente a la familia Amaryllidaceae.

Para el caso del alineamiento para la enzima PAL, se consideraron entradas tanto para especies dicotiledóneas como para monocotiledóneas, ya que a partir de estos dos grupos se encontraron regiones de aminoácidos conservadas. Para este alineamiento se tomaron como referencia secuencias reportadas de especies que pertenecen a la familia Amaryllidaceae, tales como *Lycoris radiata*, *Narcissus tazetta*, *Allium cepa* y *Allium sativum*.

Para hacer el alineamiento para la enzima TYDC, se consideraron sólo las secuencias de especies de plantas monocotiledóneas, ya que fue el grupo que más información brindó en cuanto a las regiones conservadas identificadas. Para esta enzima no se encontraron secuencias de aminoácidos reportadas en las bases de datos para especies de la familia Amaryllidaceae.

A continuación se presenta la información correspondiente al número de referencia en la base de datos de proteínas de las secuencias que se emplearon para hacer el alineamiento y a partir de las cuales se diseñaron los cebadores (Tabla 1).

Tabla 1. Números de referencia en la base de datos de proteínas de las secuencias de aminoácidos utilizadas para hacer el alineamiento para cada enzima.

Enzima	Referencia de la secuencia	
OMT	NM001067566.1	<i>Oryza sativa</i>
	AAQ24351.1	<i>Zea mays</i>
	AAL57301.1	<i>Sorghum bicolor</i>
	AGI97942.1	<i>Narcissus tazetta</i>
TYDC	NP001059509.1	<i>Oryza sativa</i>
	NP001044376.1	<i>Oryza sativa</i>
	NP001064486.2	<i>Oryza sativa</i>
	NP001064543.2	<i>Oryza sativa</i>
	XP004983131.1	<i>Setaria italica</i>
	EMT10380.1	<i>Aegilops tauschii</i>
PAL	ACL53545.1	<i>Zea mays</i>
	ABM63378.1	<i>Saccharum officinarum</i>
	NP001047484.1	<i>Oryza sativa</i>
	CAA34226.1	<i>Oryza sativa</i>
	NP001168086.1	<i>Zea mays</i>
	ACM61988.1	<i>Lycoris radiata</i>
	ADO24189.1	<i>Allium sativum</i>
	ADD82537.1	<i>Narcissus tazetta</i>
	AGZ95691.1	<i>Allium cepa</i>
	AGZ95690.1	<i>Allium cepa</i>
	XP_004246650.1	<i>Solanum lycopersicum</i>
	AAN32867.1	<i>Coffea arabica</i>
	BAF36967.1	<i>Lotus japonicus</i>
	BAF36970.1	<i>Lotus japonicus</i>
	BAF36972.1	<i>Lotus japonicus</i>
	AAM15324.1	<i>Arabidopsis thaliana</i>
	BAA24928.1	<i>Lithospermum erythrorhizon</i>

2.4.2. Diseño de cebadores

Una vez identificadas las regiones candidatas para el diseño de los cebadores, por ser regiones conservadas con longitud mínima de 6 aminoácidos, se hizo la traducción de la información de aminoácidos a nucleótidos teniendo en cuenta el código genético estándar (Ver figura 3). Con base en estas secuencias posibles de nucleótidos se diseñaron los cebadores con secuencias degeneradas teniendo en cuenta la nomenclatura de la Tabla 2.

Los cebadores que se diseñaron en el sentido 5'-3' de la secuencia de la enzima, es decir los cebadores *Forward*, se obtuvieron a partir de la secuencia original en el alineamiento. Mientras que los cebadores antisentido, es decir los cebadores *Reverse*, se diseñaron teniendo en cuenta la secuencia complementaria y reversa de la secuencia original (Ver tabla 6, en resultados).

Cuando se tuvo el consenso de los cebadores en una lista final, se hizo un análisis de cada uno de los oligonucleótidos considerando criterios tales como longitud del cebador, expresada como pares de bases, la temperatura de fusión o *Tm* (*melting Temperature*), el porcentaje de GC y la presencia de estructuras secundarias tales como horquillas y/o homodímeros.

- Longitud del cebador: Se buscó que los cebadores tuvieran una longitud entre 18 y 30 pb. Esta es una longitud que es lo suficientemente larga como para ser específica, pero lo suficientemente corta para unirse a la cadena molde fácilmente a la temperatura de hibridación o temperatura de *annealing* (*T_a*).
- *Melting Temperature*: El rango de temperaturas de fusión, *T_m*, que se consideraron fue entre 40 y 65°C. El rango inferior fue considerado principalmente para la *T_m* mínima calculada para cada cebador.
- Porcentaje de GC: Se consideró un porcentaje ideal del contenido de las bases Guanina (G) y Citosina (C) de 40 - 60%.
- Estructuras secundarias: Principalmente se analizó la presencia de formación de horquillas o *Hairpins* y formación de homodímeros, buscando que el valor de ΔG para la estructura fuera el menos negativo, es decir que la estructura secundaria fuera la más inestable. El valor de $\Delta G < 0$ indica condición de espontaneidad, mientras que el valor $\Delta G > 0$ indica que el proceso no es espontáneo. Con base en esto un valor de ΔG menos negativo indica que la estructura secundaria tiende a ser menos estable.

El análisis de estos criterios se llevó a cabo mediante una herramienta gratuita que ofrece la página oficial del proveedor IDT (<https://www.idtdna.com/site>) con el cual se solicitó el servicio de síntesis de cebadores.

Tabla 2. Nomenclatura para expresar la degeneración en la secuencia de nucleótidos de los cebadores.

Letra	Nucleótidos presentes
M	A/C
R	A/G
W	A/T
S	C/G
Y	C/T
K	G/T
V	A/C/G
H	A/C/T
D	A/G/T
N	A/C/G/T
B	C/G/T

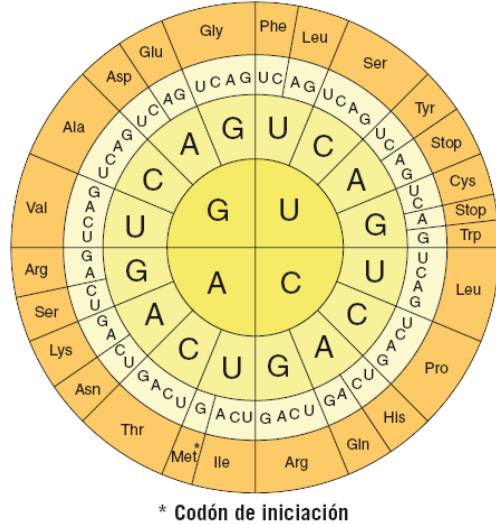


Figura 3. Código genético estándar. Tomado de <http://blog.cienciasdelanaturaleza.es/>

Nuevas consideraciones para el diseño de cebadores

Debido a los resultados obtenidos (los cuales se presentan en la siguiente sección 2.5) en la primera etapa de experimentación en el análisis con los cebadores diseñados a partir de alineamientos de secuencias de aminoácidos, se decidió emplear una técnica alternativa a la descrita anteriormente para el diseño.

Para ello se diseñaron nuevos cebadores degenerados pero teniendo en cuenta únicamente las secuencias de ARNm de plantas monocotiledóneas reportadas en las bases de datos del NCBI. Para esto se hizo una búsqueda mediante BLAST partiendo de las secuencias de aminoácidos ya identificadas, utilizando el programa *tblastn* (compara una secuencia proteica con la base de datos de nucleótidos traducidos) con el propósito de encontrar secuencias de nucleótidos para estas mismas entradas. Teniendo una lista de entre 4 y 7 entradas por cada una de las tres enzimas (OMT, TYDC y PAL) se hizo para cada una el alineamiento correspondiente mediante el programa ClustalW2. En la tabla 3 se presenta la información correspondiente al número de referencia en la base de datos de nucleótidos de las secuencias que se emplearon para hacer el alineamiento.

Tabla 3. Números de referencia en la base de datos de nucleótidos de las secuencias de ARNm utilizadas para hacer el alineamiento para cada enzima.

Enzima	Referencia de la secuencia
OMT	NM_001112577.1 <i>Zea mays</i>
	AF387790.1 <i>Sorghum bicolor</i>
	DQ288259.1 <i>Oryza sativa</i>
	KC588942.1 <i>Narcissus tazetta</i>
TYDC	XM_004983074.1 <i>Setaria italica</i>
	NM_001148740.1 <i>Zea mays</i>
	NM_001071078.2 <i>Oryza sativa</i>
	AK065830.1 <i>Oryza sativa</i>
	XM_002467238.1 <i>Sorghum bicolor</i>
PAL	FJ603650.1 <i>Lycoris radiata</i>
	KF741223.1 <i>Galtonia saundersiae</i>
	GU574806.1 <i>Narcissus tazetta</i>
	GU456381.1 <i>Allium sativum</i>
	KF421111.1 <i>Allium cepa</i>
	KF421110.1 <i>Allium cepa</i>
	NM_001054016.1 <i>Oryza sativa</i>

Con ayuda del programa gratuito PRIMACLADe en internet, se adjuntó cada alineamiento (información en FASTA) tras lo cual se obtuvo información precisa sobre la posición y la longitud de los cebadores predichos por el programa. Es importante mencionar que PRIMACLADe (Gadberry, Malcomber, Doust, & Kellogg, 2005) permite obtener varios cebadores con unas características que pueden ser especificadas previamente tales como rangos para la longitud, máximo

número de degeneraciones, Tm mínima, óptima y máxima y un rango para el porcentaje de GC. Una ventaja importante es que este programa analiza el par de cebadores (*forward* y *reverse*) al tiempo, dando información sobre las condiciones posibles de amplificación, cosa que no tiene la aproximación inicial que se hizo.

Una vez se tuvo esta información, se seleccionaron los cebadores para cada una de las enzimas. Estos cebadores fueron luego analizados mediante la herramienta que provee IDT (*Integrated DNA Technologies*) tal como se mencionó anteriormente para los otros cebadores. También se realizó un análisis haciendo un BLAST con las secuencias de los cebadores con el propósito de evidenciar si estos referían a la enzima OMT, PAL o TYDC o si referían a enzimas fuera de interés.

Mediante esta nueva alternativa se diseñaron 10 nuevos cebadores degenerados a partir de alineamientos de secuencias de ARNm (Ver tabla 11, en resultados) y se obtuvieron 9 combinaciones diferentes, 1 para OMT, 4 para PAL y 4 para TYDC (Ver tablas 12, 13 y 14, en resultados).

2.4.3. Material vegetal y condiciones de crecimiento

En la etapa inicial de experimentación, se seleccionaron tres individuos de la especie *Zephyranthes carinata* (IA-023, IA-036 e IA-100) y un individuo de la especie *Zephyranthes rosea* (IA-045), provenientes de la colección de Amaryllidaceae de la U. Icesi. El material vegetal fue colectado entre agosto del año 2012 y marzo de 2013 como se observa en la Tabla 4. Estos ejemplares se encuentran actualmente bajo condiciones de invernadero en macetas individuales.

En una segunda etapa de experimentación, también se emplearon los materiales IA-021, IA-025 e IA-100 de *Z. carinata*, provenientes de cultivo *In vitro* (Peralta L. y cols, comunicación personal). Al momento de usar el material vegetal de cultivo *In vitro*, las plantas se encontraban completamente formadas con hojas, bulbos y raíces.

Tabla 4. Material vegetal de la colección de la Universidad Icesi. Especies *Z. carinata* y *Z. rosea*.

No.	Especie	Fecha de recolección	Colector	Origen
IA-023	<i>Z. carinata</i>	Ago-2012	WV	Cali, Valle del Cauca
IA-036	<i>Z. carinata</i>	Sep-2012	ER	Popayán, cauca
IA-045	<i>Z. rosea</i>	Dic-2012	WV	Barranquilla
IA-100	<i>Z. carinata</i>	Mar-2013	MST	Cali, Valle del Cauca
IA-021	<i>Z. carinata</i>	Ago-2012	WV	Cultivo <i>in-vitro</i>
IA-025	<i>Z. carinata</i>	Ago-2012	WV	Cultivo <i>in-vitro</i>

IA-100	<i>Z. carinata</i>	Mar-2013	MST	Cultivo <i>in-vitro</i>
WV: William Vargas. MST: Marcela Santaella Tenorio. ER: Eduardo Ruiz.				

2.4.4. Extracción de ARN total

La extracción de ARN del material vegetal se llevó a cabo a partir de las hojas usando como reactivo de extracción TRIzol® Reagent casa comercial Ambion. Se utilizaron aproximadamente 200mg de tejido por individuo.

Las hojas fueron cortadas de la planta en maceta y fueron almacenadas en papel aluminio dentro de un recipiente con nitrógeno líquido para evitar la degradación del ARN durante el transporte hacia el laboratorio y durante el mismo proceso de extracción, el cual se presenta en el protocolo No.1, en anexos. El *pellet* de ARN total obtenido como producto de la extracción se resuspendió en agua con DEPC y fue almacenado a -80°C.

La concentración del ARN extraído de cada una de las muestras se midió usando el espectrofotómetro UV-Vis NanoDrop 2000 a 260nm (ADN y ARN). Para ello se usaron 2µL de la muestra.

2.4.5. Síntesis de ADNc

El ARN es una molécula menos estable estructuralmente que la molécula del ADN, ya que la presencia del grupo OH en el azúcar ribosa hace que la molécula de ARN sea más reactiva en comparación con el ADN en donde este grupo está ausente. Por otro lado, la doble cadena en el ADN hace que su estabilidad aumente. Teniendo en cuenta lo anterior, es necesario que las muestras extraídas sean lo suficientemente estables para poder utilizarlas en los estudios de laboratorio, situación que no se logra si se trabaja directamente con las muestras de ARN. Para superar esta limitante, se hizo una síntesis de ADNc a partir del ARN usando la enzima *Reverse Transcriptase* (RT), según el protocolo *SuperScript® III First-Strand Synthesis System for RT-PCR* casa comercial Invitrogen (Ver protocolo No.2, en Anexos)

Para la síntesis se usó el cebador Oligo(dT)₂₀, provisto dentro del kit, siendo este el método más específico de hibridación en donde el cebador se une a la cola 3'- poli (A), la cual se encuentra en la gran mayoría de los ARN mensajeros (ARNm) eucarióticos. El cebador Oligo(dT)₂₀ es una cadena de 20 dTMPs (Desoxitimina) que al unirse a la cola poli (A) del ARNm permite la síntesis de la cadena complementaria de ADNc con la enzima RT.

Como control de la reacción de síntesis de ADNc a partir del ARN de las muestras, se hizo un control positivo usando ARN proveniente de células HeLa. Esta muestra control viene incluida en el kit, y consiste en la amplificación por PCR con cebadores específicos para el gen de la β -actina humana. Adicionalmente se hizo un control negativo, en el cual no incluyó la enzima RT con el objetivo de evidenciar, si es el caso, contaminación cruzada.

2.4.6. Amplificación por PCR de ADNc

Para analizar cada una de las combinaciones de cebadores degenerados que se diseñaron, se hizo amplificación de las secuencias flanqueadas por los cebadores diseñados mediante la técnica molecular de PCR (*Polymerase Chain Reaction*). El equipo utilizado para hacer la amplificación fue el Termociclador *Mastercycler gradient, Eppendorf*.

La enzima utilizada para la amplificación a partir del ADNc molde, fue la enzima *GoTaq® Flexi DNA Polymerase*, Promega. Teniendo en cuenta esta enzima, se usaron los reactivos como el Buffer compatible con la *Taq* y la solución de $MgCl_2$ que vienen dentro del mismo *kit* (Ver protocolo No.3, en anexos).

Los perfiles de amplificación para la evaluación de las diferentes combinaciones, se construyeron considerando las recomendaciones dadas por Promega para la enzima *GoTaq® Flexi DNA Polymerase* (Ver protocolo No.3) y se presentan en la tabla 5.

Tabla 5. Condiciones de amplificación por PCR utilizadas en el análisis de las diferentes combinaciones de cebadores diseñados.

Componente	[Inicial]	[Final]	Volumen por reacción
Agua tipo 1	-	-	9,7 μ L
<i>Colorless GoTaq® Flexi Buffer</i>	5X	1X	4,0 μ L
$MgCl_2$	25mM	1,5mM	1,2 μ L
dNTPs	5mM c/u	0,25mM	1,0 μ L
DegPrimer Forward	10 μ M	0,5 μ M	1,0 μ L
DegPrimer Reverse	10 μ M	0,5 μ M	1,0 μ L
<i>GoTaq® Flexi DNA Polymerase*</i>	5U/ μ L	0,5U	0,1 μ L
ADNc	-	-	2,0 μ L
TOTAL			20,0 μ L

* La enzima es el último reactivo adicionado a la reacción de amplificación

Con respecto a los perfiles de temperatura, se utilizó para la desnaturación inicial del ADNc una temperatura de 94°C durante 2 minutos y para la desnaturación dentro de cada ciclo 94°C por 30 segundos. La temperatura de annealing (*T_a*) para cada pareja de cebadores fue calculada a partir de la *T_m* de los mismos y se determinó un rango según cada pareja. Para los cebadores

diseñados a partir de los alineamientos de secuencias de aminoácidos, la temperatura de *annealing* variaba entre 40°C y 50°C, mientras que para las nuevas combinaciones de cebadores degenerados, la *T_a* varió entre 42°C y 51°C (Ver tablas 7-9 y 12-14, en resultados). Como se obtuvieron varias combinaciones de cebadores con *T_a* diferentes, se usó la función *Gradiente* en el termociclador para tener la posibilidad de hacer PCR de varias combinaciones de cebadores en los mismos individuos a las diferentes *T_a*. Con respecto a la temperatura de extensión, se manejó una temperatura de 72°C durante 2 minutos. Es importante mencionar que el número de ciclos por reacción fue de 35. Como extensión final, la temperatura fue de 72°C durante 5 minutos, y como temperatura de mantenimiento se manejó una temperatura de 12°C por un tiempo indeterminado. Una vez finalizado el ciclo de reacción de PCR, los productos de PCR fueron almacenados a -20°C hasta su análisis por electroforesis.

2.4.7. Visualización de los productos de PCR

Para observar la amplificación de los posibles fragmentos flanqueados por las diferentes combinaciones de cebadores diseñados, se corrieron los productos de PCR en geles de agarosa al 1,5% en el buffer de corrida TBE 0,5X.

Como agente de tinción de las moléculas de ADNc amplificadas, se usó el fluoróforo SYBR® Green. Como marcadores de peso molecular, se utilizaron el marcador *Fast Ruler Low Range DNA Ladder* (*Fermentas*) y el marcador *1Kb DNA Ladder* (*Promega*). El gel fue visualizado en un transiluminador con lámpara UV.

2.4.8. Clonación molecular

Después del análisis de amplificación y electroforesis de los cebadores degenerados diseñados, con los cuales se logró visualizar bandas definidas del tamaño esperado, se procedió a hacer clonación molecular de los productos de PCR

Para la clonación molecular se hizo una ligación del inserto de interés, directamente el producto de PCR, en el vector de clonación pTZ57R/T, el cual consiste en 2886pb con un sitio de clonación múltiple (MCS, por sus siglas en inglés) entre las posiciones 615-695pb. Esta ligación se hizo de acuerdo al protocolo *InstAclone PCR Cloning Kit*, Thermo Scientific (ver protocolo No.4). Es importante mencionar que antes de hacer la ligación, los productos de PCR se limpiaron, precipitando el ADNc con etanol al 96% para retirar el exceso de sales de la reacción de PCR. Todas las ligaciones fueron incubadas a 4°C toda la noche para lograr obtener el mayor número de transformantes.

Como control del proceso de clonación, se hizo una ligación adicional como control positivo, el cual consiste en la ligación de un inserto de 953pb de un amplificado purificado provisto dentro del mismo *kit* de clonación.

2.4.9. Transformación bacteriana

Tras una noche de incubación, se procedió a hacer la transformación bacteriana en células competentes de la cepa DH5 α de *E. coli*, de acuerdo al protocolo No.5. Para la transformación se utilizó el método de electroporación, para el cual se usó el electroporador (*Eporator, Eppendorf*) en la función P2, de acuerdo al volumen de celda empleado para ello.

Las bacterias se cultivaron a 37°C en una incubadora *BINDER* toda la noche en medio LB sólido con ampicilina (100 μ g/mL), IPTG (0,40M) y X-Gal (40 μ g/mL). Una vez crecieron las colonias se hizo la verificación mediante el sistema de alfa-complementación con el reconocimiento fenotípico de colonias blancas/recombinantes y azules/no recombinantes. Las colonias blancas fueron aisladas de las colonias azules en nuevas placas con medio sólido LB/ampicilina/IPTG/X-Gal.

2.4.10. Confirmación de la presencia del inserto en el vector

Para evaluar la presencia del inserto de ADNc proveniente de los productos de PCR que amplificaron fragmentos definidos, además de aplicar el sistema de alfa-complementación se hizo confirmación mediante PCR a partir de las colonias y también mediante análisis de restricción del plásmido aislado de las colonias recombinantes.

a. PCR de colonias

Se hizo amplificación por PCR usando directamente las colonias recombinantes como molde. Para ello se hizo un cóctel de reacción con volumen final de 20 μ L. Se usó la enzima *Taq ADN polimerasa*, producida en la U. Icesi. La concentración final del buffer compatible para la enzima fue de 1X, el MgCl₂ fue de 1,5mM y los dNTPs fue de 0,125mM c/u. Se usaron los cebadores *Forward* y *Reverse M13/pUC* para amplificar el fragmento inserto en el plásmido.

Con respecto al perfil de temperaturas se usó el siguiente: 94°C, 2minutos; 94°C, 30 segundos; 46°C, 30 segundos; 72°C, 2 minutos; repetido 35 ciclos desde la segunda desnaturación, y extensión final a 72°C por 5 minutos.

Los amplificados fueron analizados mediante electroforesis en geles de agarosa 1,5% esperando ver bandas de una longitud aproximada de 650-700pb.

b. Análisis con enzimas de restricción

El análisis de restricción de los plásmidos extraídos de las colonias recombinantes de *E. coli* (Ver sección 2.4.12) se llevó a cabo mediante las enzimas de restricción EcoRI y BamHI (ambas de la casa comercial Promega) las cuales generan un fragmento de 45pb + la longitud del inserto. La digestión del plásmido fue una reacción de digestión múltiple, en donde se combinaron las dos enzimas en la misma reacción, para lo cual fue necesario el uso del reactivo MULTI-CORE™ Buffer (Promega) que está diseñado para ser compatible con un amplio grupo de enzimas, como las que se usaron (<http://www.promega.es/resources/product-guides-and-selectors/restriction-enzyme-resource/restriction-enzyme-reference-information/>). El protocolo de restricción del plásmido se encuentra en el protocolo No.6, en Anexos.

2.4.11. Propagación de colonias recombinantes

Una vez se tuvieron los resultados de la confirmación del inserto mediante PCR y/o restricción de plásmidos de las colonias, se identificaron las colonias recombinantes de interés. A partir de estas colonias, se hizo una propagación en medio LB líquido contenido amplicilina 100 μ g/mL. Para esto se crecieron en tubos de ensayo de vidrio con 3mL de medio, y con una punta estéril se picó suavemente la colonia, la cual fue sumergida en el medio. Los tubos fueron incubados a 37°C en un Shaker (*Heidolph Inkubator 1000/Unimax 1010*) a 250rpm toda la noche, con el objeto de promover un rápido crecimiento.

2.4.12. Extracción del plásmido

Después de una noche de incubación de las colonias recombinantes en el medio LB líquido con amplicilina, se procedió a hacer la extracción del plásmido. Para ello se usó el método de *Minipreps con lisis por calentamiento*, LBM (Ver protocolo No.7, en Anexos), tras el cual se tuvieron las muestras listas para hacer la solicitud de secuenciación. Para evaluar el proceso de extracción del plásmido, se corrieron las muestras obtenidas en un gel de agarosa al 1% esperando obtener bandas sin barrido de una longitud aproximada de 3Kb.

El método de *Minipreps con lisis por calentamiento* consiste brevemente en una centrifugación de las colonias creciendo en LB líquido. Luego se promueve la lisis de las células con la adición de una solución de STET y de Lisozima, y las células se ponen en un baño hirviendo. El pellet de los plásmidos es resuspendido en una

solución de TE. Estos plásmidos son analizados mediante electroforesis y/o restricción con EcoRI y BamHI (Ver sección 2.4.10-b)

2.4.13. Secuenciación

Se midió la concentración de cada uno de los plásmidos de 22 colonias recombinantes mediante el espectrofotómetro UV-Vis NanoDrop 2000 a 260nm (ADN y ARN). Para ello se usaron 2 μ L de la muestra y 2 μ L del blanco que en este caso es una solución de TE. Finalmente se hizo una dilución del stock de los plásmidos para obtener alícuotas de 100ng/ μ L cada uno.

Los plásmidos (22) fueron enviados a Macrogen Korea, para secuenciar con el cebador estándar Reverse M13/pUC. Se eligió el cebador Reverse debido a que la región de hibridación se encuentra a mayor longitud de pares de bases de la región en donde se encuentra el inserto en comparación con el cebador Forward.

Las secuencias obtenidas de cada uno de los insertos de los plásmidos se analizaron mediante BLAST con el objetivo de identificar las secuencias que realmente incluían una región correspondiente a la enzima OMT. Las secuencias seleccionadas se editaron mediante Chromas Lite y se hizo un alineamiento múltiple con el programa ClustalW2 para evidenciar las secuencias homólogas entre las secuencias de cada plásmido y obtener una secuencia consenso de ADNc para la enzima OMT en los individuos evaluados de *Zephyranthes*.

Adicionalmente, se hizo un proceso de traducción de las secuencias de ADNc para conocer los posibles marcos de lectura que permitieran identificar una secuencia de aminoácidos con una pauta de lectura continua.

2.5. RESULTADOS

2.5.1. Revisión de bibliografía y bioinformática

Como resultado de la búsqueda bibliográfica en artículos científicos publicados, se seleccionaron las enzimas OMT, PAL y TYDC, las cuales están involucradas en los pasos iniciales de la ruta de síntesis de los alcaloides de la familia Amaryllidaceae.

Según la revisión bibliográfica, la enzima PAL convierte el aminoácido aromático fenilalanina en ácido cinámico y amonio, y el ácido cinámico es degradado a aldehído protocatéquico, mientras que la enzima TYDC de forma paralela convierte el aminoácido tirosina en tiramina por medio de un proceso de descarboxilación. Estas nuevas estructuras se condensan en un paso posterior para formar el núcleo común Norbeladina, el cual es luego metilado por la enzima OMT para dar lugar al precursor de todos los alcaloides producidos en estas plantas, la O-metilnorbeladina (Bastida Armengol et al., 2011; Eichhorn et al., 1998; Takos & Rook, 2013). Teniendo esto claro, se reconoce que este último paso intermedio es un paso clave en la ruta, por lo que la identificación de la secuencia de ADNc parcial o total de la enzima OMT es la de sumo interés en este estudio.

La amplia revisión en las bases de datos de genes, de EST, de proteínas y de dominios conservados del NCBI indicó que los reportes de secuencias de genes son limitados en comparación con los reportes de secuencias de aminoácidos y de ARNm para las enzimas PAL, OMT y TYDC. De la búsqueda en la base de datos de proteínas, ARNm y ESTs se encontraron secuencias reportadas tanto para especies dicotiledóneas como monocotiledóneas, dentro de las que se incluyen algunas secuencias para especies pertenecientes a la familia Amaryllidaceae.

Se creó una lista con varias secuencias de aminoácidos y ARNm por cada una de las enzimas. Como la mayor información de las secuencias, extraídas de la base de datos, estuvo representada por secuencias de aminoácidos, los alineamientos fueron realizados únicamente a partir de estas secuencias de proteínas. Adicionalmente, lo anterior estuvo fundamentado en la hipótesis de que al considerar secuencias de aminoácidos no se sesgaba en mayor medida el diseño de cebadores teniendo presente que la información de especies de Amaryllidaceae era bastante limitada.

Por medio de la herramienta bioinformática ClustalW2 disponible en la página de EMBL-EBI, se obtuvieron los alineamientos correspondientes para cada una de las enzimas seleccionadas. Para la enzima OMT, el alineamiento de referencia para el diseño de los cebadores, se construyó a partir de las secuencias de aminoácidos

de las especies monocotiledóneas *Zea mays*, *Sorghum bicolor*, *Oryza sativa Japonica* y *Narcissus tazetta* (Figura 20, en anexos). Para la enzima PAL, el alineamiento de referencia se hizo a partir de especies monocotiledóneas y dicotiledóneas reportadas. Dentro de las dicotiledóneas están las especies *Solanum lycopersicum*, *Lithospermum erythrorhizon*, *Coffea arabica*, *Arabidopsis thaliana*, *Lotus japonicus*. Dentro de las monocotiledóneas están las especies *Lycoris radiata*, *Narcissus tazetta*, *Allium sativum*, *Allium cepa*, *Oryza sativa*, *Zea mays*, *Saccharum officinarum* y el género *Brachiaria* (Figura 21, en anexos). Para el caso de la enzima TYDC, el alineamiento a partir del cual se diseñaron los cebadores, se hizo con las especies monocotiledóneas *Setaria itálica*, *Zea mays*, *Oryza sativa Japonica* y *Aegilops tauschii* (Figura 22, en Anexos).

2.5.2. Diseño de los cebadores

Teniendo en cuenta las consideraciones para el diseño de los cebadores (mencionados en la sección 2.4.2, en metodología), se obtuvo la siguiente información que permitió discriminar entre todas las posibilidades para obtener los cebadores idóneos que finalmente se mandaron a sintetizar.

2.5.2.1. Cebadores obtenidos a partir del alineamiento de secuencias de aminoácidos

Los cebadores obtenidos a partir de los alineamientos de secuencias de aminoácidos se presentan en la dirección 5'-3' tanto para los cebadores *Forward* como *Reverse*. Las diferentes combinaciones *Forward-Reverse* para cada enzima, que fueron evaluadas por PCR en los individuos, se presentan en las Tablas 7, 8 y 9.

En general, los cebadores degenerados diseñados tienen una longitud entre 18 y 26pb y en todos se presenta la posibilidad de formación de estructuras secundarias tales como *hairpin* y/u homodímeros, sin embargo los cebadores elegidos presentan las estructuras secundarias internas menos estables encontradas (con el valor de ΔG más negativo posible para estas estructuras, Tabla 6).

En cuanto a la degeneración, se obtuvo cebadores con un número mínimo de 5 bases degeneradas y un número máximo de 10 bases degeneradas (referirse a la Figura 3 para ver la traducción del código genético). Es necesario mencionar que como existen varias secuencias posibles para un cebador degenerado, cuando se hace el análisis de la T_m , se obtiene una T_m mínima que corresponde a la secuencia de nucleótidos con menor contenido de GC, una T_m máxima que corresponde a la secuencia de nucleótidos con mayor contenido de GC, y una

temperatura intermedia que corresponde al promedio de temperaturas de todas las secuencias posibles. Aquí sólo se muestra la T_m mínima para cada cebador degenerado, ya que fue la temperatura a partir de la cual se calculó la temperatura de *annealing* (T_a) y con la que se inició el proceso de amplificación en las muestras de ADNc.

Con respecto a las combinaciones de cebadores degenerados, se calcularon las diferentes T_a teniendo en cuenta que corresponden a 3°C por debajo de la T_m más baja de los dos cebadores de la combinación (Ver ecuación 1). Las temperaturas de hibridación se presentan en las tablas 7, 8 y 9.

$$T_a = T_m - 3^{\circ}\text{C}$$

Ecuación 1

Con las T_a definidas para cada combinación de cebadores, se evaluaron inicialmente las parejas que amplificarán la longitud del fragmento más largo, de tal manera que se pudiera evaluar la mayor parte de la secuencia esperada para cada una de las enzimas. En esta etapa se evaluaron 8 combinaciones diferentes dentro las cuales tres eran para la enzima OMT, tres para PAL y dos para TYDC.

Tabla 6. Lista de cebadores diseñados teniendo en cuenta los alineamientos obtenidos a partir de secuencias de aminoácidos de especies reportadas en la base de datos del NCBI. Se muestra el análisis teniendo en cuenta longitud, Tm, %GC y estructuras secundarias.

No.	Nombre del primer	Secuencia (5'-3')	Longitud (bases)	Tm mínima (°C)	%GC	Hairpin	Homodímeros	
							ΔG* (Kcal/mol)	pb complementarias* ¹
1	DegOMTfor1	NGCNYTNCCNATGACNYT	18	44,9	52,8	No	-11,96	6
2	DegOMTfor3	ATGGARGCNTGGTAYAAYYTNAA	23	48,3	39,1	Si	-11,39	6
3	DegOMTfor5	TTYAAYGARGGNATGAARGGNTAY	24	47,8	39,6	Si	-6,13	4
4	DegOMTrev1	AAYCYTCYTCNGTNCKYTCYTTNCC	26	51,3	48,1	Si	-10,4	6
5	DegOMTrev2	ATDATDATNACYTTNCCNCC	20	41,4	38,3	Si	-12,39	9
6	DegOMTrev_2	NGCYTTCCCARCARTTYTTNAR	21	46,8	46,8	No	-8,7	6
7	DegOMTrev4	CKDATNACRTGNGGNARRTC	20	42,9	49,2	Si	-13,93	8
8	DegPALfor1	GAYGARGTNAARMGNATGGTN	21	45,1	45,2	Si	-6,89	4
9	DegPALfor2	GGNACNGAYWSNTAYGGNGTNACN	24	50,8	54,2	Si	-11,02	8
10	DegPALfor3	GGNGAYYTNGTNCCNYTNWSNTA	23	47,0	50,0	Si	-15,03	8
11	DegPALfor4	GAYCCNYTNCARAACRCCNAARCAR	24	49,8	47,9	No	-13,08	8
12	DegPALrev1	NGCNCRTTCCARTCYTCNAR	21	51,2	54,8	No	-13,61	6
13	DegPALrev2	DATYTCYTCNCKNACRAANCKRTA	24	44,9	41,0	No	-14,34	8
14	DegPALrev3	ARRTCYTTYTCRCARAANCK	20	43,4	40,0	Si	-9,14	6
15	DegTYDCfor1	NWSNYTNCCNYTNGAYGC	18	42,5	55,6	No	-10,95	7
16	DegTYDCfor2	CCNGGNYTNTAYCAYTGGCA	20	49,6	55,0	Si	-15,78	8
17	DegTYDCfor3	GCNGGNGARATGYTNWSN	18	46,3	55,6	No	-13,61	6
18	DegTYDCrev1	NACRTGNCKCATYTCRTA	18	41,7	44,4	Si	-13,66	8
19	DegTYDCrev2	CKNARNCKRAARCANACNA	19	38,1	44,7	No	-15,8	9
20	DegTYDCrev3	YTGCCARTCYTTRTARTC	18	41,5	41,7	Si	-7,54	6

* Representa el valor ΔG más negativo posible, es decir la estructura más estable posible. *¹ Indica el número de pares de bases complementarias para el valor de ΔG más negativo.

Tabla 7. Combinaciones de cebadores evaluadas mediante amplificación para la enzima OMT

Cebador Forward	Cebador Reverse	Combinación	Ta (°C)	Longitud esperada del fragmento
DegOMTfor1 5'-NGCNYTNCCNATGACNYT-3'	DegOMTrev1 5'-AAYTCYTCYTCNGTNCKYTCYTTNCC-3'	1	40	~936pb
	DegOMTrev2 5'-ATDATDATNACYTTNCCNCC-3'	2	39	~810pb
	DegOMTrev_2 5'-NGCYTTCCARCARCTTYTTNAR-3'	3	40	~780pb
	DegOMTrev4 5'-CKDATNACRTGNGGNARRTC-3'	4	40	~633pb
DegOMTfor3 5'-ATGGARGCNTGGTAYAAYYTNA-3'	DegOMTrev1 5'-AAYTCYTCYTCNGTNCKYTCYTTNCC-3'	5	44	~603pb
	DegOMTrev2 5'-ATDATDATNACYTTNCCNCC-3'	6	39	~477pb
	DegOMTrev_2 5'-NGCYTTCCARCARCTTYTTNAR-3'	7	44	~447pb
	DegOMTrev4 5'-CKDATNACRTGNGGNARRTC-3'	8	41	~300pb
DegOMTfor5 5'-TTYAAYGARGGNATGAARGGNTAY-3'	DegOMTrev1 5'-AAYTCYTCYTCNGTNCKYTCYTTNCC-3'	9	44	~486pb
	DegOMTrev2 5'-ATDATDATNACYTTNCCNCC-3'	10	39	~360pb

Tabla 8. Combinaciones de cebadores evaluadas mediante amplificación para la enzima PAL

Cebador Forward	Cebador Reverse	Combinación	Ta (°C)	Longitud esperada del fragmento
DegPALfor1 5'-GAYGARGTNAARMGNATGGTN-3'	DegPALrev1 5'-NGCNCCRTTCCARTCYTCNAR-3'	11	40	~2013pb
	DegPALrev2 5'-DATYTCYTCNCKNACRAANCKRTA-3'	12	40	~1878pb
	DegPALrev3 5'-ARRTCYTTYTCRCARAANCK-3'	13	40	~1572pb
DegPALfor2 5'-GGNACNGAYWSNTAYGGNGTNACN-3'	DegPALrev1 5'-NGCNCCRTTCCARTCYTCNAR-3'	14	46	~1827pb
	DegPALrev2 5'-DATYTCYTCNCKNACRAANCKRTA-3'	15	40	~1692pb
	DegPALrev3 5'-ARRTCYTTYTCRCARAANCK-3'	16	40	~1386pb
DegPALfor3 5'-GGNGAYYTNGTNCCNYTNWSNTA-3'	DegPALrev1 5'-NGCNCCRTTCCARTCYTCNAR-3'	17	44	~1527pb
	DegPALrev2 5'-DATYTCYTCNCKNACRAANCKRTA-3'	18	40	~1392pb
	DegPALrev3 5'-ARRTCYTTYTCRCARAANCK-3'	19	40	~1086pb
DegPALfor4 5'- GAYCCNYTNCARAARCCNAARCAR -3'	DegPALrev1 5'-NGCNCCRTTCCARTCYTCNAR-3'	20	46	~1116pb
	DegPALrev2 5'-DATYTCYTCNCKNACRAANCKRTA-3'	21	40	~981pb
	DegPALrev3 5'-ARRTCYTTYTCRCARAANCK-3'	22	40	~675pb

Tabla 9. Combinaciones de cebadores evaluadas mediante amplificación para la enzima TYDC

Cebador Forward	Cebador Reverse	Combinación	Ta (°C)	Longitud esperada del fragmento
DegTYDCfor1 5'- NWSNYTNCCNYTNGAYGC -3'	DegTYDCrev1 5'- NACRTGNCKCATYTCRTA -3'	23	40	~1443pb
	DegTYDCrev2 5'- CKNARNCKRAARCANACNA -3'	24	36	~1293pb
	DegTYDCrev3 5'- YTGCCARTCYTTRTARTC -3'	25	40	~1101pb
DegTYDCfor2 5'-CCNGGNYTNAYCAYTGGCA-3'	DegTYDCrev1 5'- NACRTGNCKCATYTCRTA -3'	26	40	~1218pb
	DegTYDCrev2 5'- CKNARNCKRAARCANACNA -3'	27	36	~1068pb
	DegTYDCrev3 5'- YTGCCARTCYTTRTARTC -3'	28	40	~876pb
DegTYDCfor3 5'-GCNGGNGARATGYTNWSN-3'	DegTYDCrev1 5'- NACRTGNCKCATYTCRTA -3'	29	40	~1146pb
	DegTYDCrev2 5'- CKNARNCKRAARCANACNA -3'	30	36	~996pb
	DegTYDCrev3 5'- YTGCCARTCYTTRTARTC -3'	31	40	~804pb

2.5.3. Preparación de las muestras para amplificación

Extracción de ARN total

La extracción del ARN se llevó a cabo a partir de las hojas del material vegetal. Se midió la concentración mediante espectrofotometría UV-Vis y también se estimó la calidad del ARN como se muestra en la tabla 10. La calidad está determinada por la relación entre las absorbancias a 260nm y 280nm. Una relación de A260/A280 entre 1,8 a 2,0 indicaba que la muestra ARN estaba pura.

Tabla 10. Concentración y calidad del ARN total extraído de las hojas en individuos de *Z. carinata* y *Z. rosea*.

Nombre de la muestra	Concentración (ng/ μ L)	A260/A280
IA-023	1195,7	2,07
IA-036	1977,2	2,02
IA-045	1462,95	1,97
IA-100	811,2	1,70
IA-21iv	1760,8	2,02
IA-25iv	1754,3	2,03
IA-100iv	1798,7	2,04

Síntesis de ADNc

Se hizo una síntesis de ADNc a partir de ARN total de células HeLa como control positivo. Este consistió en la amplificación por PCR con los cebadores específicos para el gen de la β -actina humana, ensayo que permitió concluir el éxito de la síntesis de ADNc a partir de la muestra control (Ver figura 4). Por medio del análisis del producto de PCR control mediante electroforesis, se observó la banda esperada que permitió concluir que la síntesis de ADNc a partir del ARNm de las muestras provenientes del material vegetal fue también exitosa, por lo que se tiene ADNc a partir del ARNm extraído para cada muestra.

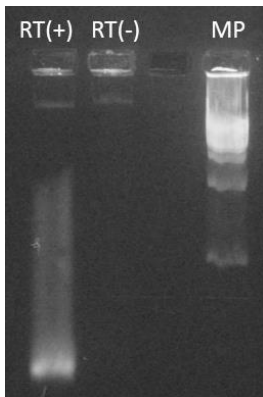


Figura 4. Electroforesis en gel de agarosa del producto de PCR a partir de las muestras de ADNc células HeLa. RT(+): cóctel de PCR contiene la enzima Reverse Transcriptase (RT). RT(-): No se le adicionó enzima. MP: Marcador de Peso.

2.5.4. Amplificación de ADNc y visualización de los productos de PCR

Se evaluaron las diferentes combinaciones de los cebadores diseñados en las muestras de ADNc por medio de la técnica de amplificación por PCR. La visualización de las posibles bandas amplificadas, se analizó mediante geles de agarosa al 1,5%. En un primer análisis se evaluaron 8 de las combinaciones de cebadores degenerados diseñados, pero no se obtuvieron bandas específicas. Partiendo de esto, se hicieron ajustes de las condiciones de PCR tales como aumento en la concentración de MgCl₂ y variación de la *T_a*, y se evaluaron todas las combinaciones posibles restantes teniendo en cuenta que la longitud del fragmento no fuera menor a 200pb. Con lo anterior se buscaba que la secuencia amplificada fuera suficientemente informativa de la secuencia esperada, conociendo que la longitud total para la enzima OMT es de ~1200pb, para la enzima PAL es de ~2400pb y para la enzima TYDC la longitud total aproximada es de ~1600pb.

Se evaluaron en total 31 combinaciones de cebadores degenerados, para las cuales no se obtuvieron bandas específicas que permitieran definir el éxito de amplificación de alguna de las combinaciones probadas. En la figura 5 se presenta una muestra de uno de los geles correspondientes a la evaluación de 14 combinaciones.

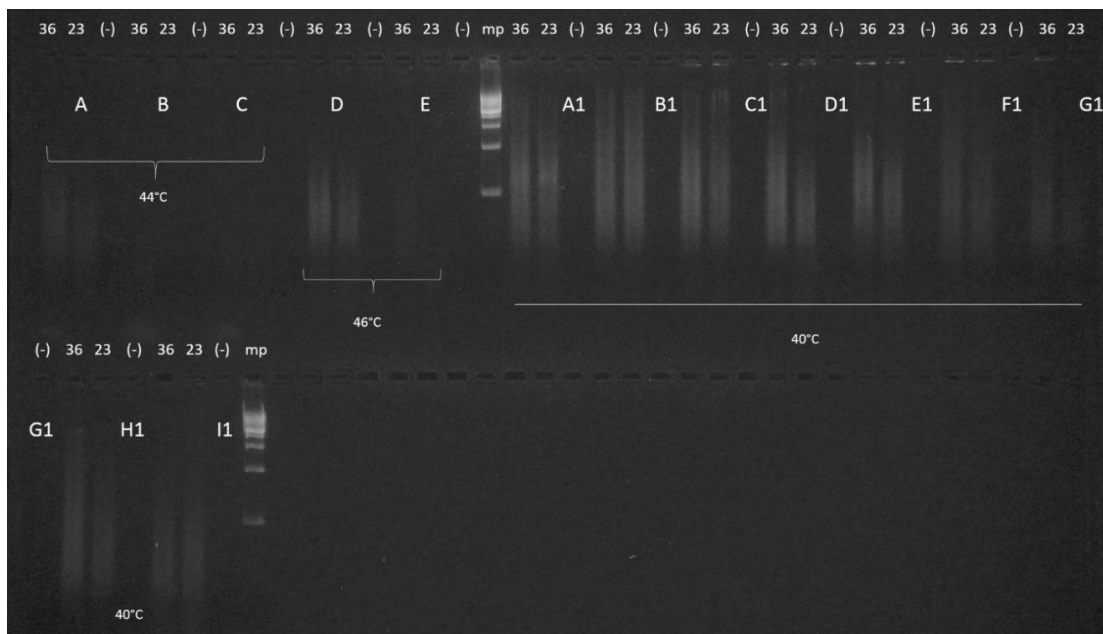


Figura 5. Electroforesis de los productos de PCR donde se evaluaron las siguientes combinaciones: A (Comb 5), B (Comb 7), C (Comb 17), D (Comb 14), E (Comb 20), A1 (Comb 1), B1 (Comb 3), C1 (Comb 4), D1 (Comb 11), E1 (Comb 13) F1 (Comb 18), G1 (Comb 23), H1 (Comb 25), I1 (Comb 26). Las temperaturas especificadas corresponden a la temperatura de annealing (*T_a*) empleada para la pareja de cebadores. Por cada combinación se hizo un control negativo (-) sin ADNc molde. Las muestras evaluadas fueron: 36 (IA-036) y 23 (IA-023). Mp: Marcador de peso molecular, 1Kb (Promega).

En vista de estos resultados, se decidió diseñar nuevos cebadores utilizando el programa PRIMACLADe (<http://primaclade.org/>), pero esta vez teniendo en cuenta el alineamiento únicamente de secuencias de ARNm correspondientes a las enzimas PAL, TYDC y OMT en plantas monocotiledóneas reportadas en la base de datos del NCBI (ver figura 23, 24 y 25, en anexos). De estos nuevos alineamientos se tiene que la longitud reportada para la enzima OMT es de ~1500pb, para la enzima PAL es de ~2500pb y para la enzima TYDC la longitud es de ~1900pb.

2.5.4.1. Cebadores obtenidos a partir del alineamiento de secuencias de ARNm

Los cebadores obtenidos a partir de los alineamientos de secuencias de ARNm se presentan en la dirección 5'-3' tanto para los cebadores *Forward* como *Reverse* (Ver Tabla 11). Las diferentes combinaciones *Forward-Reverse* evaluadas en los individuos se presentan en las tablas 12,13 y 14.

Para estos nuevos cebadores se obtuvieron secuencias de nucleótidos con una longitud de 18 a 22pb. A pesar de que se presenta la posibilidad de formación de estructuras secundarias como *hairpin* y/o homodímeros, si se compara con los cebadores diseñados a partir de alineamientos de secuencias de aminoácidos, se observa que los nuevos cebadores presentan mejores propiedades ya que las posibles estructuras secundarias son menos estables (ΔG menos negativo) y también el número de las pares de bases que pueden ser complementarias al interior del mismo cebador es menor, las cuales van de 3 a 6 pares (Ver tabla 11). Tan sólo se presenta un caso con 10 pares de bases complementarias internas, para el cebador número 25, *DegPALrev4*.

Con respecto al número de degeneraciones en estos nuevos cebadores, se obtuvieron entre 3 y 5 bases degeneradas y en cuanto al análisis de la T_m , también se muestra para cada cebador sólo la temperatura de fusión mínima (T_m), la cual corresponde a la secuencia de nucleótidos con menor contenido de GC (ver tabla 11).

Una vez se tuvieron los cebadores degenerados nuevos, se evaluaron 4 combinaciones diferentes para la enzima PAL, 4 combinaciones para la enzima TYDC y una combinación para la enzima OMT. Las temperaturas de *annealing* (T_a) para cada pareja de cebadores fueron calculadas como se menciona en la Ecuación 1, y se presentan en las tablas 12, 13 y 14.

Tabla 11. Lista de cebadores diseñados teniendo en cuenta los alineamientos obtenidos a partir de secuencias de ARNm de especies reportadas en la base de datos del NCBI. Se muestra el análisis teniendo en cuenta longitud, Tm, %GC y estructuras secundarias.

No.	Nombre del primer	Secuencia (5'-3')	Longitud (bases)	Tm mínima (°C)	%GC	<i>Hairpin</i>	Homodímeros	
							ΔG* (Kcal/mol)	pb complementarias
21	DegOMTfor6	AYGAGGRYGGSGTSTCCA	18	55,1	55,56	Si	-7,22	4
22	DegOMTrev6	TGCKCGTCRYYCCAGTCR	18	53,6	55,56	Si	-8,57	4
23	DegPALfor5	AGGCNAGYAGYGABTGGR	18	49,2	55,56	No	-11,15	6
24	DegPALfor6	RTCAACACBCTCCTCCARG	19	51,3	57,89	No	-4,67	3
25	DegPALrev4	TARTCCARGCTNGGGTTNC	19	48,4	57,89	Si	-21,1	10
26	DegPALrev5	CCRTTGTTGTARAATCRTTVA	22	45,4	40,91	Si	-5,33	4
27	DegTYDCfor4	TCMTGCCGRSTAATACSS	19	56,0	57,89	No	-14,43	6
28	DegTYDCfor5	CYWCTTCGCSYACTTCCCS	19	54,5	57,89	No	-10,09	4
29	DegTYDCrev4	CGGAARCAACASAGVGMGA	19	51,0	52,63	No	-7,72	4
30	DegTYDCrev6	GRTSYSGCCAGTCCTTAGTCK	22	55,3	54,55	Si	-7,94	4

* Representa el valor ΔG más negativo posible, es decir la estructura más estable posible. *¹ Indica el número de pares de bases complementarias para el valor de ΔG más negativo.

Tabla 12. Combinación de cebadores evaluada mediante amplificación para la enzima OMT

Cebador Forward	Cebador Reverse	Combinación	Ta (°C)	Longitud esperada del fragmento
DegOMTfor6 5'-AYGAGGRYGGSGTSTCCA-3'	DegOMTrev6 5'-TGCKCGTCRYYCCAGTCR-3'	32	51	~491pb

Tabla 13. Combinaciones de cebadores evaluadas mediante amplificación para la enzima PAL

Cebador Forward	Cebador Reverse	Combinación	Ta (°C)	Longitud esperada del fragmento
DegPALfor5 5'- AGGCNAGYAGYGABTGGR-3'	DegPALrev4 5'- TARTCCARGCTNGGGTTNC-3'	33	45	~1087pb
	DegPALrev5 5'- CCRTTGTGTARAATCRTTVVA-3'	34	42	~1042pb
DegPALfor6 5'-RTCAACACBCTCCTCCARG-3'	DegPALrev4 5'- TARTCCARGCTNGGGTTNC-3'	35	45	~869pb
	DegPALrev5 5'- CCRTTGTGTARAATCRTTVVA-3'	36	42	~824pb

Tabla 14. Combinaciones de cebadores evaluadas mediante amplificación para la enzima TYDC

Cebador Forward	Cebador Reverse	Combinación	Ta (°C)	Longitud esperada del fragmento
DegTYDCfor4 5'- TCMTGCCGRSTACTACSS -3'	DegTYDCrev4 5'- CGGAARCYACSAVGGMGA -3'	37	48	~1232pb
	DegTYDCrev6 5'- GRTSYSAGTCCTTAGTCK -3'	38	51	~1050pb
DegTYDCfor5 5'- CYWCTTCGCSYACTTCCCS -3'	DegTYDCrev4 5'- CGGAARCYACSAVGGMGA -3'	39	48	~1045pb
	DegTYDCrev6 5'- GRTSYSAGTCCTTAGTCK -3'	40	51	~863pb

2.5.5. Amplificación de ADNc de los nuevos cebadores

Del análisis por amplificación y electroforesis de las 9 combinaciones nuevas de cebadores degenerados, se encontró que una pareja de cebadores que flanquean un fragmento de la enzima OMT tuvo éxito en la amplificación por PCR observándose una banda bien definida de una longitud esperada de ~490pb en las muestras de *Z. carinata* (Figura 6 y 7). Por el contrario el análisis con las combinaciones de cebadores para las otras enzimas PAL y TYDC, dio resultados negativos ya que no se observó ninguna banda esperada (Figura 6).

El cebador *forward DegOMTfor6* inicia en la posición 489 y el cebador *reverse DegOMTrev6* finaliza en la posición 980 de acuerdo a la secuencia consenso obtenida a partir del alineamiento con las entradas de los diferentes individuos. De esta manera el fragmento esperado es de aproximadamente 491pb sin tener en cuenta la presencia de mutaciones como inserciones o delecciones.

Al hacer la búsqueda del fragmento en la base de datos del NCBI mediante la herramienta BLAST con la opción *blastx*, la cual permite hacer una búsqueda en la base de datos de proteínas partiendo de una secuencia de entrada de nucleótidos como ARNm, se encontró que este fragmento corresponde a una región de dominio conservado de la enzima OMT el cual está dentro de la clasificación de la super familia de metiltransferasas 2. Este fragmento además incluye un dominio de dimerización en el extremo aminoterminal de la proteína.

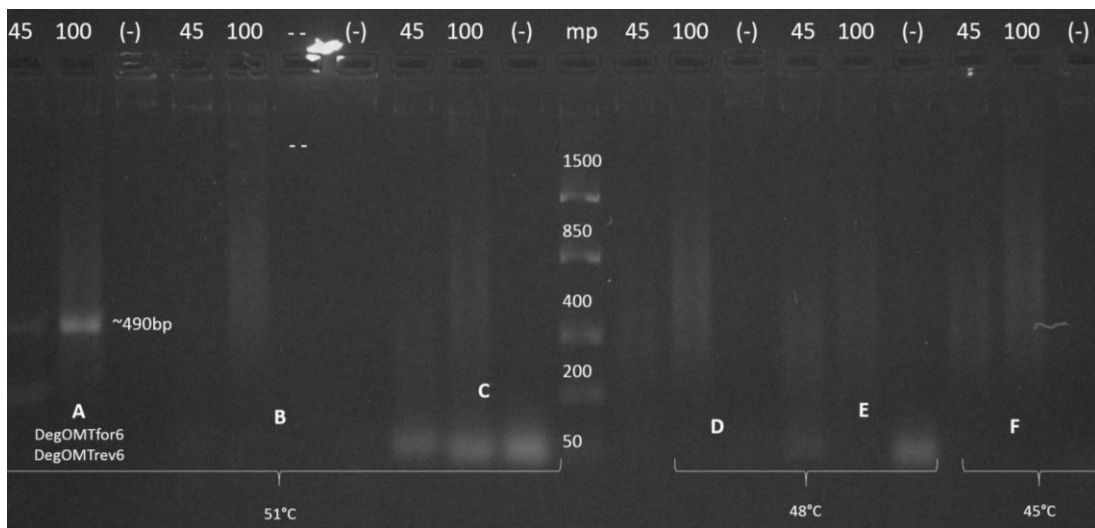


Figura 6. Electroforesis de los productos de PCR con las combinaciones de cebadores degenerados A: comb. 32; B: comb. 38; C: comb. 40; D: comb. 37; E: comb. 39; F: comb. 33. Las temperaturas especificadas corresponden a la temperatura de annealing (T_a) empleada para cada pareja de cebadores. Por cada combinación se hizo un control negativo (-) sin ADNc molde. Las muestras evaluadas fueron: 45 (IA-045) *Z. rosea* y 100 (IA-100) *Z. carinata*. Mp: Marcador de peso molecular, *Fast Ruler Low Range DNA Ladder* (Fermentas). El fragmento amplificado tiene una longitud esperada de ~490pb.

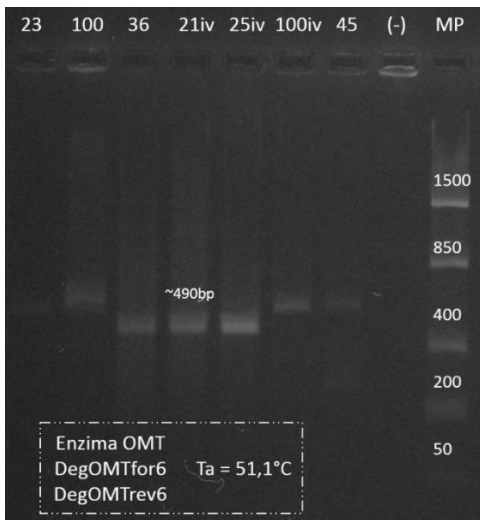


Figura 7. Electroforesis de los productos de PCR con los cebadores degenerados *DegOMTfor6* - *DegOMTrev6* a una temperatura de annealing (*T_a*) de 51,1°C. Los individuos analizados son 23 (IA-023), 100 (IA-100), 36 (IA-036), 21iv (IA-021iv obtenido de cultivo *in vitro*), 25iv (IA-025iv obtenido de cultivo *in vitro*), 100iv (IA-100iv obtenido de cultivo *in vitro*), todos de *Z. carinata* y 45 (IA-045) de *Z. rosea*; (-) indica el control negativo. MP: marcador de peso molecular *Fast Ruler Low Range DNA Ladder* (Fermentas). El fragmento amplificado tiene una longitud esperada de ~490pb.

2.5.6. Clonación molecular y transformación bacteriana en *E. coli*

Los productos de PCR correspondientes al fragmento amplificado de la enzima OMT obtenidos a partir de los individuos de *Z. carinata*, fueron usados directamente como inserto para la ligación en el vector pTZ57R/T (*InsTAClone PCR Cloning Kit*, Thermo Scientific). Esta ligación fue usada posteriormente para la transformación de células competentes de *E. coli* cepa DH5α, las cuales fueron cultivadas en medio LB sólido con ampicilina, IPTG y X-Gal.

La verificación de colonias transformantes se llevó a cabo mediante el sistema alfa-complementación con el reconocimiento fenotípico de colonias blancas/recombinantes y azules/no recombinantes. En las Figuras 8 - 11 se muestran las placas de la transformación bacteriana con el inserto del fragmento amplificado de OMT para los individuos IA-036 (Figura 8), IA-025iv obtenido de cultivo *in vitro* (Figura 9), IA-021iv obtenido de cultivo *in vitro* (Figura 10) y la transformación bacteriana con la ligación control con un inserto de 953pb como control positivo (Figura 11).

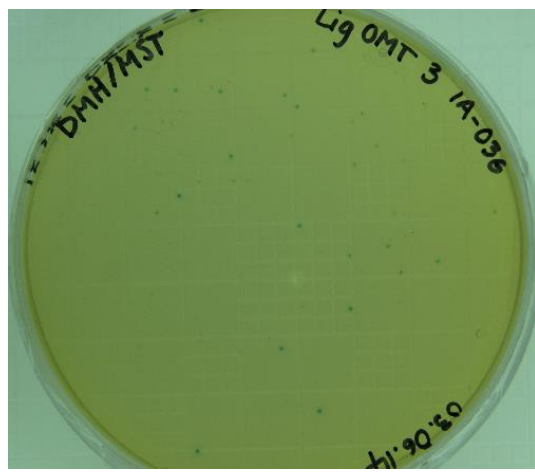


Figura 8. Cultivo de bacterías transformadas con la ligación conteniendo el fragmento amplificado de OMT en el individuo IA-036.

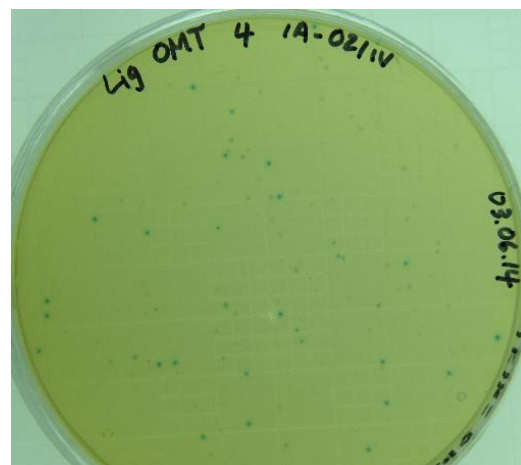


Figura 10. Cultivo de bacterías transformadas con la ligación conteniendo el fragmento amplificado de OMT en el individuo IA-021iv.

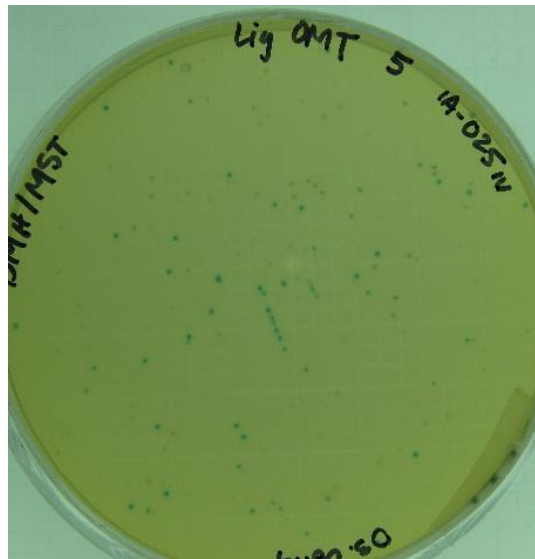


Figura 9. Cultivo de bacterías transformadas con la ligación conteniendo el fragmento amplificado de OMT en el individuo IA-025iv.

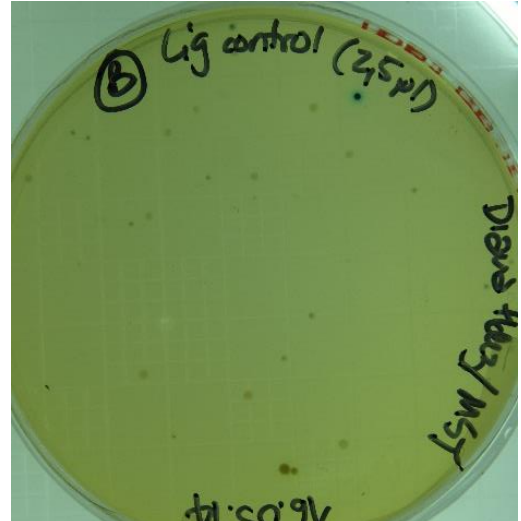


Figura 11. Cultivo de bacterias transformadas con la reacción de ligación conteniendo un inserto de un fragmento amplificado de 953pb como control positivo.

2.5.6.1. Eficiencia de la ligación

El porcentaje de eficiencia de la ligación es calculada con respecto al control positivo teniendo en cuenta la siguiente expresión:

$$\text{Porcentaje de eficiencia} = \frac{\text{No. colonias blancas}}{\text{No. colonias blancas} + \text{No. colonias azules}} \times 100 \quad \text{Ecuación 2}$$

El porcentaje de la eficiencia de la ligación calculado fue del 54%, con la aparición de 15 colonias recombinantes y 13 no recombinantes en el cultivo con la ligación control.

2.5.6.2. Confirmación de la presencia del inserto esperado mediante PCR

Para la verificación de la inserción del fragmento amplificado para la enzima OMT en el vector de clonación pTZ57R/T se realizó una PCR a partir de las colonias recombinantes con los cebadores *Forward* y *Reverse* M13/pUC. Los productos de PCR fueron analizados en gel de agarosa 1,5% y las bandas que se observaron se presentan en la Figura 12. Con la visualización en el gel, se observó un patrón de bandas con longitudes aproximadas entre 450pb y 850pb. Con esta información se seleccionaron las colonias que según las bandas observadas presentan una inserción de un fragmento que posiblemente incluya el fragmento amplificado de la enzima OMT. Para el individuo IA-036 las colonias seleccionadas fueron la 10, 16, 17, 18, 19 y 20. Para IA-021iv (obtenido de cultivo *in vitro*) se seleccionaron las colonias 1, 2, 3, 4, 9, 12, 13 y 20 y para el individuo IA-025iv (obtenido de cultivo *in vitro*) las colonias fueron la 7, 8, 9, 15 y 17. Estas colonias identificadas fueron posteriormente propagadas en medio LB líquido ampicilina para hacer la debida extracción de los plásmidos.

Los plásmidos fueron analizados en un gel de agarosa 1% y se observaron bandas bien definidas con una longitud esperada de 3000pb como se observa en la Figura 13.

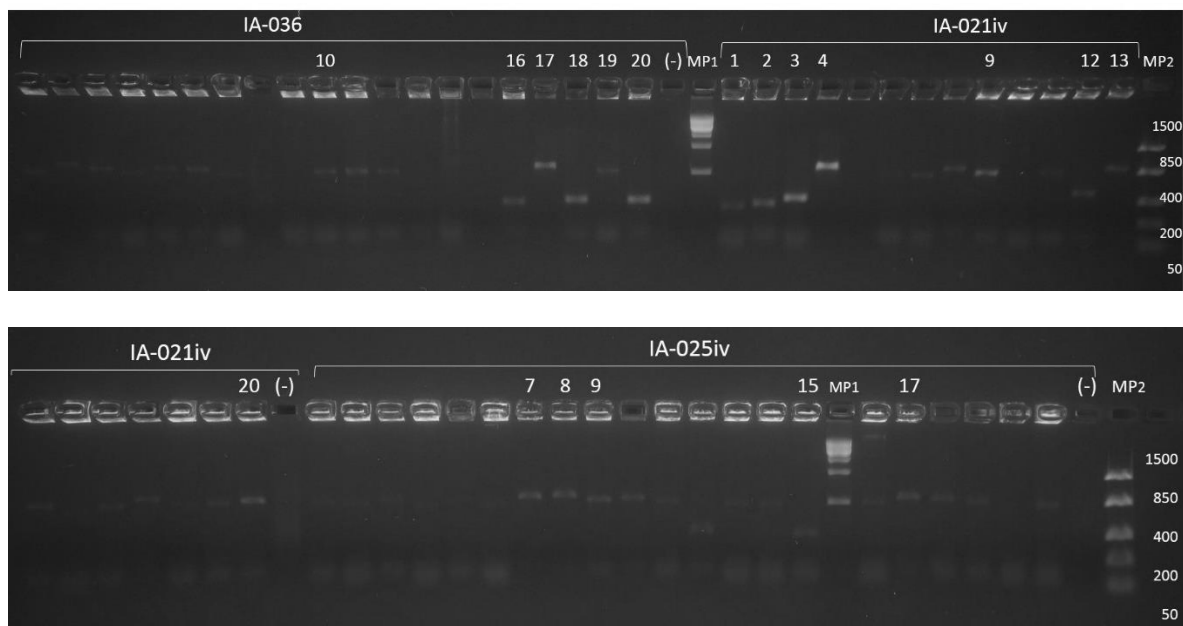


Figura 12. Electroforesis de los productos de PCR a partir de las colonias provenientes de la transformación bacteriana con las ligaciones con el fragmento de OMT para los individuos IA-036, IA-021iv y IA-025iv de *Z. carinata*. Los números indican el número de la colonia aislada que fue tomada para la reacción de PCR. MP1: marcador de peso molecular 1Kb, Promega. MP2: marcador de peso molecular *Fast Ruler Low Range DNA Ladder* (Fermentas)

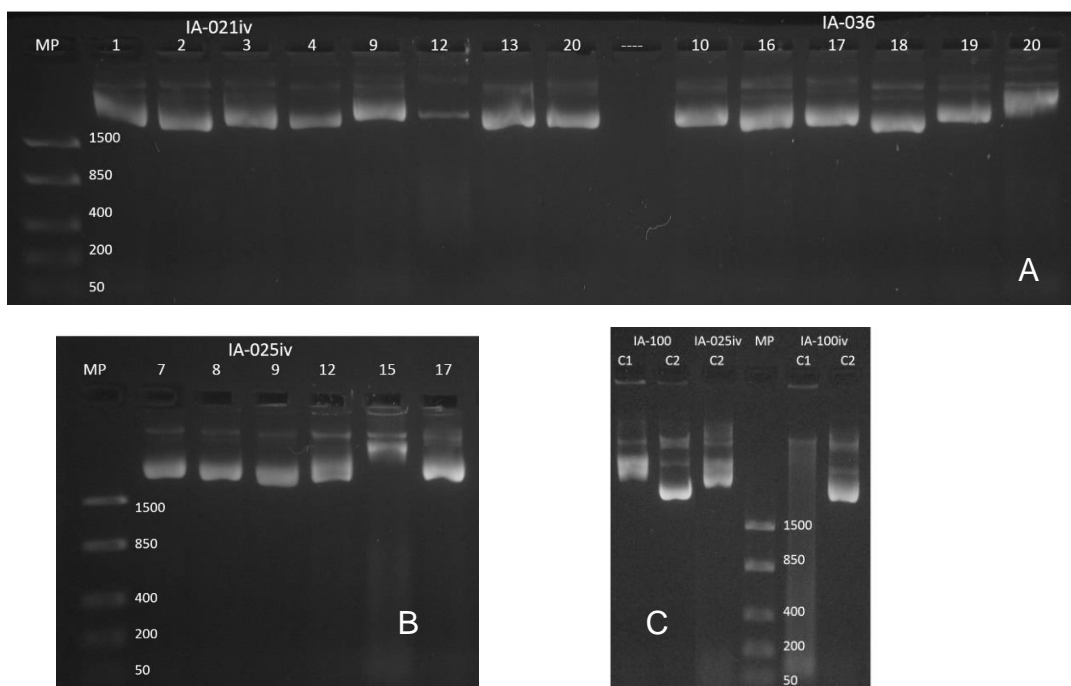


Figura 13. Electroforesis de los plásmidos extraídos a partir de las colonias que se identificaron como informativas en la amplificación por PCR. A: Plásmidos provenientes de la amplificación en los Individuos IA-021iv e IA-036. B: Plásmidos provenientes de la amplificación en el individuo IA-025iv. C: Plásmidos provenientes de la amplificación en los individuos IA-100, IA-025iv e IA-100iv.

2.5.6.3. Confirmación de la presencia del inserto esperado mediante análisis de restricción

La verificación de la transformación también se hizo mediante la digestión de los plásmidos provenientes de las colonias transformadas con las ligaciones conteniendo los fragmentos amplificados para OMT a partir de los individuos de *Z. carinata* IA-100, IA-025iv y IA-100iv. Como resultado se observaron algunas bandas correspondientes al fragmento digerido de una longitud esperada de 640-700pb, y adicionalmente bandas de una longitud aproximada de 2500pb correspondientes al fragmento lineal del plásmido (Ver Figura 14)

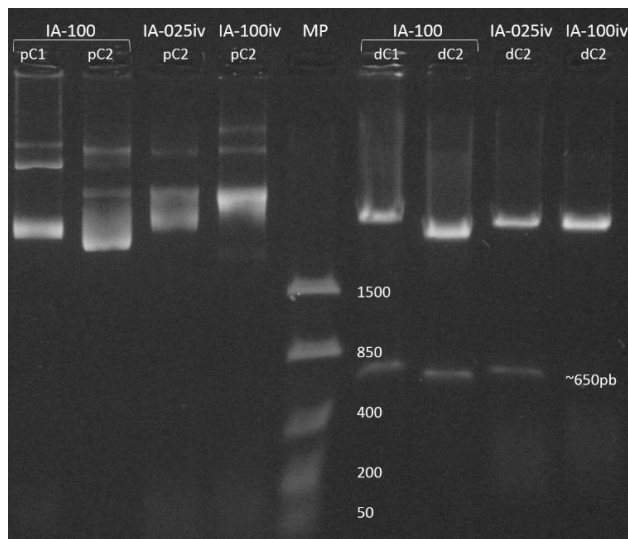


Figura 14. Electroforesis de los plásmidos obtenidos a partir de colonias transformadas y sus correspondientes reacciones de digestión mediante las enzimas de restricción EcoRI y BamHI. Los plásmidos provienen de las ligaciones con el fragmento amplificado de OMT de los individuos IA-100, IA-025iv, IA-100 de *Z. carinata*. En los cuatro primeros carriles pC1 y pC2 corresponden a los plásmidos de la colonia 1 y 2 de la respectiva ligación. En los últimos cuatro carriles dC1 y dC2 corresponden a la digestión de los plásmidos de las colonias de las respectivas ligaciones. La banda a ~650pb en los últimos cuatro carriles corresponde al fragmento del inserto de interés.

2.5.7. Extracción del plásmido

Los plásmidos extraídos como ya se ha mencionado fueron analizados mediante electroforesis en gel de agarosa. Adicionalmente se midió la concentración de cada una de las muestras para determinar con exactitud el volumen necesario para la preparación de alícuotas con concentración de 100ng/ μ L, teniendo en cuenta que es la concentración requerida para la posterior secuenciación según lo especifica Macrogen Korea, compañía biotecnológica que presta este servicio (http://www.nucleics.com/DNA_sequencing_support/sequencing-service/macrogen.html).

2.5.8. Secuenciación

Con respecto a las secuencias de ADNc obtenidas a partir del inserto en los plásmidos recombinantes en general fueron secuencias de muy buena calidad. Los cromatogramas obtenidos de la secuenciación tienen picos bien definidos y se indica que hay una alta probabilidad de que las bases que se muestran son las correctas. Se presenta una muestra de un cromatograma para la secuenciación del inserto OMT para el individuo IA-036 colonia 19 en la Figura 28, en anexos.

De las 22 secuencias de ADNc obtenidas a partir de los plásmidos recombinantes, 12 de estas incluyen secuencias que se corresponden en la base de datos de nucleótidos con la enzima OMT mediante la herramienta BLAST. En la mayoría de las secuencias se produjeron alineamientos significativos con secuencias de ADNc de especies de plantas monocotiledóneas y dicotiledóneas (Ver Tabla 15, se muestran algunas secuencias) y el inserto en 11 de las secuencias comprende una longitud de 474pb, sin embargo se observa polimorfismo en este fragmento de ADNc amplificado para la enzima OMT entre los individuos de *Z. carinata* y entre las secuencias del inserto dentro de un mismo individuo (Ver Figura 30, 31 y 32). Dentro de los individuos para los cuales se obtuvieron estas 11 secuencias de ADNc se encuentran IA-100 (2 clones), IA-036 (3 clones), IA-021iv (2 clones) y IA-025iv (4 clones), provenientes de diversos orígenes como Cali, Popayán y Zarzal (los dos últimos).

Particularmente la secuenciación del inserto para el individuo IA-100 en los clones de las colonias 1 y 2, dio como resultados secuencias de ADNc idénticas para ambos insertos (Figura 29). Resultados opuestos se encontraron para las demás secuencias de los insertos de los clones de los otros individuos. Tanto para IA-036, IA-021iv como para IA-025iv, las secuencias obtenidas para el inserto del fragmento de OMT dentro de cada individuo, presentan en la mayoría de los casos cambios en nucleótidos para una sola posición, los cuales se encuentran en toda la extensión de la secuencia.

Adicionalmente, se obtuvo que una de las secuencias del inserto para el individuo IA-021iv presenta un fragmento de ADNc de 1174pb, lo que permite suponer que es posible que haya una inserción en la secuencia de ADNc para la enzima OMT en el caso particular de este individuo.

La inserción de 700pb en la secuencia de ADNc de OMT en el individuo IA-021iv (*IA-021iv_OMT_Colonia9*) inicia a partir de la posición 281 con respecto a las secuencias de ADNc para OMT de los demás insertos. Sin embargo se observa que el fragmento adicional a partir de esa posición, es una secuencia que comparte varias regiones homólogas de entre 2 y 6 nucleótidos contiguos con las demás secuencias de los otros insertos (Ver Figura 26).

Siendo esta secuencia más larga que todas las demás secuencias de los insertos fue necesario sacarla del alineamiento. De esta manera se obtuvo el alineamiento presentado en la figura 27 con el objetivo de generar una secuencia de ADNc consenso para evidenciar finalmente la secuencia que se logró determinar con los cebadores degenerados diseñados para el fragmento de la enzima OMT. Es así como se obtuvo la secuencia para esta enzima en los individuos pertenecientes a la especie *Zephyranthes carinata* de la familia Amaryllidaceae evaluados en este estudio (Figura 15).

Tabla 15. Resultados de la búsqueda de secuencias similares a las secuencias de los insertos en las bases de datos mediante BLAST. Las secuencias en las bases de datos hacen referencia a la enzima OMT.

Individuo para el cual fue secuenciado el inserto	Accesión de las secuencias que produjeron alineamientos significativos	Nombre de la especie	Valor E*
IA-100 Colonia1	AB183825.1 GQ337077.1	Iris x hollandica (M) Jatropha curcas (D)	8e-94 1e-57
IA-100 Colonia2	AB183825.1 GQ337077.1	Iris x hollandica (M) Jatropha curcas (D)	8e-94 1e-57
IA-036 Colonia 10	AB183825.1 AK359402.1	Iris x hollandica (M) Hordeum vulgare subsp. Vulgare (M)	6e-95 1e-56
IA-036 Colonia 17	AB183825.1 GQ337077.1	Iris x hollandica (M) Jatropha curcas (D)	4e-92 5e-56
IA-036 Colonia 19	AB183825.1 XM_003573422.1	Iris x hollandica (M) Brachypodium distachyon (M)	4e-87 8e-54
IA-021iv Colonia 4	AB183825.1 GQ337077.1	Iris x hollandica (M) Jatropha curcas (D)	2e-95 1e-61
IA-021iv Colonia 9	AB183825.1 GQ337077.1	Iris x hollandica (M) Jatropha curcas (D)	5e-40 8e-18
IA-021iv Colonia 20	AB183825.1 XM_003573422.1	Iris x hollandica (M) Brachypodium distachyon (M)	2e-90 2e-55
IA-025iv Colonia 20	AB183825.1 GQ337077.1	Iris x hollandica (M) Jatropha curcas (D)	1e-91 1e-56
IA-025iv Colonia 7	AB183825.1 GQ337077.1	Iris x hollandica (M) Jatropha curcas (D)	7e-95 1e-57
IA-025iv Colonia 8	AB183825.1 XM_003573422.1	Iris x hollandica (M) Brachypodium distachyon (M)	4e-87 8e-54
IA-025iv Colonia 17	AB183825.1 GQ337077.1	Iris x hollandica (M) Jatropha curcas (D)	4e-92 2e-59

* Un valor E cercano de cero indica que la probabilidad de que el alineamiento se haya producido al azar es cercana a cero. Por tanto un pequeño valor E se refiere a los mejores alineamientos.

(M)= Monocotiledónea (D)= Dicotiledónea

```

>Enzima OMT_Secuencia consenso_Zephyranthes carinata
TTGCGCGTCGTTCCAGTCGTGCAAAATCCACTCATGAAAATGGCATCTCCACT
AGGCACGCTCTCAAACATATCTCCACCAACATGCTCCACCCCAGGAATAAGGTT
TGCTTCGGATATAACGTGGGTAGATCGAAGTTGATCCCTTCAGGTGAGGATG
TTTCTTGATGATCATATTAAATGGTCCCCCGACTCCTCCGACATCGACGAG
AACTTTGAGATCGTCAAAGCCCTGTAGGTTGAGAAATCTTCTTGGTGTGATGAT
GGTGGAGTGATTCCATCCCTCGTTGAAAACCTTGTGAATCTTGGTCCGT
GCCGTGGTATTCAACGCGGTCACTCCATAGGCTTGTGAATGGATGCCTC
CATCTAAGACGGCATCCTCAAATGGTACCAAGCTCTATGAGGATCTTGTCC
GGTCATGAGCCCCAAGAGCGGCCATGGACACCCCCACCCCTCATA

```

Figura 15. Secuencia de ADNc consenso para una región de la enzima OMT en especies de *Z. carinata*

Cuando se hace BLAST de esta secuencia identificada para la enzima OMT en la base de datos de proteínas mediante el programa **blastx** (Búsqueda en la base de datos de proteínas usando una secuencia de entrada de nucleótidos traducidos) se encuentra que esta región de ADNc hace referencia a un dominio conservado que permite hacer la clasificación dentro de la superfamilia de las enzimas metiltransferasas 2 (Ver figura 16-A). Entre las posiciones 40 y 100pb está presente una secuencia para un dominio de dimerización que se encuentra en el extremo amino de una variedad de O-metiltransferasas en plantas, el cual media la dimerización de estas proteínas (Ver figura 16-B). También se identifica que dentro de la secuencia consenso entre las posiciones 60 y 150pb hay un dominio común que sitúa el sitio de unión a la S-adenosilmetionina (SAM) en las enzimas metiltransferasas dependientes de SAM clase 1, que es la clase estructural más grande y diversa de este tipo (Ver figura 16-C).

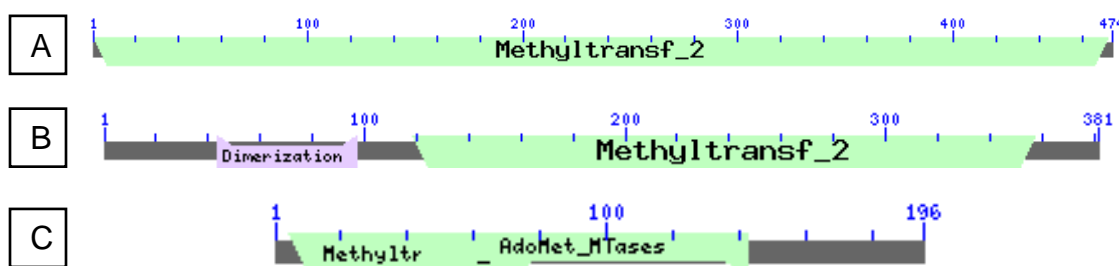


Figura 16. Dominios conservados en la secuencia consenso para la enzima OMT en *Z. carinata*, identificadas mediante BLAST. A: dominio conservado que hace referencia a la superfamilia de metiltransferasas 2. B: dominio conservado que hace referencia a la región de dimerización en proteínas OMT en plantas. C: dominio conservado que se corresponde con la región del sitio de unión a SAM en enzimas OMT dependiente de SAM.

Con el objetivo de identificar las secuencias posibles de aminoácidos que se podrían expresar a partir de las secuencias de ARNm implícitas en el ADNc identificado para cada inserto, se hizo el proceso de traducción teniendo en cuenta el código genético estándar (ver figura 3). A partir de las 10 secuencias de ADNc polimórficas para la enzima OMT, se identificaron 7 secuencias de aminoácidos diferentes. Estas están constituidas por una pauta de lectura continua de 152 aminoácidos correspondientes a la región central de la enzima OMT; localización que se infiere teniendo en cuenta la posición de los cebadores en la secuencia de ARNm completa reportada para esta enzima (Ver figura 23, en Anexos).

Para las secuencias de ADNc provenientes de los insertos de IA-100 colonia 1, IA-036 colonia 10, IA-025iv colonias 7 y 17 se obtuvieron secuencias de aminoácidos idénticas (figura 33). Para los 6 insertos restantes provenientes de IA-036 colonias 17 y 19, IA-021iv colonias 4 y 20 e IA-025iv colonias 2 y 8, se obtuvieron secuencias de aminoácidos diferentes entre sí (figura 34, en Anexos).

2.6. DISCUSIÓN

Para el desarrollo de esta investigación, el componente bioinformático constituyó quizá la estrategia más importante para abordar el problema científico planteado que es la identificación de la secuencia de ADNc de alguna enzima dentro de la biosíntesis de los alcaloides de Amaryllidaceae. La forma de abordarlo mediante el diseño de cebadores degenerados permitió identificar secuencias de nucleótidos que pudieran ser específicas para una región de ARNm que hasta el momento era desconocida. Lo anterior se logra partiendo de la premisa de que si se identifican secuencias de proteínas o de ARNm conservadas para las enzimas de interés PAL, TYDC y OMT en especies de plantas no relacionadas con las de la familia Amaryllidaceae, es posible identificar una secuencia en *Z. carinata*, siempre y cuando los cebadores se diseñen con base en esas regiones conservadas en otras especies.

El diseño de cebadores degenerados a partir de alineamientos de secuencias de ARNm en general fue más específico que el diseño a partir de alineamientos de secuencias de proteínas. La limitante que se encontró para esta última aproximación, fue que los cebadores degenerados presentaban mucha más degeneración (entre 5 y 10 bases degeneradas), por lo que aumentaban las posibilidades de secuencias para cada cebador y adicionalmente las posibles estructuras secundarias tales como homodímeros o *hairpin* eran más estables con respecto a los cebadores diseñados a partir de secuencias de ARNm.

Estas características permitieron concluir que los cebadores degenerados obtenidos a partir de secuencias de proteínas no fueron suficientemente específicos para las regiones esperadas para las enzimas PAL, TYDC y OMT o presentaron problemas de hibridación significativos, ya que no se obtuvo ningún éxito de amplificación con la cual se pudiera definir una banda de un tamaño específico.

Por otro lado, los cebadores degenerados diseñados a partir de ARNm fueron más informativos en cuanto a que se logró amplificar una región de ADNc para la enzima OMT flanqueada por la combinación de cebadores *DegOMTfor6-DegOMTrev6*. Con esta pareja de cebadores se obtuvo una banda bien definida de una longitud aproximada de 490pb, que es el tamaño estimado del fragmento de ARNm calculado para la combinación de estos cebadores. Al comparar la degeneración de estos cebadores con los obtenidos a partir de secuencias de proteínas, se destaca que el número de degeneraciones es significativamente menor (entre 3 y 5 bases degeneradas), lo que conllevó a reducir el número de secuencias de nucleótidos posibles para cada cebador y por lo tanto se convirtió en un factor que hizo posible la amplificación.

La reducción de la degeneración se debe a que las secuencias de ARNm de las especies obtenidas en la base de datos del NCBI con las cuales se hizo el alineamiento, son secuencias de nucleótidos definidas, es decir que dentro de cada una de estas secuencias no se presentan degeneraciones. De esta manera la degeneración sólo aparece cuando se construye el alineamiento y se identifican las regiones más conservadas entre las secuencias, regiones donde puede presentarse más de una base para una misma posición en la secuencia elegida para el cebador. Caso contrario es lo que se presenta con las secuencias de aminoácidos, ya que para la mayoría de los aminoácidos pueden haber varios codones posibles lo que conlleva a que se aumente el número de las secuencias de nucleótidos para cada cebador (Linhart, C. and Shamir, R., 2005). La degeneración en estos casos, además de incluir la correspondiente al aminoácido, también incluye la degeneración correspondiente a la variación de aminoácidos para una misma posición dentro de la secuencia elegida para el cebador (Pevsner, J. 2009).

Otro factor importante en la evaluación de las diferentes parejas de cebadores era la correcta selección de la *Ta* a la cual los cebadores se hibridan al ADN molde. Esta etapa de hibridación es crítica dentro del perfil de amplificación por PCR debido a que la *Ta* determina la especificidad de la amplificación de los fragmentos esperados y es a partir de la cual se logran reacciones exitosas si se escoge la temperatura adecuada. Este es el caso de la pareja de cebadores que amplificó el fragmento para OMT, *DegOMTfor6-DegOMTrev6* para la cual se encontró que la *Ta* específica para esta región fue de 51,1°C.

Al analizar las bandas en el gel de agarosa de los productos de PCR de este fragmento de OMT en los individuos evaluados (Ver Figura 7, en resultados), se observa que hay una diferencia evidente en la intensidad entre las bandas para las diferentes muestras. Las bandas para los individuos IA-023, IA-100, IA-100iv y el IA-045 son menos intensas que las observadas para los individuos IA-036, IA-021iv, IA-025iv. Este resultado puede estar relacionado con un nivel diferencial de la expresión de la enzima, mayor en los tres individuos con bandas de mayor intensidad. Lo anterior teniendo en cuenta que las moléculas de ARNm indican el nivel de expresión de las proteínas, ya que contienen la secuencia de codones molde que en el proceso de traducción se decodifica a aminoácidos en la síntesis de las cadenas polipeptídicas. Sin embargo, las condiciones de PCR con 35 ciclos de amplificación sobrepasan la fase exponencial de aumento de productos, con lo que no es posible tener un dato acertado de estos niveles de expresión.

Adicionalmente, se esperaba que las muestras de ARN total obtenidas de los individuos obtenidos a partir de cultivo *In vitro* presentaran bandas de mayor intensidad, ya que eran plantas crecidas bajo condiciones controladas mucho más jóvenes que las plantas en maceta, sin embargo no se observó un patrón que permitiera concluir lo anterior. Con esto se podría suponer a modo muy general que la producción de alcaloides en estas plantas, y por tanto la expresión de las

enzimas biosintéticas puede estar relacionada con una función complementaria al metabolismo primario independientemente si la planta es joven o madura, además de la función en el sistema natural de defensa que se ha reportado en la literatura (Bagal et al., 2012; Kutchan, 1995; Yoon et al., 2013).

Con los productos de PCR provenientes del fragmento para la enzima OMT, los cuales se evidenciaron mediante electroforesis, se hizo clonación molecular y transformación bacteriana en células competentes de *E. coli* con el objetivo de poder analizar secuencias únicas por colonia transformante aislada. Del análisis de las secuencias obtenidas a partir de los insertos en el plásmido pTZ57R/T, se determinó una secuencia consenso de ADNc para la enzima OMT en los individuos evaluados de *Z. carinata* (ver figura 15) a partir de secuencias polimórficas. La secuencia de ADNc comprende una longitud de 474pb la cual es alineada con secuencias en las bases de datos del NCBI mediante BLAST e identificada dentro de la superfamilia de las metiltransferasas 2 dependientes de SAM.

A pesar de que se llegó a una secuencia consenso mediante el análisis bioinformático, es importante mencionar que las diferencias en las secuencias de los insertos de los clones dentro de un mismo individuo puede hacer referencia a que muy posiblemente existan varios genes relacionados para la enzima OMT, o que a través del proceso de *splicing alternativo* en la formación del ARNm maduro, se generen varias secuencias a partir del mismo gen, situación que puede ser ocasionada por polimorfismos tipo SNP (<http://ghr.nlm.nih.gov/>).

En la figura 7, se observa que en la amplificación del fragmento para la enzima OMT hay un patrón de bandas con longitudes de aproximadamente 490pb y 500pb. Este resultado permite plantear que la diferencia en las longitudes del fragmento puede estar relacionada con los diversos orígenes de las plantas a partir de las cuales se obtuvieron las muestras de ARN total. La influencia del ambiente sobre los diferentes individuos puede generar polimorfismos y consecuentemente diferencias en la secuencia del gen dentro de la misma especie. Sin embargo, es necesario destacar que al analizar las secuencias de ADNc obtenidas a partir de los insertos, no se obtuvieron secuencias de 500pb (longitud no esperada para el fragmento), pero es posible que estas secuencias representadas por las bandas amplificadas con esta longitud no hayan sido insertadas en los plásmidos y por tanto no se hayan secuenciado. Lo anterior teniendo en cuenta que por banda amplificada pueden haber fragmentos de diferentes longitudes dentro de un rango estrecho.

Además de los factores presentados anteriormente, no se pueden descartar los errores que se hayan introducido por la enzima *Taq* ADN polimerasa en la reacción de amplificación del ADNc y también representarían una posibilidad para explicar los polimorfismos observados al interior de la secuencia.

Por otro lado, es necesario destacar que por medio del análisis mediante electroforesis de las bandas amplificadas se esperaba un fragmento con una longitud aproximada de 491pb. Al contrastar con la longitud real amplificada de 474pb se concluye que la especificidad de los cebadores degenerados diseñados *DegOMTfor6-DegOMTrev6* fue alta, de tal manera que fue posible alcanzar el objetivo terminal de esta investigación.

Con respecto al proceso de traducción de las secuencias de ADNc teniendo en cuenta el código genético estándar, se identificaron 7 secuencias de aminoácidos diferentes (Figura 33 y 34). En esta etapa, se esperaba que el polimorfismo tipo SNP observado al interior de las secuencias de ADNc introdujeran combinaciones de codones que tradujeran aminoácidos de parada, con lo cual se generaran marcos de lectura incompletos. Con la aparición de los codones de parada se esperaba identificar los nucleótidos que generaban el polimorfismo entre las secuencias y de esta manera ir reduciendo el número de secuencias de aminoácidos correspondientes para la región de la enzima OMT. Sin embargo, se encontró que todas las secuencias de ADNc tienen combinaciones de codones con un marco de lectura completo, resultado que le dio peso a la premisa de que no deberían traducirse aminoácidos de parada, ya que se trata de una secuencia ubicada en la región central de la enzima teniendo en cuenta la ubicación de los cebadores diseñados.

Adicionalmente la estrategia del diseño de los cebadores degenerados partiendo de alineamientos con secuencias de ARNm fue exitosa. Y se puede concluir que para problemáticas de investigación donde no se tiene conocimiento de la secuencia de una enzima biosintética y tampoco se cuenta con mucha información de estudios previos, esta estrategia presenta ventaja sobre el diseño de cebadores a partir de alineamientos con secuencias de proteínas, a pesar que en la literatura se reporta que un alineamiento de proteínas es más informativo que un alineamiento de nucleótidos (Pevsner, J. 2009). Una de las razones que se justifica es que hay muchos cambios en una secuencia de nucleótidos (particularmente en la posición 3 de un codón) que no producen cambios en los aminoácidos de una secuencia (Pevsner, J. 2009). Por tal razón, la secuencia de proteínas muestra una información más concisa y se aplica muy bien cuando se está investigando una proteína específica conocida. Sin embargo en el desarrollo de este trabajo se evidenció lo contrario con resultados significativos, siendo el primer reporte de secuencias de ADNc de un fragmento de esta enzima OMT en la especie *Z. carinata* en Colombia.

2.7. CONCLUSIONES

- 2.7.1. Se diseñaron cebadores degenerados a partir de alineamientos de secuencias de proteínas y de alineamientos de secuencias de ARNm, de los cuales la pareja de cebadores *forward* y *reverse*, *DegOMTfor6-DegOMTrev6*, amplificó una región de ADNc para la enzima OMT en individuos de *Z. carinata*.
- 2.7.2. Se evidenció que la estrategia para el diseño de cebadores degenerados a partir de alineamientos de secuencias de ARNm condujo a la obtención de información más precisa, por medio de la cual se logró amplificar la región de ARNm para la enzima OMT.
- 2.7.3. Se identificaron 10 secuencias de ADNc polimórficas para una región de la enzima OMT involucrada en la síntesis de los alcaloides de Amaryllidaceae. Estas secuencias representan los primeros reportes para la especie *Z. carinata* en la región.
- 2.7.4. Se identificaron 7 secuencias de aminoácidos que incluyen 152 aa correspondientes a la región central de la enzima OMT en la especie *Z. carinata*.
- 2.7.5. Se determinó en la especie *Z. carinata*, una secuencia consenso de ADNc para la enzima biosintética OMT. Esta fue obtenida considerando las 10 secuencias de ADNc a partir de 4 individuos distintos de la misma especie.

2.8. RECOMENDACIONES

- 2.8.1. Con la intención de generar mayor conocimiento sobre la enzima biosintética OMT en la ruta de biosíntesis de los alcaloides de Amaryllidaceae, se recomienda diseñar nuevos cebadores específicos para lograr amplificar las regiones adyacentes a la secuencia de ADNc identificada para la enzima OMT en individuos de *Z. carinata*.
- 2.8.2. En este trabajo de investigación se diseñaron cebadores degenerados para las enzimas PAL y TYDC, enzimas igualmente importantes que OMT, por lo que se sugiere seguir evaluando las combinaciones de cebadores correspondientes con los ajustes necesarios en la *Ta* y otras condiciones de amplificación con el objetivo de descartar completamente las posibilidades de amplificación para estos cebadores.
- 2.8.3. Se amplificó, aunque con baja intensidad, un fragmento en *Z. rosea*, por lo que sería un gran aporte continuar explorando este individuo con los cebadores diseñados en futuros estudios.
- 2.8.4. Se encontró una secuencia de ADNc de OMT de 1174pb correspondiente al inserto de la colonia 9 para el individuo IA-021iv, secuencia con una longitud no esperada, por lo que se recomienda que se haga una resecuenciación del inserto para descartar la posibilidad de que haya una inserción en la secuencia del fragmento para esta enzima.
- 2.8.5. Con el objetivo de descartar la posibilidad de errores introducidos por la *Taq* ADN polimerasa en la reacción de PCR, se recomienda utilizar una enzima ADN polimerasa de alta fidelidad para disminuir la tasa de error en la síntesis de la nueva hebra complementaria.
- 2.8.6. Se recomienda usar como control positivo una muestra de ARN total obtenida a partir de la especie *Lycoris radiata* y/o *Narcissus tazetta*, ambas especies pertenecientes a la familia Amaryllidaceae y que se encuentran dentro de los alineamientos para las enzimas OMT y PAL. Con la evaluación de los cebadores en estas especies se podría contrastar con los resultados obtenidos para *Z. carinata* y con ello afirmar con mayor certeza la identidad de la secuencia dentro de Amaryllidaceae.

3. REFERENCIAS

- Bagal, U. R., Leebens-Mack, J. H., Lorenz, W. W., & Dean, J. F. (2012). The phenylalanine ammonia lyase (PAL) gene family shows a gymnosperm-specific lineage. *BMC genomics*, 13(Suppl 3), S1.
- Bastida Armengol, J., Berkov, S., Torras Clavería, L., Pigni, N. B., Andradre, J. P. d., Martínez, V., . . . Viladomat Meya, F. (2011). Chemical and biological aspects of Amaryllidaceae alkaloids. *Recent Advances in Pharmaceutical Sciences, 2011, Chapter 3*, p. 65-100. Editor: Diego Muñoz-Torrero.
- Berkov, S., Georgieva, L., Kondakova, V., Atanassov, A., Viladomat, F., Bastida, J., & Codina, C. (2009). PLANT SOURCES OF GALANTHAMINE: PHYTOCHEMICAL AND BIOTECHNOLOGICAL ASPECTS. *Biotechnology & Biotechnological Equipment*, 23(2), 1170-1176.
- Bird, R. C., Smith, B., & Jiang, W. (2002). Cloning PCR Products *Genetic Library Construction and Screening* (pp. 21-32): Springer Berlin Heidelberg.
- Cahlikova, L., Valterova, I., Macakova, K., & Opletal, L. (2011). Analysis of Amaryllidaceae alkaloids from Zephyranthes grandiflora by GC/MS and their cholinesterase activity. *Revista Brasileira De Farmacognosia-Brazilian Journal of Pharmacognosy*, 21(4), 575-580. doi: 10.1590/s0102-695x2011005000089
- De la Cruz, I., González, A. R., & Riley, C. (2012). Biosíntesis de alcaloides bencilisoquinolínicos (pp. 189-202). Universitas Scientiarum.
- Eichhorn, J., Takada, T., Kita, Y., & Zenk, M. H. (1998). Biosynthesis of the amaryllidaceae alkaloid Galanthamine. *Phytochemistry*, 49(4), 1037-1047. doi: [http://dx.doi.org/10.1016/S0031-9422\(97\)01024-8](http://dx.doi.org/10.1016/S0031-9422(97)01024-8)
- Facchini, P. J. (2001). Alkaloid biosynthesis in plants: biochemistry, cell biology, molecular regulation, and metabolic engineering applications. *Annual review of plant biology*, 52(1), 29-66.
- Fernández Alonso, J. L., & Groenendijk, J. P. (2004). A new specie of Zephyranthes Herb. s.l. (Amaryllidaceae, Hippeastraeae) with notes on the genus in Colombia.
- Gadberry, M. D., Malcomber, S. T., Doust, A. N., & Kellogg, E. A. (2005). Primaclade—a flexible tool to find conserved PCR primers across multiple species. *Bioinformatics*, 21(7), 1263-1264. doi: 10.1093/bioinformatics/bti134

- Goossens, A., & Rischer, H. (2007). Implementation of functional genomics for gene discovery in alkaloid producing plants. *Phytochemistry Reviews*, 6(1), 35-49. doi: 10.1007/s11101-006-9018-0
- Herke, K., Hazai, L., Hudak, M. S., Abraham, J., Santa, Z., Hada, V., & Szantay, C. (2009). Synthesis of the tetracyclic skeleton of the galanthamine-type Amaryllidaceae alkaloids. *Arkivoc*, 235-246.
- Ibrahim, R. K., Bruneau, A., & Bantignies, B. (1998). Plant O-methyltransferases: molecular analysis, common signature and classification. *Plant molecular biology*, 36(1), 1-10.
- Innis, M., Gelfand, D., Sninsky, J., White, T. (1990). PCR Protocols: A Guide to Methods and Applications. (Ed): Academic Press. California.
- Kumar, A., & Ellis, B. E. (2001). The phenylalanine ammonia-lyase gene family in raspberry. Structure, expression, and evolution. *Plant physiology*, 127(1), 230-239.
- Kutchan, T. M. (1995). Alkaloid Biosynthesis [mdash] The Basis for Metabolic Engineering of Medicinal Plants. *The Plant Cell*, 7(7), 1059.
- Lamoral-Theys, D., Andolfi, A., Van Goietsenoven, G., Cimmino, A., Le Calve, B., Wauthoz, N., . . . Evidente, A. (2009). Lycorine, the main phenanthridine Amaryllidaceae alkaloid, exhibits significant antitumor activity in cancer cells that display resistance to proapoptotic stimuli: an investigation of structure-activity relationship and mechanistic insight. *J Med Chem*, 52(20), 6244-6256. doi: 10.1021/jm901031h
- Lamoral-Theys, D., Decaestecker, C., Mathieu, V., Dubois, J., Kornienko, A., Kiss, R., . . . Pottier, L. (2010). Lycorine and its derivatives for anticancer drug design. *Mini Rev Med Chem*, 10(1), 41-50.
- Lefranc, F., Sauvage, S., Van Goietsenoven, G., Mégalizzi, V., Lamoral-Theys, D., Debeir, O., . . . Kiss, R. (2009). Narciclasine, a plant growth modulator, activates Rho and stress fibers in glioblastoma cells. *Molecular Cancer Therapeutics*, 8(7), 1739-1750. doi: 10.1158/1535-7163.MCT-08-0932
- Linhart, C. and Shamir, R. (2005). The Degenerate Primer Design Problem: Theory and ApplicationsJournal of Computational Biology. 12(4): 431-456. doi:10.1089/cmb.2005.12.431.
Disponible en <http://www.ncbi.nlm.nih.gov/pubmed/15882141>
Página visitada el 10 de junio de 2014

Osorio Durango, E. J. (2008). Búsqueda de sustancias bioactivas a partir de dos especies de la flora colombiana: alcaloides de "Phaedranassa dubia"(Amaryllidaceae) y biflavonoides de "Garcinia madruno"(Clusiaceae).

Pevsner, J. (2009). Bioinformatics and Functional Genomics. Segunda edición. (Ed): Wiley-Blackwell. New Jersey.

Ramawat, K. G., Mérillon, J.-M., Jin, Z., & Xu, X.-H. (2013). Amaryllidaceae Alkaloids *Natural Products* (pp. 479-522): Springer Berlin Heidelberg.

Reyes-Chilpa, R., Berkov, S., Hernández-Ortega, S., Jankowski, C. K., Arseneau, S., Clotet-Codina, I., . . . Bastida, J. (2011). Acetylcholinesterase-inhibiting alkaloids from *Zephyranthes concolor*. *Molecules (Basel, Switzerland)*, 16(11), 9520-9533. doi: 10.3390/molecules16119520

Silverstone-Sopkin, P. A. (2011). *Los muertos vivientes: la historia natural de cuatro lirios amazónicos del suroccidente de Colombia (Eucharis y Plagiolirion, Amaryllidaceae)*: Universidad del Valle, Programa Editorial.

Takos, A. M., & Rook, F. (2013). Towards a Molecular Understanding of the Biosynthesis of Amaryllidaceae Alkaloids in Support of Their Expanding Medical Use. *International Journal of Molecular Sciences*, 14(6), 11713-11741. doi: 10.3390/ijms140611713

Viladomat, F., Codina, C., Cabezas, F., Bastida, J., Argoti, J., & Martínez, S. (2007). Alcaloides y actividad biológica en *Eucharis amazonica*, *E. grandiflora*, *Caliphruria subedentata* y *Crinum kunthianum*, especies colombianas de amaryllidaceae. *Scientia Et Technica*, 13(33), 237-241.

Yoon, H., You, Y. H., Kim, Y. E., Kim, Y. J., Kong, W. S., & Kim, J. G. (2013). Cloning and mRNA expression analysis of the gene encoding phenylalanine ammonia-lyase of the ectomycorrhizal fungus *Tricholoma matsutake* *J Microbiol Biotechnol* (Vol. 23, pp. 1055-1059). Korea South.

Zupko, I., Rethy, B., Hohmann, J., Molnar, J., Ocsovszki, I., & Falkay, G. (2009). Antitumor activity of alkaloids derived from Amaryllidaceae species. *In Vivo*, 23(1), 41-48.

Sistema de Información Sobre Biodiversidad de Colombia. (2013). Datos de registros biológicos Colombianos repatriados. En línea: <http://data.sibcolombia.net/inicio.htm>. (Accedido a través del portal de datos del SIB Colombia, [http://data.sibcolombia.net/occurrences/search.htm?c\[0\].s=20&c\[0\].p=0&c\[0\].o=82183](http://data.sibcolombia.net/occurrences/search.htm?c[0].s=20&c[0].p=0&c[0].o=82183), 2013-11-19)

4. ANEXOS

ANEXO 1: ESQUEMAS SOBRE LA RUTA BIOSINTÉTICA DE LOS ALCALOIDES DE LA FAMILIA AMARYLLIDACEAE

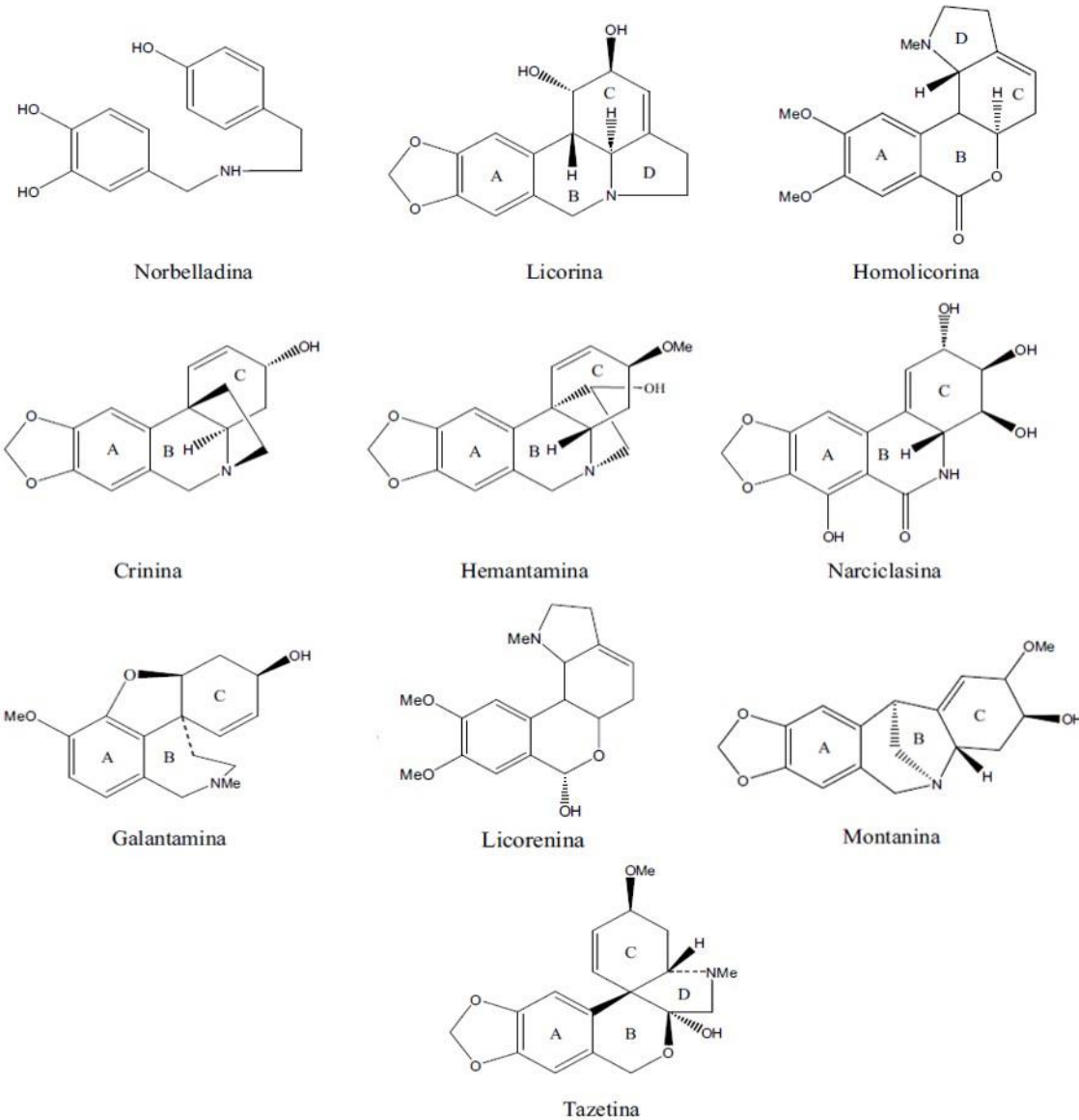


Figura 17. Estructura química de los núcleos básicos de los alcaloides de Amaryllidaceae (Osorio Durango, 2008)

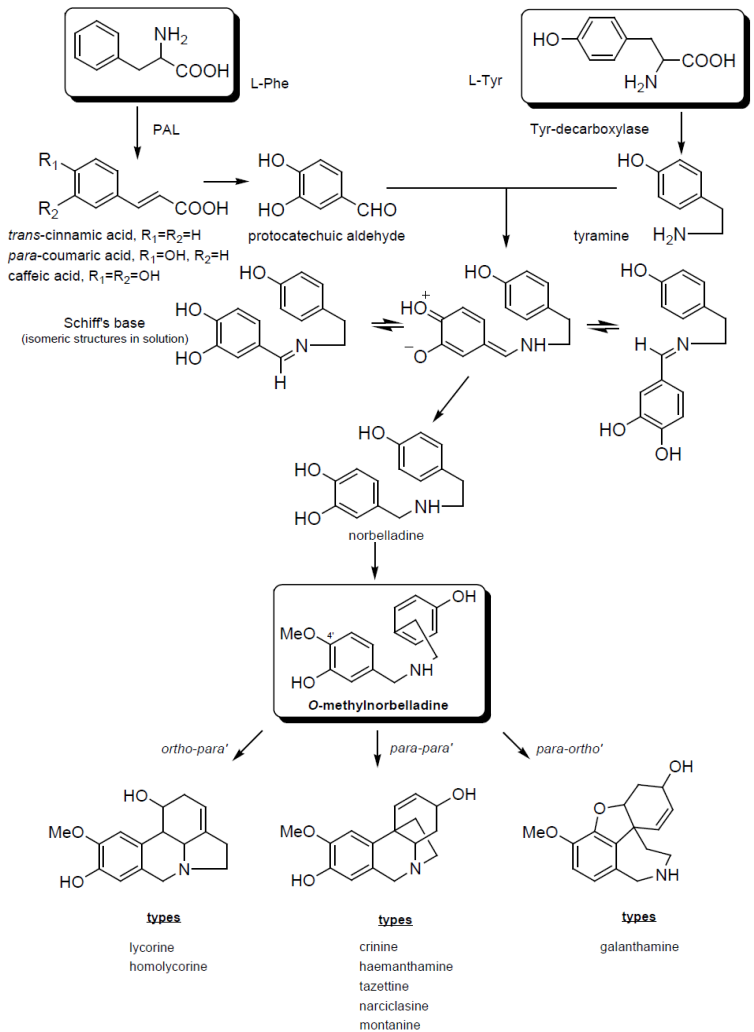


Figura 18. Ruta de biosíntesis de los alcaloides típicos de Amaryllidaceae. Etapa inicial (Berkov et al., 2009)

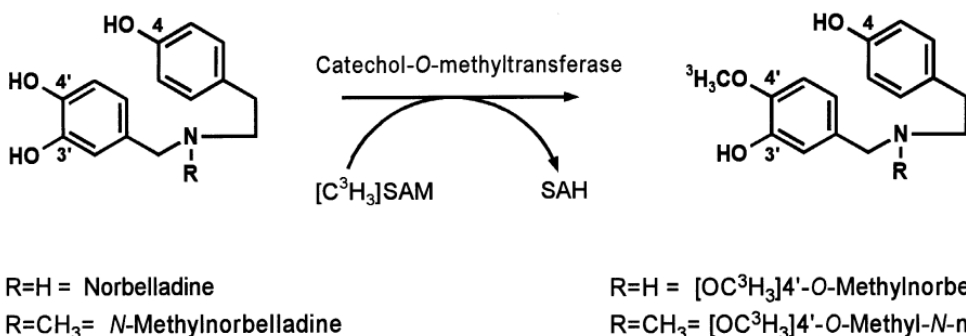


Figura 19. Síntesis del precursor O-metilnorbeladina mediante la acción enzimática de la enzima Catecol-O-metiltransferasa (Eichhorn et al., 1998)

ANEXO 2: PROTOCOLOS DE LABORATORIO – TÉCNICAS DE BIOLOGÍA MOLECULAR

Protocolo No.1. Extracción de ARN a partir de hojas de individuos de *Z. carinata* y *Z. rosea*. Tomado del *TRIzol® Reagent*, Ambion.

1. Limpiar el área de trabajo con una solución de SDS 0,5% y enjuagar con agua con DEPC. Estar pendiente de cambiar los guantes constantemente.
2. Guardar las hojas del material vegetal en papel aluminio durante el periodo de transporte en un recipiente con Nitrógeno líquido para evitar la degradación del ARN total.
3. Macerar el tejido vegetal vigorosamente.
4. Adicionar 1mL del reactivo TRIzol® Reagent por cada 50-100mg de tejido y homogenizar las muestras.
5. Incubar la muestra homogenizada durante 5 minutos a temperatura ambiente.
6. Adicionar 0,2mL de cloroformo por cada 1mL de reactivo TRIzol y tapar el tubo.
7. Agitar el tubo vigorosamente de forma manual por 15 segundos.
8. Incubar de 2-3 minutos a temperatura ambiente.
9. Centrifugar a 12,000 x g durante 15 minutos a 4°C. (enfriar previamente la centrifuga). Se separan dos fases, una fase inferior roja (fenol-cloroformo) y una fase translúcida superior (acuosa) en la cual está solubilizado el ARN.
10. Remover la fase acuosa inclinando el tubo y pipeteando la fase. Evitar llevarse volumen de la interfase o de la fase orgánica.
11. Transferir fase acuosa a un nuevo tubo.
12. Adicionar 0,5mL de isopropanol 100% a la fase acuosa por cada 1mL de TRIzol.
13. Incubar la muestra a temperatura ambiente por 10 minutos.
14. Centrifugar a 12,000 x g durante 10 minutos a 4°C. se forma un *pellet* en pegajoso en el fondo del tubo.
15. Remover el sobrenadante dejando sólo el *pellet* y lavar con 1mL de etanol 75% por cada 1mL de TRIzol utilizado.
16. Agitar en vórtex y luego centrifugar a 7500 x g por 5 minutos a 4°C.
17. Secar al aire el tubo que contiene el ARN forma invertida sobre una toalla de papel por 5-10 minutos.
18. Resuspender el *pellet* en 25μL de agua con DEPC (libre de ARNasas) pipeteando varias veces.
19. Incubar los tubos en baño maría a 55-60°C por 10-15 minutos.
20. Almacenar a -80°C

Protocolo No.2. Síntesis de ADNc por RT-PCR a partir de muestras de ARN total.
Tomado de *SuperScript® III First-Strand Synthesis System for RT-PCR*, Invitrogen.

1. Diseñado para convertir 1pg-5μg de ARN total en la primera hebra de ADNc.
2. Agitar cada componente antes de usar.
3. Combinar en un tubo de 0,2-0,5mL los siguientes componentes en el orden mencionado:

Componente	Volumen por 1Rxn	Control RT(+) y RT(-)	
ARN total	$n \mu\text{L}^*$	ARN total HeLa (100pg/μL)	1 μL
Cebador Oligo(dT) ₂₀ (50μL)	1 μL		1 μL
Mezcla de dNTP (10mM)	1 μL		1 μL
Aqua con DEPC	Completar a 10 μL		7 μL

* Depende de la concentración de ARN de cada muestra

4. Incubar el tubo a 65°C por 5 minutos y luego poner en hielo por al menos 1 minuto.
5. Preparar en otro tubo la mezcla de síntesis de ADNc en el siguiente orden:

Componente	Volumen por 1 Rxn	Control RT(+)	Control RT(-)
RT buffer (10X)	2 μL	2 μL	2 μL
MgCl ₂ (25mM)	4 μL	4 μL	4 μL
DTT (0,1M)	2 μL	2 μL	2 μL
RNaseOUT (10 U/μL)	1 μL	1 μL	1 μL
SuperScript® III RT (200U/μL)	1 μL	1 μL	-
Aqua DEPC	-	-	1 μL

6. Adicionar 10 μL de la mezcla de síntesis a cada tubo que contiene el ARN y el cebador. Mezclar suavemente e incubar a 50°C por 50 minutos.
7. Terminar las reacciones a 85°C por 5 minutos y luego enfriar en hielo.
8. Adicionar 1 μL de RNase H a cada uno de los tubos e incubar a 37°C por 20 minutos
9. Las reacciones de síntesis de ADNc se almacenan a -20°C

Protocolo No.3. Condiciones estándar de PCR usando la enzima *GoTaq® Flexi DNA Polymerase*, Promega.

1. En un tubo estéril mezclar en hielo los siguientes componentes:

Componente	[Inicial]	[Final]
Colorless GoTaq® Flexi Buffer	5X	1X
Solución de MgCl ₂	25mM	1,0-4,0mM
Mezcla de dNTPs	10mM c/u	0,2mM c/u
Upstream primer	XµM	0,1-1,0µM
Downstream primer	YµM	0,1-1,0µM
GoTaq® Flexi DNA Polymerase	5U/µL	1,25U
ADN molde	-	<0,5µg/50µL
Agua estéril	-	-

Protocolo No.4. Ligación de productos de PCR en plásmido. Tomado de InsTAClone PCR Cloning Kit, Thermo Scientific.

1. En tubos de 0,2mL mezclar los siguientes componentes para la reacción de ligación:

Componente	Volumen por reacción
Vector pTZ57R/T	1µL
Buffer de ligación 5X	2µL
Producto de PCR	2,5µL
T4 ADN Ligasa	0,34µL
Agua estéril	4,16µL
TOTAL	10µL

2. Mezclar suavemente e incubar la ligación toda la noche a 4°C para obtener un número significativo de transformantes.

Protocolo No.5. Transformación bacteriana.

1. Tomar 5 μ L de la reacción de ligación previamente limpia o purificada.
2. Mezclar con pipeta suavemente en tubo eppendorf de 1.5ml con 40 μ L de células competentes.
3. Poner la mezcla en las celdas de electroporación, llevar al electroporador y utilizar la función P2.
4. Tomar la muestra electroporada y llevarla a un tubo de crecimiento contenido 1mL de medio LB sin antibióticos.
5. Mezclar suavemente con pipeta e incubar a 37°C por 1 hora.
6. Después de la hora, centrifugar los tubos a 2500rpm por 5 minutos.
7. Descartar el sobrenadante pero dejar en el tubo aproximadamente 100 μ L del mismo.
8. Resuspender pipeteando el *pellet* en este volumen.
9. Tomar los 100 μ L del cultivo anterior y sembrarlos en una caja Petri contenido LB sólido, con IPTG, X-Gal y ampicilina.
10. Incubar a 37 °C por toda la noche.
11. Al día siguiente revisar las cajas y guardar las positivas a 4 °C.

Protocolo No.6. Digestión de los plásmidos mediante análisis de restricción con las enzimas de restricción EcoRI y BamHI. Tomado de *Assembly of Restriction Enzyme Digestions*, Promega.

1. En un tubo estéril mezclar los siguientes componentes en el siguiente orden:

Componente	Volumen por reacción
Agua estéril	10,8 μ L
MULTI-CORE™ Buffer 10X	2 μ L
BSA acetilado, 10 μ g/ μ L	0,2 μ L
ADN plasmídico	5 μ L
Mezclar pipeteando suavemente	
Enzima de restricción EcoRI	1 μ L
Enzima de restricción BamHI	1 μ L
TOTAL	20 μ L

2. Mezclar suavemente pipeteando, cerrar el tubo y centrifugar por unos pocos segundos en una microcentrifuga.
3. Incubar la reacción de digestión a 37°C por 1-4 horas.
4. Analizar mediante electroforesis en gel de agarosa.

Protocolo No.7. Extracción del plásmido a partir de colonias blancas propagadas en medio LB líquido con antibiótico. Tomado de *Minipreps usando lisis por calentamiento*, LBM, Icesi.

1. En cabina de bioseguridad transferir 1,5mL del cultivo en el medio líquido LB con ampicilina a un tubo eppendorf.
2. Centrifugar a 12000rpm durante 2 minutos.
3. Descartar el sobrenadante y dejar secar el tubo invertido sobre una toalla de papel.
4. Resuspender el *pellet* en 520µL de STET* y adicionar 33µL de una solución fresca de Lisozima (10mg/mL en 10mM Tris-HCl pH 8,0).
5. Mezclar en vórtex suave hasta que se disuelva el *pellet*.
6. Colocar los tubos en un baño hirviendo (100°C) durante 60 segundos exactamente.
7. Centrifugar a 12000rpm durante 10 minutos a temperatura ambiente.
8. Remover el *pellet* con una punta estéril o transferir el sobrenadante a otro tubo (se conserva el sobrenadante).
9. Adicionar al sobrenadante 52µL de acetato de sodio 3M pH 5,2 y 600µL de isopropanol frío.
10. Mezclar en vórtex muy suave por 3 segundos.
11. Incubar por 5 minutos a temperatura ambiente.
12. Centrifugar a 12000rpm durante 5 minutos a 4°C.
13. Descartar el sobrenadante y dejar secar completamente el tubo invertido sobre una toalla de papel.
14. Añadir 1mL de etanol 70% y centrifugar a 12000rpm por 2 minutos a 4°C.
15. Descartar el etanol y dejar secar completamente a temperatura ambiente por 5 minutos.
16. Resuspender el *pellet* en 50µL de TE pH 8 y almacenar a -20°C.
17. Analizar los plásmidos mediante electroforesis en gel de agarosa 1%.
18. Preparación de la solución STET* (15mL):

Componente	[Final]	Volumen
NaCl 5M	0,1M	300µL
Tris-HCl (pH 8) 1M	10mM	150µL
EDTA (pH 8) 0,5M	1mM	30µL
Tritón X-100	5%	750µL
Agua tipo 1	-	Para 15mL

ANEXO 3: BIOINFORMÁTICA PARA DISEÑO DE CEBADORES – ALINEAMIENTOS DE SECUENCIAS

Figura 20. Alineamiento múltiple de secuencias de aminoácidos de especies reportadas en la base de datos del NCBI. Las secuencias corresponden a la enzima OMT. Las regiones resaltadas corresponden a las regiones de referencia para el diseño de cebadores.

Figura 21. Alineamiento múltiple de secuencias de aminoácidos de especies reportadas en la base de datos del NCBI. Las secuencias corresponden a la enzima PAL. Las regiones resaltadas corresponden a las regiones de referencia para el diseño de cebadores

PAL_Zea2	-----MECENGRGVAATNSDSL 17
PAL_Brachiaria	
PAL_Saccharum1	AVRCRYXSGXPXXDHASARRARQLLRLFSSSSPPAAPPSSPPATARPQPQHSIMAG 60
PAL_Zeal	-----HASAPTPALLHRRQSTSHLLPRGPNPFRSAAMAG 39
PAL_Oryza3	-----MAG 3
PAL_Solanum2	
PAL_Lithospermum	TMEFCMKDPLNWEMASESMKGSHLDEVKNMVAEFRKPVVLQAGKTLTIGQVAIAARDG 71
PAL_Lycoris	ANGFCILDPLNWGAEEALTGSHLDEVKRMVKDYREAYVKLEGATLKVAQTAAVANDSA 69
PAL_Narcissus	-----
PAL_Allium_sativum	DEIIIRIQRDPNWGAAAEEAMSGSHLDEVKRMVKEYRGKSVKLEGATLKVGQVAAVAAG-EI 70
PAL_Allium_cepa2	NEIIRIEDPLNWGAAKAMSGSHLEEVKRMVNEYREKSVKLEGATLKVAQVAAVAAG-EI 70
PAL_Allium_cetal	SALCMRSDPLNWGKAAEALSGSHLEEVKRMVDDFRNPVVKLEGEDLKISQVAAVAAMGGK 65
PAL_Coffea	-----
PAL_Solanuml	NMVINAEDPLNWGAEEAQMKGSGLDEVKRMVAEFRKPVVLQAGKTLTIGQVAIAISTIGN- 85
PAL1_Arabidopsis	TAAKAGSDPLSWGVAAESDMKGSHLDEVKRMVAEYRKPVVLQAGKTLTIAQVAIAANDQ- 77
PAL1_Lotus2	NGTATATDPLSWGVAAESMKGSGLDEVKRMVAEYRKPVVLQAGKTLTIAQVAIAANEQ- 64
PAL4_Lotus3	-TAKGSDPLNWGMAAEESMKGSGLDEVKRMVAEYRKPVVLQAGKTLTIAQVAAVAHDQH 59
PAL6_Lotus5	CVAAPRADPLNWGKATEEMTGSGLDEVKRMVAEYRQPLVVKIEGASLRIAQVAAVAAGE 75
PAL_oryza2	CMATPRADPLNWGKAAEELMGSHLDEVKRMVAEYRQPLVVKIEGASLSIAQVAAVATGAGE 77
PAL_Zea2	-----
PAL_Brachiaria	NGAIVESDPLNWGAAAELAGSHLDEVKRMVAQARQPVVKIEGSTLRLVGQVAAVAAKDA 120
PAL_Saccharum1	NGAIVESDPLNWGAAAELAGSHLDEVKRMVAQARQPVVKIEGSTLRLVGQVAAVASAKDA 99
PAL_Zeal	NGPINKEDPLNWGAAAEMGSHLDEVKRMVAQFREPLVKIQGATLRLVGQVAAVAQAKDA 63
PAL_Oryza3	-----
PAL_Solanum2	-----GGALQKELIR- 10
PAL_Lithospermum	VTVELA--EAAREGVVKASSDWVMDMSMNKGTDSYGVTTGFGATSHRTKQGGALQKELIR- 128
PAL_Lycoris	VKVELD--ESARARVKASSDWVMDMSNKGTDSYGVTTGFGATSHRTKQGGALQKELIR- 126
PAL_Narcissus	-----ELIR- 4
PAL_Allium_sativum	KEVVL--EGAREGVVKASSDWVMDMSMCKGTDSYGVTTGFGATSHRTKNGAALQNELIR- 127
PAL_Allium_cepa2	KEVVL--EGAREGVVKASSDWVMDMSMCKGTDSYGVTTGFGATSHRTKNGVALQNELIR- 127
PAL_Allium_cetal	VSVKLA--ETARGRVKASSDWVVKSLLEDGTDSYGVTTGFGATSHRTKNAEALQTELIR- 122
PAL_Coffea	-----
PAL_Solanuml	-SVKVELSETARAGVNASSDWVMSMKNKGTDSYGVTTGFGATSHRTKNGVALQKELIR- 143
PAL1_Arabidopsis	-GVSVELCESARAGVKASSDWVMNSMNNGTDSYGVTTGFGATSHRTKNGNALQLELIRI 136
PAL1_Lotus2	-GVSVELCESARAGVKASSDWVMNSMNNGTDSYGVTTGFGATSHRTKNGNALQLELIR- 122
PAL4_Lotus3	HGVSVELCESARAGVKASSDWVMNSMNNGTDSYGVTTGFGATSHRTNQGNALQLELIR- 118
PAL6_Lotus5	ARVELD--ESARERVKASSDWVMNSMNNGTDSYGVTTGFGATSHRTKEGGALQRELIR- 132
PAL_oryza2	ARVELD--ESARSRVKASSDWVMTSMNNGTDSYGVTTGFGATSHRTKEGGALQRELIR- 134
PAL_Zea2	-----
PAL_Brachiaria	SGVAVELDEEARPRVKASSEWILDCIAHGGDIYGVTTGFGGTSHRTKDGPALQVELLR- 179
PAL_Saccharum1	SGVAVELDEEARPRVKASSEWILDCIAHGGDIYGVTTGFGGTSHRTKDGPALQVELLR- 158
PAL_Zeal	ARVAVELDEEARPRVKASSEWILTCIAHGGDIYGVTTGFGGTSHRTKDGPALQVELLR- 122
PAL_Oryza3	-----
PAL_Solanum2	-----FLNAGVFGNGTSESSHTLPHSATRAAMLVRINTLLQGYSGIRFEILEAI 58
PAL_Lithospermum	-----FLNAGIFGNGTETSHTLPHSATRAAMLVRINTLLQGYSGIRFEILEAI 176
PAL_Lycoris	-----FLNAGIFGHNNSNTLPASTTRAAMLVRINTLLQGYSGIRFEILEVI 174
PAL_Narcissus	-----FLNAGIFGAGRDSCNTLPASTTRAAMLVRINTLLQGYSGIRFEILEAI 52
PAL_Allium_sativum	-----FLNAGIFGFS-PNSGNSLPSTTSRAAMLVRVNTLLQGYSGIRFEILESI 174
PAL_Allium_cepa2	-----FLNAGIFGFS-PNSGNSLPSTTRAAMLVRVNTLLQGYSGIRFEILESI 174
PAL_Allium_cetal	-----FLNAGIFGFSGKNSGNTLPNTTRAAMLVRINTLLQGYSGIHFIELEAI 170
PAL_Coffea	-----
PAL_Solanuml	-----FLNAGIFGSTKETSHTLPHSATRAAMLVRINTLLQGYSGIRFEILEAI 191
PAL1_Arabidopsis	KVVDVNMFLLFFRFLNAGIFGNGTETSHTLQPATRAAMLVRINTLLQGYSGIRFEILEAI 196
PAL1_Lotus2	-----FLNAGIFGNGTESTHTLQPATRAAMLVRINTLLQGYSGIRFEILEAI 170
PAL4_Lotus3	-----FLNAGIFGNGTSESSHTLQPATRAAMLVRINTLLQGYSGIRFEILEAI 166
PAL6_Lotus5	-----FLNAGAFGTGTDG-HVLPAAETTRAAMLVRINTLLQGYSGIRFEILEAI 179
PAL_oryza2	-----FLNAGAFGTGADG-HVLPAAETTRAAMLVRINTLLQGYSGIRFEILEAI 181
PAL_Zea2	-----
PAL_Brachiaria	-----HLNAGIFGFTGSDG-HTLPSEVRAAMLVRINTLLQGYSGIRFEILEAI 226
PAL_Saccharum1	-----HLNAGIFGFTGSDG-HTLPSEVTRAAMLVRINTLLQGYSGIRFEILEAI 205
PAL_Zeal	-----YLNAQIFGFTGSDG-HTLPSETVRAAMLVRINTLLQGYSGIRFEILEAI 169
PAL_Oryza3	-----
PAL_Solanum2	TKLINSNITPCPLRLGTITASGDLVPLSYIAGLLTGRPNSKAVGPNGEKLNAAEEAFRAG 118
PAL_Lithospermum	TKFLNTNITPCPLRLGTITASGDLVPLSYIAGLLTGRPNSKAVGPTGEKINAAEEAFFLAG 236
PAL_Lycoris	TRLLNNNITPCPLRLGTITASGDLVPLSYIAGILTGRPNSKAITPDGKIDASEAFKLAG 234
PAL_Narcissus	TRLLNNNITPCPLRLGTITASGDLVPLSYIAGILTGRPNSKATAPDGTHIDASEAFFLAG 112
PAL_Allium_sativum	TRLLNANITPCPLRLGTITASGDLVPLSYIAALLTGRPNSKLVTSDNTLLTASEAFQLAG 234
PAL_Allium_cepa2	TRLLNANITPCPLRLGTITASGDLVPLSYIAALLTGRPNSKSVTSDNTLLTPSEAFQLAG 234
PAL_Allium_cetal	AAFLNSDITPCPLRLGTVTASGDLVPLSYIAGILTGRPNSKAITSDGSHIDATEAFKLAN 230
PAL_Coffea	-----
PAL_Solanuml	-----
PAL1_Arabidopsis	TSFLNNNNITPSLPLRGTTITASGDLVPLSYIAGLLTGRPNSKATGPNGEALTAEEAFKLAG 251
PAL1_Lotus2	TKLINNNNITPCPLRLGTVTASGDLVPLSYIAGLLTGRQNSKAVGPSGKVLNAAEAFQSAG 256
PAL4_Lotus3	TKLINNNNITPCPLRLGTVTASGDLVPLSYIAGLLTGRPNSKAVGPSEVLNNAFQFLAG 230

PAL6_Lotus5	TKLLNNISITPCPLRLGTVTASGDLVPLSYIAGLLTGRQNSKAVGPSGEVLNAKEAFQLAS	226
PAL_oryza2	AKLLNANVTCPCLPLRGTTITASGDLVPLSYIAGLVTGRENAVAVAPDGSKVAAEAFKIAG	239
PAL_Zea2	VKLLNANVTCPCLPLRGTVTASGDLVPLSYIAGLVTGRENSVAVAPDGSKVAAEAFKIAG	241
PAL_Brachiaria	-----	
PAL_Saccharum1	TKLLNTGVSPCPLRLGTTITASGDLVPLSYIAGLITGRPNAQATTVDGRKVDAAEAFKIAG	286
PAL_Zeal	TKLLNTGVSPCPLRLGTTITASGDLVPLSYIAGLITGRPNAQAVTVGRKVDAAEAFKIAG	265
PAL_Oryza3	TKLLNTGVTPCPLRLGTTITASGDLVPLSYIAGLITGRPNAQAISPGRKVDAAEAFKLAG	229
 PAL_Solanum2		
PAL_Lithospermum	VTSGFFELQPKEGLALVNGTAVGSGMASMVLFESNILAVMSEVLSAIFAEVNGKPEFTD	178
PAL_Lycoris	ISTGFFELQPKEGLALVNGTAVGSGMASMVLYEANILAVLSEVISAIFAEVNGKPEFTD	296
PAL_Narcissus	ITDFFFQLQPKEGLALVNGTAVGSGLASTVLYDTNILAVLAEVLSAIFCEVMQGKPEFTD	294
PAL_Allium_sativum	ITGGFFQLQPKEGLALVNGTAVGSGLASTVLYDANILAVLAEVSSAIFCEVMQGKPEFTD	172
PAL_Allium_cepa2	ITSGFFRLQPKEGLALVNGTAVGSGLASIVLYETNVLAVLAEVMSALFCEVMQGKPEFTD	294
PAL_Allium_cetal	VTSGFFQLQPKEGLALVNGTAVGSGLASIVLYETNVLAVLAEVMSALFCEVMQGKPEFTD	294
PAL_Coffea	IPSTFFELQPKEGLALVNGTAVGSGLASIVLYFEANILAVLSEIIISAVFCEVMQGKPEFTD	290
PAL_Solanum1	-----	
PAL1_Arabidopsis	ISGGFFDLQPKEGLALVNGTAVGSGMASMVLFETNVLSVLAEIFSAVFAEVMSGKPEFTD	311
PAL1_Lotus2	IDSGFFELQPKEGLALVNGTAVGSGLASIVLF DANILAILSEVLSAIFAEVNGKPEFTD	316
PAL4_Lotus3	IDSGFFELQPKEGLALVNGTAVGSGLASIVLF DANVLAILAEVLSAIFAEVNGKPEFTD	290
PAL6_Lotus5	IDSGFFELQPKEGLALVNGTAVGSGLASIVLF FEANILAILAEVLSAIFAEVNGKPEFTD	286
PAL_oryza2	IQGGFFELQPKEGLAMVNGTAVGSGLASTVLF FEANILAILAEVLSAIFSAVFCHEVMNGKPEYTD	299
PAL_Zea2	IQGGFFELQPKEGLAMVNGTAVGSGLASTVLF FEANILAILAEVLSAIFSAVFCHEVMNGKPEYTD	301
PAL_Brachiaria	-----	
PAL_Saccharum1	IEGGFFKLNPKEGLAIVNGTSVGSALAATVMDANVLTVLSEVLSAIFSAVFCHEVMNGKPEYTD	346
PAL_Zeal	IEGGFFKLNPKEGLAIVNGTSVGSALAATVMDANVLAVLSEVLSAIFSAVFCHEVMNGKPEYTD	325
PAL_Oryza3	IEGGFFTLNPKEGLAIVNGTSVGSALAATVMDANILAVLSEVLSAIFSAVFCHEVMNGKPEYTD	289
 PAL_Solanum2		
PAL_Lithospermum	YXTHKLKHHPGQNEAAIMEHILDGSX-----	205
PAL_Lycoris	HLTHKLKHHPGOIEAAIMEHILDGSGYVKAAQLHEDMDPLQPKQDRYALRTSPQWLGP	356
PAL_Narcissus	HLTHKLKHHPGQIEAAIMEHILEGSSYMKMAKKLHEHDPLQPKQDRYALRTSPQWLGP	354
PAL_Allium_sativum	HLTHKLKHHPGQIEAAIMEHILEGSSYMKMAKKLHELDPLQPKQDRYALRTSPQWLGP	232
PAL_Allium_cepa2	HLTHKLKHHPGQIEAAIMEHILEGSSYMKMAKKLHEDMDPLQPKQDRYALRTSPQWLGP	354
PAL_Allium_cetal	HLTHKLKHHPGQIEAAIMEHILEGSSYMKMAKKLHEDTDPPLQPKQDRYALRTSPQWLGP	354
PAL_Coffea	HLTHKLKHHPGQIEAAIMEHILEGSSYMKMAKEIHELDPLQPKQDRYALRTSPQWLGP	350
PAL_Solanum1	-----LKHKHPGQIEAAIMEHILDGSFVKEQRVHEFDPLQPKQDRYALRTSPQWLGP	55
PAL1_Arabidopsis	HLTHRLKHHPGOIEAAIMEHILDGSYMKLIAQKLHEDMDPLQPKQDRYALRTSPQWLGP	371
PAL1_Lotus2	HLTHKLKHHPGQIEAAIMEHILDGSYMKAAKKLHEVDPLQPKQDRYALRTSPQWLGP	376
PAL4_Lotus3	HLTHKLKHHPGQIEAAIMEHILDGSYMKAAKKLHEVDPLQPKQDRYALRTSPQWLGP	350
PAL6_Lotus5	HLTHKLKHHPGQIEAAIMEHILDGSYMKAAKKLHEVDPLQPKQDRYALRTSPQWLGP	346
PAL_oryza2	HLTHKLKHHPGQIEAAIMEHILEGSSYMKHAKKLGEDPLMPLMKPKQDRYALRTSPQWLGP	359
PAL_Zea2	HLTHKLKHHPGQIEAAIMEHILEGSSYMKHAKKLGEDPLMPLMKPKQDRYALRTSPQWLGP	361
PAL_Brachiaria	-----	
PAL_Saccharum1	HLTHKLKHHPGSIEAAIMEHILDGSAFMKHAKKVNELDPLLKPQDRYALRTSPQWLGP	406
PAL_Zeal	HLTHKLKHHPGSIEAAIMEHILDGSFFMKQAKKLNELDPLLKPQDRYALRTSPQWLGP	385
PAL_Oryza3	HLTHKLKHHPGSIDAAIMEHILAGSSFMSHAKKVNEMDPLLKPQDRYALRTSPQWLGP	349
 PAL_Solanum2		
PAL_Lithospermum	-----	
PAL_Lycoris	QIEVIRSATKMIEREINSVNDNPLIDVSRNKALHGGNFQGTPIGVAMDNTRLAIASIGKL	416
PAL_Narcissus	QIEVIRSATKSIEREISSLVNDNPLIDVSRNKALHGGNFQGTPIGVAMDNTRLAIASIGKL	414
PAL_Allium_sativum	QIEVIRSATKSIEREISSLVNDNPLIDVSRNKALHGGNFQGTPIGVAMDNTRLAIASIGKL	292
PAL_Allium_cepa2	QIEVIRSATKSIEREISSLVNDNPLIDVSRNKALHGGNFQGTPIGVAMDNTRLAIASIGKL	414
PAL_Allium_cetal	QIEVIRASTKSIEREISSLVNDNPLIDVARKKAIHGGNFQGTPIGVAMDNTRLAIASIGKL	410
PAL_Coffea	QIEVIRASTKSIEREISSLVNDNPLIDVSRNKALHGGNFQGTPIGVAMDNTRLAIASIGKL	115
PAL_Solanum1	-----	
PAL1_Arabidopsis	QIEVIRYATKSIEREISSLVNDNPLIDVSRNKAIHGGNFQGTPIGVAMDNTRLAIASIGKL	431
PAL1_Lotus2	LIEVIRFSTKSIEREISSLVNDNPLIDVSRNKALHGGNFQGTPIGVAMDNTRLAIASIGKL	436
PAL4_Lotus3	LIEVIRFSTKSIEREISSLVNDNPLIDVSRNKALHGGNFQGTPIGVAMDNTRLAIASIGKL	410
PAL6_Lotus5	LIEVIRFSTKSIEREISSLVNDNPLIDVSRNKALHGGNFQGTPIGVAMDNTRLAIASIGKL	406
PAL_oryza2	QIEVIRAATKSIEREISSLVNDNPLIDVSRGKALHGGNFQGTPIGVAMDNTRLAIASIGKL	419
PAL_Zea2	QIEVIRAATKSIEREISSLVNDNPLIDVARSKALHGGNFQGTPIGVAMDNTRLAIASIGKL	421
PAL_Brachiaria	-----	
PAL_Saccharum1	QIEVIRAATKSIEREVSNSVNDNPVIDVHRGKALHGGNFQGTPIGVAMDNRALARAIANIGKL	466
PAL_Zeal	QIEVIRAATKSIEREVSNSVNDNPVIDVHRGKALHGGNFQGTPIGVAMDNRALARAIANIGKL	445
PAL_Oryza3	QIQVIRAATKSIEREVSNSVNDNPVIDVHRGKALHGGNFQGTPIGVAMDNRALARAIANIGKL	409
 PAL_Solanum2		
PAL_Lithospermum	-----	
PAL_Lycoris	LFAQSELVNDYNNGLPSNLTGSRNPSDLGYGFKGAEIAMASYCSELQFLANPVTNHVQS	476
PAL_Narcissus	MFAQSELVNDYNNGLPSNLGGRNPSLDYGFKGAEIAMASYCSELQFLANPVTNHVQS	474
PAL_Allium_sativum	VFAQSELVNDYNNGLPSNLGGRNPSLDYGFKGAEIAMASYCSELQFLANPVTNHVQS	352
PAL_Allium_cepa2	MFAQSELVNDYNNGLPSNLTGGRNPSLDYGFKGAEIAMASYCSELQFLANPVTNHVQS	474
	MFAQSELVNDYNNGLPSNLTGGRNPSLDYGFKGAEIAMASYCSELQFLANPVTNHVQS	474

PAL_Allium_cepal	LFAQMSELVNDFYNNGLPSNLSGGRNFSLDYGFKGAEIAMAYCSEIQYLANPVTNHVES	470
PAL_Coffea	MFAQFSELVNDFYNNGLPSNLSGGRNFSLDYGFKGAEIAMAYCSEIQLFLANPVTNHVQS	175
PAL_Solanum1	-----	
PAL1_Arabidopsis	MFAQFSELVNDFYNNGLPSNLTASRNPSSLGYGFKGAEIAMASYCSELQYLANPVTSHVQS	491
PAL1_Lotus2	MFAQFTELVDDHYNNGLPSNLTASRNPSSLGYLGKAEIAMASYCSELQYLANPVTTHVQS	496
PAL4_Lotus3	MFAQFTELVDDHYNNGLPSNLTASRNPSSLGYLGKAEIAMASYCSELQYLANPVTTHVQS	470
PAL6_Lotus5	MFAQFTELVDDHYNNGLPSNLTASRNPSSLGYLGKAEIAMASYCSELQYLANPVTTHVQS	466
PAL_orzaya2	MFAQFSELVNDFYNNGLPSNLSGGRNFSLDYGFKGAEIAMASYCSELQFLGNPVTNHVQS	479
PAL_Zea2	MFAQFSELVNDYYNNGLPSNLSGGRNFSLDYGFKGAEIAMASYCSELQFLGNPVTNHVQS	481
PAL_Brachiaria	-----	
PAL_Saccharum1	MFAQFSELVNEFYNNGLTSNLAGSRNPSSLGYGFKGTEIAMASYCSELQYLGNPITNHQS	526
PAL_Zeal	MFAQFSELVNEFYNNGLTSNLAGSRNPSSLGYGFKGTEIAMASYCSELQYLGNPITNHVQS	505
PAL_Oryza3	MFAQFSELVNEFYNNGLTSNLAGSRNPSSLGYGFKGTEIAMASYSSELQYLANPITNHVQS	469
PAL_Solanum2	-----	
PAL_Lithospermum	AEQHNQDVNSLGLISSRKTEAVILKLMSSFLVALFQAVDLRHIENVRLAVKNTVSQ	536
PAL_Lycoris	AEQHNQDVNSLGLISSRKTEAVILKLMSTTFLVGLCQAIDLRLHEENLKSTVKTTISQ	534
PAL_Narcissus	AEQHNQDVNSLGLISSRKTEAVILKLMSTTFLVGLCQAIDLRLHEENLKSTVKATISQ	412
PAL_Allium_sativum	AEQHNQDVNSLGLISSRKTEAVILKLMSTTFLVGLCQAIDLRLHEENLRQVVKGVSQ	534
PAL_Allium_cepa2	AEQHNQDVNSLGLISSRKTEAVILKLMSTTFLVGLCQAIDLRLHEENVRQAVKNAVSQ	534
PAL_Allium_cepal	AEQHNQDVNSLGLISSRKTEAVILKLMSTTFLVGLCQAIDLRLHEENLRQAVKNAVSQ	530
PAL_Coffea	AEQHNQDVNSLGLISSRKTEAVILKLMSTTFLVGLCQAIDLRLHEENLRQAVKNAVSQ	217
PAL_Solanum1	-----	
PAL1_Arabidopsis	AEQHNQDVNSLGLISSRKTEAVDILKLMSTTFLVVAICQAVDLRHLLEENLRQTVKNTVSQ	551
PAL1_Lotus2	AEQHNQDVNSLGLISSRKTEAVDILKLMSTTFLIALCQAIDLRLHEENLKYSVKSTVSQ	556
PAL4_Lotus3	AEQHNQDVNSLGLISSRKTEAVDILKLMSTTFLIALCQAIDLRLHEENLKYSVKSTVSQ	530
PAL6_Lotus5	AEQHNQDVNSLGLISSRKTEAVDILKLMSTTFLIALCQAIDLRLHEENLKYSVKNTVSQ	526
PAL_orzaya2	AEQHNQDVNSLGLISSRKTEADIDILKLMSTTFLIALCQAVIDLRHIEENVKSASKSCVMT	539
PAL_Zea2	AEQHNQDVNSLGLISSRKTEADIDILKLMSTTFLIALCQAVIDLRHIEENVKSASKSCVMT	541
PAL_Brachiaria	-----	
PAL_Saccharum1	AEQHNQDVNSLGLVSARKTEAEIDILKLMSSTYIVALCQAIDLRLHEENIKTSVKNTVTQ	586
PAL_Zeal	AEQHNQDVNSLGLVSARKTEAEIDILKLMSSTYIVALCQAVIDLRHIEENIKASVKNTVTQ	565
PAL_Oryza3	AEQHNQDVNSLGLVSARKTLEAVDILKLMSTYIVALCQAVIDLRHIEENIKSSVKNCVTQ	529
PAL_Solanum2	-----	
PAL_Lithospermum	VAKRLLTGVNGELHPSRFSEKDLLRVVDREYVFAYADDPCPLTYPMLMQKLRETIVGHAL	596
PAL_Lycoris	VAKRLLTGVNGELHPSRFCEKDLYKVVDREREYFSYIDDPCCSTTYPMLMQKLRLQVILVEHAL	594
PAL_Narcissus	VAKRLLTGVNGELHPSRFCEKDLYKVVDREREYFSYIDDPCCSATYPLMQRQLRQVILVEHAL	472
PAL_Allium_sativum	VAKRLLTGVGANGEPHPSRFCEKDLYKMIEREVFTYADDACSAGYPLMQUEKVRQVLVDHAL	594
PAL_Allium_cepa2	VAKRLLTGVGANGEPHPSRFCEKDLYKIDREYVFTYADDACSAAYPLMQUEKVRQVLVDHAL	594
PAL_Allium_cepal	VAKRLLTGVGANGEPHPSRFCEVELTKVIDREYVFAIIDDPCSQTYPMLMEKLRQVILVQHAL	590
PAL_Coffea	-----	
PAL_Solanum1	VAKVLTGVNGELHPSRFCEKDLYKVVDREREYFSYIDDPCSATYPLMQUEKVRQVLVDHAL	611
PAL1_Arabidopsis	VAKVLTGVNGELHPSRFCEKDLYKVVDREREYFSYIDDPCLATYPLMQUEKVRQVLVDHAL	616
PAL1_Lotus2	VAKVLTGVNGELHPSRFCEKDLYKVVDREREYFSYIDDPCLATYPLMQUEKVRQVLVDHAL	590
PAL4_Lotus3	VAKVLTGVNGELHPSRFCEKDLYKVVDREREYFSYIDDPCSATYPLMQUEKVRQVLVDHAL	586
PAL6_Lotus5	VAKVLTGSTNSTGGLHVARFCEKDLYKEIDREAVFAYADDPCSHTYPLMQUEKVRQVLVDHAL	599
PAL_Zea2	VAKVLTGSTNSTGGLHVARFCEKDLYQEIEREAVFAYADDPCSANYPLMQUEKVRQVLVDHAL	601
PAL_Brachiaria	-----	
PAL_Saccharum1	VAKVLTMNPSGDLSSARFSEKELITAIDREGVFTYEAEDPASGSLPLMQUEKVRQVLVDHAL	646
PAL_Zeal	VAKVLTMNPSGELOSSARFSEKELISAIDREAVFTYADEAAGSGSLPLMQUEKVRQVLVDHAL	625
PAL_Oryza3	VAKVLTMNPTGDLSSARFSEKNLTAIDREAVFTSYADDPCSANYPLMQUEKVRQVLVEHAL	589
PAL_Solanum2	-----	
PAL_Lithospermum	DNGENEKDVENTSIFHKIAIFEEELKAILPKEVENARASVENGIPAIASNRIEECRSYPLYK	656
PAL_Lycoris	NNGEKEKDANTSIFQKISAFEEELNVLPKEVENARAVAYENGTSAIKNRIECDRSYPLYK	654
PAL_Narcissus	SNGEKEKDANTSIFRKISAFEEDELKVVLPEKEVENARAVAYENGTSAIKNRIKECRSYPLYR	532
PAL_Allium_sativum	GNVEREKDAETSIFQKIGAFEEELKRTLPKEVEAVRVAFDNGKCAPNRIRECRSYPLYR	654
PAL_Allium_cepa2	GNGEREKDSETSIFHKIGAFEEELKRTLPKEVEVRAFENGKCVLPNRRIKECRSYPLYR	654
PAL_Allium_cepal	NNGENEKDFNTSIFQKIAAFETELKAALKPKEVEEARLSVENSAVVPNRRIKECRSYPLYK	650
PAL_Coffea	-----	
PAL_Solanum1	PAIPPNRITECRSYPLYR	17
PAL1_Arabidopsis	INGESEKNAVTSIFHKIGAFEEELKAVLPKEVEAARAAYDNGTSAIPNRIKECRSYPLYR	671
PAL1_Lotus2	VNGENEKDSKTSIFQKIAFEDELKSLLPKEVESARAAYESGNPTISNKINECRSYPLYK	676
PAL4_Lotus3	VNGENEKDSKTSIFQKIAFEDELKSLLPKEVESARAAYESGNPTINPKINECRSYPLYK	650
PAL6_Lotus5	VNEENEKNMNTSIFQKIAFEDELKSLLPKEVESARAAYESGNPAIPNKINECRSYPLYK	646
PAL_Zea2	ANGAAEFNADTSVFAKVAQFEELRATLPGIAEAAARAAVNGTAIIPSRITECRSYPLYR	659
PAL_Brachiaria	ANGAAEFNAETSIVFAKVAQFEEDLRAALPKAVEAARAAVNGTAGIPNRIAECRSYPLYR	661
PAL_Saccharum1	SSG-DAGTGALRVLQDHQFRGGAPRGAGPGGGRRPASPWAEGTAPGRNRNWDSRSFPLYR	705
PAL_Zeal	SSG-DAER-EPSVFSKITRFEELRAVLPQEVEAARAVAEGTAPVANRIADSRSFPLYR	683
PAL_Oryza3	TSG-DRRARGLRVLQDHQVRGGAPLCAAPGDRGRPRRRQR-TAPVANRIVESRSFPLYR	647
PAL_Solanum2	-----	
PAL_Lithospermum	FVREELGTELLTGEKVRSPGEELDKVFTAMCEGKLVDPPLACLEAWNGAPLPI---	710

PAL_Lycoris	FVREEIGTSLLTGEKVRSPGEEFDKVFNNAICKGKLVDPLLECLDEDWNGAPLPIC---	708
PAL_Narcissus	FVREEIGTGLLTGENVQSPGEEFDKVVQAICEGKLVDPLLECLDEDWNGAPLPIC---	586
PAL_Allium_sativum	LVRREELGAGYLTEGEGTSPGEVFEKVFCAVKGVVDPDPLLECLQEWGDGAPVPI---	708
PAL_Allium_cepa2	LVRREELGAGYLAGEEGTSPGEVFEKVFCAVCNGKVVDPDPLLECLQEWGDGAPLPI---	708
PAL Allium cepal	FIREELGTGFLTGERTTSPERSLTKYLSFVFKGRL-----	685
PAL_Coffea	-----	
PAL_Solanum1	LVRQELGSELLTGEKVRSPGEEIDKVFTAMCNQIIDPDLLECLKSWNGAAPLPI---	71
PAL1_Arabidopsis	FVREELGTELLTGEKVTSPGEEFDKVFATICAICEGKIIDPMMECCLNEWNGAPLPI---	725
PAL1_Lotus2	FVREELGTELLTGEKSRSRSPGEECDKLFTAICQGKIIDPDLLECLGEWNGAPLPI---	730
PAL4 Lotus3	FVREELGTELLTGEKTRSPGEEDCDLKFTAICQGKIIDPDLLECLGEWNGAPLPI---	704
PAL6 Lotus5	FVREGLGTELLTGEKVRSPGEECDKLFTAICQGKIIDPDLLECLGEWNGAPLPI---	700
PAL_oryza2	FVREELGTYLTGEKTRSPGEELNKVLVAINEGKHIDPDLLECLGEWNGAPLPI---	713
PAL_Zea2	FVREELGAVYLTLGEKTRSPGEELNKVLVAINQGKHIDPDLLECLKEWNNGEPLPI---	715
PAL_Brachiaria	-----FLTGEKELKSPGEECNKVFFIGISQGKLIDPMLLECLKEWDGKPLEIN---	45
PAL_Saccharum1	FVREELGCVFLTGEKLPKGSPGEECTKVFNGISQGKLVDPMLECLKEWDGKPLEINVVN	762
PAL_Zeal	FVREELGCVFLTGERLKPSPGEECNKVFVGISQGKLVDPMLECLKEWDGKPLEINVK-	739
PAL_Oryza3	FVREELGCVFLTGEKLSPGEECNKVFGLGISQGKLIDPMLDCLKEWNNGEPLPIN---	701

Figura 22. Alineamiento múltiple de secuencias de aminoácidos de especies reportadas en la base de datos del NCBI. Las secuencias corresponden a la enzima TYDC. Las regiones resaltadas corresponden a las regiones de referencia para el diseño de cebadores

TYDC_Oryza3	ELCAAAAPHG-AWVHVDAAYAGSAMVCPELRAVAGGVEAVDFSMSNAHKWILLANNDCCV	344
TYDC_Oryzal	ELGQIAKSND-MWFHIDAAYGASACICPEYRHHLNG-VEEADSFNMNAHKWFLTNFDCSL	324
	: * * . : * * . * * : * * : . * * . * . * * : * : * . *	
TYDC4 Setaria	LWVASPRDLTSALSTDPEY-LKNVG---TNGTGPAAIDYKDWDQIISLSRRFAIKLWVVL	377
TYDC_Zea	LWVASPGALTSAALSTDPEY-LKNVG---TDGTGPAAIDYKDWDQIISLSRRFAIKLWVVL	377
TYDC_Oryza4	LWVASPAALTAALSTDPEY-LKNAGGGKPQAAGAGAI DYKDWDQIISLSRRFRAMKLWVFL	386
TYDC/DOPA_Aegilops	LWVASPAALTSALSSNPEY-LNNVT-----EKSATEVVVDYKDWQMALSPPRFAMKLWVVL	374
TYDC_Oryza2	VWVAAPSALVALALGTQEYILRDAAAE-----GHDVVDYKDWGTTLTLTRRFRALKVWLVL	403
TYDC_Oryza3	MWRTPSALVALGTDQEYILKAAAETAAADGGEVGVVDYKDWGITLTLTRRFRALKLWVVL	404
TYDC_Oryzal	LWVKDRSFLIQSLSNSTPEFLKNKAS-----QANSVUDFKDWQIPLGRFRRLSKLWMVL	377
	: * * . : * . : * : : * : * * . * * . * * : * : * . *	
TYDC4_Setaria	RRYGAAGVLRRAHIRRVTAALKWFERAVAADELFEEVVVPRRFSILCFCRLRERFV-----	429
TYDC_Zea	RRYGAAGVLRRAHIRRVTAALKWFERAVAADERFEVVVPRRFSILCFCRLRERF-----	429
TYDC_Oryza4	RRYGAAGMRAHIRRHVAMAEWFERAVSADERFEVVAKRKFS LVCFRLRG -----	435
TYDC/DOPA_Aegilops	RRYGAAGVMRAYIRRHVMDARWFEEQQLEGDERFEVVVPRRFSILCFCRLRERF-----	426
TYDC_Oryza2	RCYGEVGLRSRSHVRSHVAMAAAEFTEAMVRGDDARFEVVAPRRFALVCFCRLRSPPERLGVGVG	463
TYDC_Oryza3	RCYGEVGLREHRSRSHVGMAAFEGMVRADARFEVVTPRPFALVCFCRLRSP-----	454
TYDC_Oryzal	RLYGVDNLQSQYIRKIHLLAEHFQQLLSDSRFEVVTPRTFSLVCFRLPVPTTS-----	429
	* * . : : * : * . * * . * . * * . * * . * * . * * . * * . * * . * * .	
TYDC4 Setaria	-GDDAVDDVNRELLAAVNESGR-AFMTHFVVDGKFVIRLAIGGASTELRHVMDVWELLQA	487
TYDC_Zea	-GDDAADELNRELLTAVNASGR-AFVTHFVVDGKFVIRLAIVGGAMTEMRHVMDVWELLQA	487
TYDC_Oryza4	-GGGGDAMNRELLAAVNASGR-AFMTHFVVEGKFVIRLAIVGGAM TEMRHV GDAWEVLR-	492
TYDC/DOPA_Aegilops	-GDDAAEALSRSKVLMAINSSGR-AFMTHFIVDNKFVIRMAVGGAMTEMRHVRDAWEVQE	484
TYDC_Oryza2	GGKEAAANELNRRLLVEVNAAASSGPYMSAMVGGVYMLRCAIGSTLEERHVERAWKVQOE	523
TYDC_Oryza3	-NKKTANELNRRLLVEVNAAASSGPYMSANVGGVYMLRCAVGSTLTLEERHVERAWKVQD	513
TYDC_Oryzal	-DHENGRKLNYYMDGVNSSGK-IFLSHTVLGSKFVLRFAVAPLTERHRVDAWKLLRD	487
	. . . : * . : . : . : . : . : * : * . * . * * . * . * . : * :	
TYDC4_Setaria	KAEEV-----LQRYQL-- 498	
TYDC_Zea	SADHV-----LRRYSY-- 498	
TYDC_Oryza4	-----	
TYDC/DOPA_Aegilops	KTREVGIPLGVTKKHAL-- 501	
TYDC_Oryza2	RATSI-----LKRKG-- 533	
TYDC_Oryza3	RATSI-----LSKMEIIIM 526	
TYDC_Oryzal	EATKV-----LGKMV--- 497	

Figura 23. Alineamiento múltiple de secuencias de ARNm de especies reportadas en la base de datos del NCBI. Las secuencias corresponden a la enzima OMT. Las regiones resaltadas corresponden a las regiones de referencia para el diseño de cebadores

COMT_Zeal_mRNA	GGAGGTGGTGGCGGGATGCCCGGGCGGCCGACCCCGCCGGCATGGT 337
OMT_Oryzal_mRNA	GGAGGTGGC---CGACAAGCTGCCGTCAAGGCAGACCCG--GCCGCCGGGACATGGT 256
OMT_Sorghum1_mRNA	GGAGGTGGCGCGGTTGCCCGTGGCGC-GACGAACCCC--GCCGCCGGGACATGGT 333
CCOMT_Narcissus_mRNA	GATTGTGGCGA---AATTACCTAC-----GGAGAACCCAC--AAGCATCAGAAATGTT 206 *
COMT_Zeal_mRNA	GGACCGCATGCTCCGCCTGCTCGCCTCTACGACGTCGTCCGGTGCCA----GATGGA 391
OMT_Oryzal_mRNA	GGACCGCATGCTCCGCCTGCTCGCCTCTAACACGTCGTCAAGTGCGA----GATGGA 310
OMT_Sorghum1_mRNA	GGACCGCATTCTCCGCCTCCTCGCCTCTACGACGTCGTGAAGTGCCA----GATGGA 387
CCOMT_Narcissus_mRNA	TGATAGGATGCTGAGGGTCTGCTGGCTTGACGTTGACGTTAAATCGGTGACGAT 266 *
COMT_Zeal_mRNA	GGACCGGG---ACGGCCGGTACGAGCGCGCTACTCCGCCGCCGCTGCAAGTGGCT 448
OMT_Oryzal_mRNA	GGAGGGCCGACGGCAAGCTCCCGCCGCTACGCCGCCGCCGCTGCAAGTGGCT 370
OMT_Sorghum1_mRNA	GGACAAGG---ACGCGAAGTACAGCGTCGGTACTCCGCCGCCGCCGCAAGTGGCT 444
CCOMT_Narcissus_mRNA	GGATGAGACTAGTGGAAAGGATGGAAAGGCATATGGAGCAAATAATGTCACAAAGTATT 326 *** *
COMT_Zeal_mRNA	CACCCCCA ACGAGGACGGCGTGTCCA TGGCCGCCCTCGCGCTCATG----AA----C 497
OMT_Oryzal_mRNA	GACGCCAACAGAGGACGGCGTCTCATGGCCGCCCTCGCGCTCATG----AA----C 419
OMT_Sorghum1_mRNA	CACCCCTAACGAGGACGGCGTCTCATGGCCGCCCTCGCGCTCATG----AA----C 493
CCOMT_Narcissus_mRNA	CTGCAAGGATGAGGGTGGG---ATGGTTGCTCCCTTGCTCCGGCTCAAGTTATT 381 *
COMT_Zeal_mRNA	CAGGACAAGGTCTCATGGAGAGCTGGTACTATCTAAGGACGGGTGCTGGACGGCGC 557
OMT_Oryzal_mRNA	CAGGACAAGGTCTCATGGAGAGCTGGTACTACCTTAAGGAGCAGTCCTGGACGGCGC 479
OMT_Sorghum1_mRNA	CAGGACAAGGTCTCATGGAGAGCTGGTACTACCTGAAGGACGGGTGCTTGACGGCGC 553
CCOMT_Narcissus_mRNA	CATGATCATACTACCATGGAGGCGTGTACATTAAAAAACGCACTGTTAGACGGAGGA 441 *
COMT_Zeal_mRNA	ATCCCGTTCAACAAGGCGTACGGGATGACGGCGTTCGAGTACCA CGCA-CGGACTCGCG 616
OMT_Oryzal_mRNA	ATCCCGTTCAACAAGGCGTACGGGATGACGGCGTTCGAGTACCA CGCA-CGGACGCC 538
OMT_Sorghum1_mRNA	ATCCCGTTCAACAAGGCGTACGGGATGACGGCGTTCGAGTACCA CGCA-CGGACGCC 612
CCOMT_Narcissus_mRNA	GACCATTCAAGGCGTACGGGATGAATATATTGAGT-TTGCAAAAGCTAATCCGAG 500 *
COMT_Zeal_mRNA	CTTCAACCGCGTGTCAACAGGGCATGAAGAACACTCGGTGATCATCACCAAGAACG 676
OMT_Oryzal_mRNA	CTTCAACCGCGTCTCAACAGGGCATGAAGAACACTCCGTCACTCATCACCAAGAACG 598
OMT_Sorghum1_mRNA	CTTCAACCGCGTGTCAACAGGGCATGAAGAACACAGCGTGTACATCACCAAGAACG 672
CCOMT_Narcissus_mRNA	ATTCAATTCTCTGTCAACAGGGGATGAAGGAGTACTCTGATCATATTAGAAAGG 560 ***** *
COMT_Zeal_mRNA	GCTGAGACTTCTACAGGGCTTCGAGG---GGCTGTCGACG---CTGGTGGACGTGGCGC 731
OMT_Oryzal_mRNA	GCTGACCTCTACACCGGCTTCGACG---CCGCTCCACC---GTGCTCGACGTGGCGC 653
OMT_Sorghum1_mRNA	CCTCGAGTTCTACACGGGCTTCGACGAGTCGCTCGACG---CTCGTCGACGTGGCGC 730
CCOMT_Narcissus_mRNA	CCTTGATGTCAGTACAGCATTGATG---ACCTAAATGTCGTTGAGTGGAGGT 615 *
COMT_Zeal_mRNA	GGCGTGGGCCACGCGTCA CGCCATCACGTCGCCACCCGCACATCTCGGGTCAAC 791
OMT_Oryzal_mRNA	GGCGTGGGCCACGTGGCCCGCTCGTCTCCGCCACCCGCACATCCGGGGGATCAAC 713
OMT_Sorghum1_mRNA	GGCATCGGCCACACTACCGCCATCACCTCCACCTCCACATCAGGGCGTCAAC 790
CCOMT_Narcissus_mRNA	GTTACCGGAGGAAACACTGGCCGATTATCGCAAGGATCTCATATCAAAGGAATCAAC 675 *
COMT_Zeal_mRNA	TTCGACCTGCCGACGTCATCTCGAGGCGCCCGTCCCCGGCTGCGCACGTGGC 851
OMT_Oryzal_mRNA	TACGACCTCCCCACGTCATCTCGAGGCGCCCGTCCCCGGCTGAGCACGTGGC 773
OMT_Sorghum1_mRNA	TTCGACCTCCCCACGTCATCTCGAGGCGCCCGTCCCCGGCTGCGCACGTGGC 850
CCOMT_Narcissus_mRNA	TATGATCTACCTCATGTCATTAGAGAACGACCATCTTTCCGGAAATTGAGCATATTGGT 735 *
COMT_Zeal_mRNA	GGGGACATGTTCGCGTCCGTGCC---GCCGGCGACGCCATCTCATGAAGTGGATCCTC 908
OMT_Oryzal_mRNA	GGGGACATGTTGCCCTCCGTGCCCGCCGCGCAGCCATCTGATGAAGTGGATCCTC 833
OMT_Sorghum1_mRNA	GGGGACATGTTCAAGCTGGCG---GCCGGCGACGCCATCTCATGAAGTGGATCCTC 907
CCOMT_Narcissus_mRNA	GGGGATATGTTAAAGACCATCCA---AGTGGAGACGCTATTCTCTGAAGACTCTTG 792 ***** *
COMT_Zeal_mRNA	CACGACTGGAGGCGACGCGCACTGCCG---ACGCTGCTCAAGAACGACTTACGACGCC 967
OMT_Oryzal_mRNA	CACGACTGGAGGCGACGCGCACTGCCG---CGCTGCTCAAGAACGACTACGACGCC 892
OMT_Sorghum1_mRNA	CAC GGAGCTGGAGGCGACGCGCA CTGCCG---ACGCTGCTCAAGAACGACTACGACGCC 966
CCOMT_Narcissus_mRNA	TGTGACTGGGATGACGAGCA-TGTATTGAAGCTCTAAAGAACGACTGCTGGAAAGCTTG 851 ***** *
COMT_Zeal_mRNA	GGAAAA---TGGCAAGGTCACTGCGTCAAGTGGCTGCCGGTCAACACGGAGGCA- 1023
OMT_Oryzal_mRNA	GGAGCA---CGGGAGGTGGTGGAGTGGCTGCCGGAGAGCTGGACGCCA- 948
OMT_Sorghum1_mRNA	GGAGAAGGGCGCAAGGTGATCGTCGAGTGGCTGCCGGTGACCAACGGACGCC- 1025
CCOMT_Narcissus_mRNA	TGACAA---TGGGAAGGTGATCATATTGATGATATCTTCGATGATCGTTGAAGAAGA 908 *

COMT_Zeal_mRNA	--CCCCAA-----GGCGCAGGGCGTCTTCACGTCGACATGATCATGCTCGCCACAA	1075
OMT_Oryzal_mRNA	--CGGCAG-----GGAGCAGGGGGTTCCACGTCGACATGATCATGCTCGCCACAA	1000
OMT_Sorghum1_mRNA	--TCCCCA-----GGCGCAGGGCGTGTCCATGTCGACATGATCATGCTCGCCATAA	1077
CCOMT_Narcissus_mRNA	ATCCACGAATTCTTAGAAAATTGCAATTGCTCATAGACCTTATAACTCTGTTACGT	968
	* *	
COMT_Zeal_mRNA	CCCCGGCGCAAGGAGCGGTACAGCGCGAGTCCCGCAGCTCGAAAGGGCGCCGCTT	1135
OMT_Oryzal_mRNA	CCCCGGCGCAAGGAGAGGTACAGAGGGAGTTCAAGGGAGCTGCCCGCAGCGATT	1060
OMT_Sorghum1_mRNA	CCCCGGCGCAGGGAGCGGTACAGCGGGAGTTCCGTGACCTCGCAAGGCCGCTGGCTT	1137
CCOMT_Narcissus_mRNA	ACCAAGCGAAAAGAGAGGACCGAGGAGGAGTTGGAAATTGGCAAAGTCAGCTGGTTT	1028
	* *	
COMT_Zeal_mRNA	CTCCGGGTTCAAGGCCACCTACATTACGCCAACGCCTGGGCATCGAGTTCATCAAGTG	1195
OMT_Oryzal_mRNA	CACCGGTTCAAGGCCACCTACATCTACGCCAACGCCTGGGCATCGAGTTCACCAAGTA	1120
OMT_Sorghum1_mRNA	CTCTGGGTTCAAGGCCACCTACATCTACGCCAACGCCTGGGCATCGAGTTCATCAAGTA	1197
CCOMT_Narcissus_mRNA	CTCAAGGTTCGAAAGAGTGGCAATTGCGCGTTGTCAGATTATGGAGTTTACAAGTA	1088
	* *	
COMT_Zeal_mRNA	AA-----CCACCGTCGCCCGCATGAGATGGCATGGCTGCCACA	1233
OMT_Oryzal_mRNA	G-----GCGAT-----	1126
OMT_Sorghum1_mRNA	AAAATGCAGACAGAGTCCTCCGTACGTCGCTCGCATGAGATGGCA-----	1246
CCOMT_Narcissus_mRNA	G-----	1089
COMT_Zeal_mRNA	TGCTTGCTTGCTTGGCCTCGTATCG-----TACGTCGCCGTCGTCGCTTCTCTG	1286
OMT_Oryzal_mRNA	-----TGGTGATCG-----ATGCCATTGT-----	1146
OMT_Sorghum1_mRNA	--CATGTCATGGATGGCTCATCGCCGGCCGCTCCATCGCCGGCTTCTCTCTG	1304
CCOMT_Narcissus_mRNA	-----	
COMT_Zeal_mRNA	GTTATTGCT-GCTGCTACCTCGCTCGCTCGCGTATGCATGACTTTGCTTAATTCTT	1345
OMT_Oryzal_mRNA	-----TGA-GCT-----	1152
OMT_Sorghum1_mRNA	GTTGCTGCTGCT-----ACTGCTGTCGCACATGCATCTACTTTGCTTACTTGCTT	1356
CCOMT_Narcissus_mRNA	-----	
COMT_Zeal_mRNA	TCTTCATATCATGCACTCTGGCTGGCCTAGACTGCCCGATCCATGG--TGGCCGGTAC	1403
OMT_Oryzal_mRNA	-----CGATC-AAGG--TGTTCGA---	1168
OMT_Sorghum1_mRNA	TCTTCAT-TCATCGATCCTGCATTA-----TAATTAAATGGCCTAGCCTGCCT	1402
CCOMT_Narcissus_mRNA	-----	
COMT_Zeal_mRNA	GTCTTGCGAGCTTGCATGTCGTTGATTCTAAATTCTTCTGCGTCGAAAAA	1463
OMT_Oryzal_mRNA	-----CCATCGAATCACTA-----GTGAATTC-----	1190
OMT_Sorghum1_mRNA	CCGATGTCCGATCCATACATG-GTGG-CCATATATCTTGGTCGCTAAAAA	1458
CCOMT_Narcissus_mRNA	-----	
COMT_Zeal_mRNA	AAAAAAAAAAAAAAAAAAAA	1482
OMT_Oryzal_mRNA	-----	
OMT_Sorghum1_mRNA	-----	
CCOMT_Narcissus_mRNA	-----	

Figura 24. Alineamiento múltiple de secuencias de ARNm de especies reportadas en la base de datos del NCBI. Las secuencias corresponden a la enzima PAL. Las regiones resaltadas corresponden a las regiones de referencia para el diseño de cebadores

CLUSTAL 2.1 multiple sequence alignment		
PAL_Lycoris_mRNA	ATTCGCGGATCCACAGCCTACTGATGATCAGTCGATGGAAAAAAATTCT	50
PAL_Narcissus_mRNA	-	
PAL2_Allium_cepal1_mRNA	-	8
PAL_Allium_sativum_mRNA	-	
PAL1_Allium_cepa2_mRNA	-	17
PAL_Galtonia_mRNA	-	
PAL_Oryza3_mRNA	-	11
PAL_Lycoris_mRNA	ACGTTTCTTATTCAATTCAAGCACTCTCATCTCCTCTCTATAATT	100
PAL_Narcissus_mRNA	-	
PAL2_Allium_cepal1_mRNA	AAGGCCAATTGTTCATAT-----ACTCCTTCCATTATT	44
PAL_Allium_sativum_mRNA	-	
PAL1_Allium_cepa2_mRNA	ATTAACACTACCTCTAATTCA-----TTCCCTTGACACAATC	57
PAL_Galtonia_mRNA	-	
PAL_Oryza3_mRNA	ACTACCTCTCCCTCGG-----CTCTTCTCAGTATC	43

PAL_Lycoris_mRNA	CTTCTTCTTCTTCTTCTTCCTTTCTGCAAATTCTAATGGCATAC	150
PAL_Narcissus_mRNA	-----TGCAACATACATACATACATACAGTTATCAGCATATAT	84
PAL2_Allium_cepal_mRNA	-----TAAT--CAAATCAAAG--TCGATAAAATGG	25
PAL_Allium_sativum_mRNA	TTGAATTCTCAATCGTGTAAAC--CAAATCAAAC--TCGATAAAATGG	101
PAL1_Allium_cepa2_mRNA	-----ATGG	4
PAL_Galtonia_mRNA	-----GAATCCTCTTCTCCTCGTGCCCCAC-----CACCA	74
PAL_Oryza3_mRNA		
PAL_Lycoris_mRNA	GCCAACCGT-AATGGC-----AATGCCAAC--GGTTCTGCATC--C	187
PAL_Narcissus_mRNA	-----	
PAL2_Allium_cepal_mRNA	ATATCATAT-AATGGAG-----AATGGGAATTTCAGCACTGTGCATG--A	125
PAL_Allium_sativum_mRNA	GTGCCATG--AACGGGGATTTAGCGTCAACGACGAGATCATCAGA--A	70
PAL1_Allium_cepa2_mRNA	GTGCTGTG--AATGGGGATTTAGCGTCAACAAACGAGATCATCAGA--A	146
PAL_Galtonia_mRNA	AATCCCTC-CACCC-----AACGGCAAC--GGGCTCTGCGCCGA	43
PAL_Oryza3_mRNA	CCACCGTAGCAATGGCG-----GGCAAC--GGGCCGATCAAC--A	110
PAL_Lycoris_mRNA	TG---GACCGGTTGAACGGGGCGCAGCTGCAGAAGCCCTGACCGGTAGC	234
PAL_Narcissus_mRNA	-----	
PAL2_Allium_cepal_mRNA	GGAGCGACCTTGTAACTGGGAAAGGCAGAGGGCGCTGAGTGGTCC	175
PAL_Allium_sativum_mRNA	TCCAGGATCCGCTGAACTGGGGGGCGCCGCCGAGGCTATGCCGCCAGC	120
PAL1_Allium_cepa2_mRNA	TCGAGGATCCACTGAATTGGGAGCGGCTGCCAACGGCTATGCCGGGAGC	196
PAL_Galtonia_mRNA	TCGACGACCCGTTAAACTGGGGCGCCGCCGGAGTCCCTGAGGGAGGC	93
PAL_Oryza3_mRNA	AGGAGGACCCGCTCAACTGGGGCGCGCCGGCGAGATGCCGGCAGC	160
PAL_Lycoris_mRNA	CATCTCGACGAGGTCAAGAGAATGGTAAGGACTACCGAGAGGCATACGT	284
PAL_Narcissus_mRNA	-----	
PAL2_Allium_cepal_mRNA	CACCTGGAGGAAGTGAAGAGGATGGTGGATGATTTCAGGAATCCGGTGGT	225
PAL_Allium_sativum_mRNA	CATTGGAGGAGGTGAAGGCAATGGTGAAGGAGTACAGGGGGAACTCTGT	170
PAL1_Allium_cepa2_mRNA	CATTGGAGGAGGTGAACCGAATGGTGAATGAGTACAGGGAAAAGTCTGT	246
PAL_Galtonia_mRNA	CACCTCGACGAGGTCAAGAGATGGTTAAAGAATTCAGGGGCCCTCTAGT	143
PAL_Oryza3_mRNA	CACCTCGACGAGGTGAAGCGCATGGTGGCGAGTCCCGCAGGCCGCTGGT	210
PAL_Lycoris_mRNA	TAAGCTCGAAGGAGCGACGCTGAAGGTGGGCCAGATGCCCGGGTTGCC-	333
PAL_Narcissus_mRNA	-----	
PAL2_Allium_cepal_mRNA	GAAACTAGAAGGGGAGGATTGAAATAATTCAGGTGGCGCTGTGGC-	274
PAL_Allium_sativum_mRNA	GAAGCTTGAAGGCGCAGACTTGAAGGTAGGTCAGGTGGCGCGCTTGC-	219
PAL1_Allium_cepa2_mRNA	GAAGCTTGAAGGCGCAGACTTGAAGGTAGCTCAGGTGGCGCGCTGCC-	295
PAL_Galtonia_mRNA	CAGGCTCGAGGGCGCACCCCTCAAGGTGGCCAGGTGGCGCGCTGGC-	192
PAL_Oryza3_mRNA	CAAGATCAGGGGCCACCCCTCCCGTGGCCAGGTGGCGCGCTGCC	260
PAL_Lycoris_mRNA	--AATGACGGGTCAAGCT--GTTAAGGTCGAATTGGACGAGTCCGCACGG	378
PAL_Narcissus_mRNA	-----	
PAL2_Allium_cepal_mRNA	--GCCATGGGGAGGAAAG----GTAAGGCTCAAGCTGGCAGAGACAGCGAGA	319
PAL_Allium_sativum_mRNA	--GCC---GGTGGAGATT---AAAGAAGTCTTTGGACCAAGGGCGCAGG	261
PAL1_Allium_cepa2_mRNA	--GCC---GGTGGAGATT---AAAGAGGTGGTTTGACCAAGGGCGCAGA	337
PAL_Galtonia_mRNA	--GCCGCGGGAGAGTCTCAGTCACCGCTCAGCTGGCAGAGTCGCCGCT	240
PAL_Oryza3_mRNA	AGGCCAAGGACGCCGCGCCGCTCGCCGTCAGCTGACGAGGAGGCCGC	310
PAL_Lycoris_mRNA	GCCC GTGTTAAGGCTAGTAGTGTAGTGGGTGATGGATAGCATGAATAAAGG	428
PAL_Narcissus_mRNA	-----	
PAL2_Allium_cepal_mRNA	GGGAGAGTGAAGGCAGTCAGTGTGGGTGAAGAAGAGTTGGAGGACGG	369
PAL_Allium_sativum_mRNA	GAGGGGGTTAAGGCCAGCAGCAGTGGGTGATGGACAGTATGTGCAAAGG	311
PAL1_Allium_cepa2_mRNA	GAGGGAGTGAAGGGCAGCAGCAGTGGGTGATGGATAGTATGTGCAAAGG	387
PAL_Galtonia_mRNA	GCCGGTGTAAAGGCCAGCAGCAGTGGGTGATGGATAGCATGTGCAAAGG	290
PAL_Oryza3_mRNA	CCCGCGTCAGGCCAGCAGCAGTGGATCCTCAACTGCATGCCACGG	360
PAL_Lycoris_mRNA	GACTGATACTTATGGGTGACTACTGGTTTTGGTGTACCTCTCATAGGA	478
PAL_Narcissus_mRNA	-----	
PAL2_Allium_cepal_mRNA	AACGGATAGTTATGGTGTACTACCGGGTTCGGGCAACTTCGCATAGGA	419
PAL_Allium_sativum_mRNA	TACGGACAGCTAACGGGGTACCACTGGTTTGCGTCACTCTCATAGGA	361
PAL1_Allium_cepa2_mRNA	TACGGATAGTTATGGGGTACCACTGGTTTGCGTCACTCTCATAGGA	437
PAL_Galtonia_mRNA	GACTGACAGCTAACGGCTGACTACGGGATTTGGGCTACCTCTCATAGGA	340
PAL_Oryza3_mRNA	CGCGACATCTACGGCGTACCCGGCTTCGGCGCACCTCCACCGCC	410
PAL_Lycoris_mRNA	GGACCAAGCAAGGAGGTGCCCTTCAAAAGGAGCTTATTAGATTTAAAT	528
PAL_Narcissus_mRNA	-----GAGCTAATTAGATTTCTGAAC	21
PAL2_Allium_cepal_mRNA	GGACTAAAATCGCGAAGCACTCCAAACCCAGCCTCATCAGATTCTAAAT	469
PAL_Allium_sativum_mRNA	GGACTAAGAATGGAGCTGCCCTGCGAGAATGAGCTCATCAGATTCTGAAT	411
PAL1_Allium_cepa2_mRNA	GGACTAAGAATGGAGCTGCCCTGCGAGAATGAGCTCATCAGATTCTGAAC	487
PAL_Galtonia_mRNA	GGACCAAGCAGGGTGGTGCCTTCAGAAGGAGCTCATCAGATTCTCAAC	390

PAL_Oryza3_mRNA	GCACCAAGGACGGCCCCGCCCTCCAAGTCGAGGCTCTCAGGCATCTCAAC 460 ***** * * * * *
PAL_Lycoris_mRNA	GCTGGAATTCCTGAATCTGGTACAACACTCAAGCAACACGTTGCCAGCATC 578
PAL_Narcissus_mRNA	GCTGGGATATTCCGGAGCAGTCGCGACTCATGCAACACATTGCCAGCATC 71
PAL2_Allium_cepal1_mRNA	GCTGGAATTCCTGGTCTGGTAAAACACTGGAACACACTGCCAAC 519
PAL_Allium_sativum_mRNA	GCAGGAATATTCCGG--CAGCCCAACTCCGGAAACTCCCTACCATCAAC 458
PAL1_Allium_cepa2_mRNA	GCTGGAATTTGG--CAGCCCAACTCGGGAACTCTCACCATCAAC 534
PAL_Galtonia_mRNA	GCGGGGATTCGGCTCCGGCGGAATCTGGCTGCACGCTGCCGGCG 440
PAL_Oryza3_mRNA	GCGGAATTCGGCACTGGCTCGGA---TGGCCACACGGCTGCCGTGCGA 507 *
PAL_Lycoris_mRNA	CACGACCAGAGCAGCGATTTGGTCCGTATCAACACGCTCCAGG GCT 628
PAL_Narcissus_mRNA	CACGACAGAGCAGCGATTTGGTCCGATCACACCCCTCCAGGGTT 121
PAL2_Allium_cepal1_mRNA	CACCACTAGAGCTGCAATGCTGTAAGAATCAACACTCTCCAAAGGCT 569
PAL_Allium_sativum_mRNA	CACAAAGCGTGGCCATGCTAGTCAGACTCAACACCCCTCCAGGGAT 508
PAL1_Allium_cepa2_mRNA	CACTACCGTGCTGCCATGCTAGTCAGACTCAACACCCCTCCAAAGGCT 584
PAL_Galtonia_mRNA	GCGCACACGGCGCGGATCTGGTCTAGAATCAACACTCTCCAGGGCT 490
PAL_Oryza3_mRNA	GACGTGCGGGCGGCGATGCTGTGCGCATCAACACCCCTCCAGGGCT 557 *
PAL_Lycoris_mRNA	ATTCTGGCATCCGCTTCGAAATCTCGAAGTCATCCTCGCCTCTC-AA 677
PAL_Narcissus_mRNA	ACTCTGGCATCCGCTTCGAGATCTCGAAGCCATAACTCGCCTCTC-AA 170
PAL2_Allium_cepal1_mRNA	ACTCTGGAAATCCACTTGGAGATTCTAGAACGAAATTG-CGCTTCTTGA 618
PAL_Allium_sativum_mRNA	ATTCTGGTATCCGCTTCGAGATCTCTAGAACATCCATAACTCGTTACTA-AA 557
PAL1_Allium_cepa2_mRNA	ATTCGGGATATCCGCTTCGAGATCTCTAGAACATCCATAACCCGTTACTA-AA 633
PAL_Galtonia_mRNA	ACTCGGGATCCGATTCTCGAGATTCTCGAGGGCATCACAGCTCC-TG 539
PAL_Oryza3_mRNA	ACTCGGGCATCCGGTTCGAGATCTCGAGGGCATCACAAAGCTGCTC-AA 606 *
PAL_Lycoris_mRNA	CAAAACATCCTCGTGCTCTCTCCGGGGACAATCACCGCTCC 727
PAL_Narcissus_mRNA	CAGAACGTCACCCCGTGCTCTCCCTCGGGGAAACGATCACCGCTCC 220
PAL2_Allium_cepal1_mRNA	CAGGCACATCCTCATGTCTCCCTTACAGGGGACCGTCACTGCATCAG 668
PAL_Allium_sativum_mRNA	CGAACACATCACCCCTTGCTTACCTCTCGGGTACAATCACTGCCTCAG 607
PAL1_Allium_cepa2_mRNA	TGAAACATCACCCCTGCTTACCTCTCGGGTACAATCACTGCCTCTG 683
PAL_Galtonia_mRNA	CGGAAGATCACCCGTGCTCCCTCTCGGGCACGATCACCGCTCC 589
PAL_Oryza3_mRNA	CACCGCGTCAACCGTGCCTGCCGCTCCGGACCACATCACCGCTCC 656 *
PAL_Lycoris_mRNA	GCGACCTAGTCCCCCTGCTCTATATTGCCGGCATCCTCACCGTCC 777
PAL_Narcissus_mRNA	GCGACCTCGCCCCCTATCTACACCGCCGGATCCTCACGGCGCCCC 270
PAL2_Allium_cepal1_mRNA	GGCATCTTGTCCCCTATCTACATTCGAGGAATCCTCACCGGTCTGCC 718
PAL_Allium_sativum_mRNA	GTGATCTGGTCCCCTACTGCTTACATCGCTGCCCTACTCACGGCC 657
PAL1_Allium_cepa2_mRNA	GCGATCTGGTCCCCTACTGCTTACATCGCTGCCCTACTCACGGCC 733
PAL_Galtonia_mRNA	GGCACCTGTCGGCTGTCTCTATCGCCGAATCTCACGGCGGCC 639
PAL_Oryza3_mRNA	GTGACCTGGTCCCCCTGCTTACATTCGCGGCCATCACGGCGGCC 706 *
PAL_Lycoris_mRNA	AATTGAAAGCCATCACACCTGATGGCACAAAATCGATGCATCGAAGC 827
PAL_Narcissus_mRNA	AACCTGAAAGCCACCGCTCCGACGGCACGGCATATCGATGCCGAGC 320
PAL2_Allium_cepal1_mRNA	AACCTAAAGCCACCTCTGATGGATCCCACATAGATGCTACAGAAC 768
PAL_Allium_sativum_mRNA	AACTCCAATTAGTCACTTCCGACAACACTCTCTACTGCTTCAAAGC 707
PAL1_Allium_cepa2_mRNA	AACTCCAATTAGTCACTTCCGACAACACACTCTCACCCCTCTGAAGC 783
PAL_Galtonia_mRNA	AATTCCAAGCCGTGCCCCCGACGGCCGACCGTCAGGCCGCCGAGGC 689
PAL_Oryza3_mRNA	AACCGCGCAGGCCATCTCGCCGACGGCAGGAAGTGGACGCCGCCGAGGC 756 ** *
PAL_Lycoris_mRNA	CTTCAAGCTCGGGGAATCACCGACGGGTTCTCCAATTGCAAGCCAAAG 877
PAL_Narcissus_mRNA	CTTCAGGCTCGGGGAATCACCGGGGTTCTCCAATTGCAACCCAAAGG 370
PAL2_Allium_cepal1_mRNA	ATTCAAGCTGCAATATTCTGACTTCTTGAACTCCAACCCAAAGG 818
PAL_Allium_sativum_mRNA	CTTCAGGCTGGCGCATCTCCGGATTCTCCGGCTCAACCTAAAG 757
PAL1_Allium_cepa2_mRNA	CTTCAGGCTGGCGCATCTCCGGATTCTCCAACTTCAGCTAAAGG 833
PAL_Galtonia_mRNA	CTTCAGGCTGGGGGATCGAGAGCGGGCTTCTGAAATTGCAAGCCAAAGG 739
PAL_Oryza3_mRNA	GTTCAGGCTGGCGCATCGAGGTGGCTTCTCACGCTGAACCCCAAGG 806 *
PAL_Lycoris_mRNA	AAGGCTTAGCATTGTAACGGCACGGCGTGGATCAGGGTTAGCCTCA 927
PAL_Narcissus_mRNA	AAGGCTTAGGCTCGTGAACGGCACGGCGTGGATCAGGGACTGCCCTG 420
PAL2_Allium_cepal1_mRNA	AAGGCTTGCACTCGTAAACGGCACTGCACTGGTTCTGGACTTGCTTCC 868
PAL_Allium_sativum_mRNA	AAGGCTCGCTCGGCACTGGTCAATGGCACAGCGCTGGATCCGGCTTGGCCCTCC 807
PAL1_Allium_cepa2_mRNA	AAGGCTCGCCCTGGTCAATGGCACAGCGCTGGATCCGGCTTGGCCCTCC 883
PAL_Galtonia_mRNA	AGGGCTCGCCGCGTGGTGAACGGCACGGCGTGGATCTGGTTGCTTCC 789
PAL_Oryza3_mRNA	AAGGCTCGCCATCGTCAATGGCACGTCGCTGGGGTGGCGCTCGCGGCC 856 *
PAL_Lycoris_mRNA	ACGGCTCTTACGACACCAATATCTCGCAGTTTAGCTGAAGTCTTGTC 977
PAL_Narcissus_mRNA	ACGGCTCTTATGACGCCAACATCTCGCGGCTCTCGCCGAGGTCTGTC 470
PAL2_Allium_cepal1_mRNA	ATAGTTGTTGAGGCCAATGTTCTGCACTGGCTTTCTGAAATCATCTC 918

PAL_Allium_sativum_mRNA	ATCGTCCTCATGAAACTAATGTGCTTGCCTTGCCGAAGTCATGTC	857
PAL_Allium_cepa2_mRNA	ATTGTCCTTTATGAAACTAATGTGCTTGCCTTGCCGAAGTCATGTC	933
PAL_Galtonia_mRNA	ATGGCCTCTACGAGGCTAACATTCTGCCGTGCTGGCGAGGTGATGTC	839
PAL_Oryza3_mRNA	ACCGTGATGTTCGACGCCAACATCCTGCCGTCTGTCGGAGGTGCTTC	906
	* *	*
PAL_Lycoris_mRNA	GGCAATTTCGAGGTATGCAGGGAAACCTGAATTCACTGACCACT	1027
PAL_Narcissus_mRNA	GGCAGATCTCTGCAGGTATGCAAGGGAAACCTGAATTCACTGACCACT	520
PAL2_Allium_cepal_mRNA	TGCGGTATTTGTGAAGTAATGCAAGGAAAGCAAGAGTTACTGATCATT	968
PAL_Allium_sativum_mRNA	TGCCCTTTCTGCAGGTATGCAAGGAAAGCCGAATTCACTGACCACT	907
PAL1_Allium_cepa2_mRNA	TGCCCTTTGTGAAGTAATGCAAGGAAACCCGAATTCACTGACCACT	983
PAL_Galtonia_mRNA	CGCGGTGTTCTGCAGGTATGCAAGGAAACCCGAGTACACGCCAACCC	889
PAL_Oryza3_mRNA	GGCGGTGTTCTGCAGGTATGAAACGCCAACCCGAGTACACGCCAACCC	956
	* *	*
PAL_Lycoris_mRNA	TGACTCACAAAATTGAAGCACCATTCCAGGCCAACATTGAAGGCTGCTGCA	1077
PAL_Narcissus_mRNA	TGACTCACAGCTGAAGCACCATTCCAGGCCAACATTGAAGGCCAGCT	570
PAL2_Allium_cepal_mRNA	TGACTCACAGCTGAAGCACCATTCCAGGCCAGATTGAAGCTGCAAGCT	1018
PAL_Allium_sativum_mRNA	TAACCCACAAGTAAACATCACCCGCCAACATTGAAGGTTGCCCATC	957
PAL1_Allium_cepa2_mRNA	TAACCCACAAGCTAAAGCACCCGCCAACATTGAAGGCCAGCATT	1033
PAL_Galtonia_mRNA	TGACGCATAAGCTAACGACCATTCCGGTCAGATCGAGGCCGCCGATA	939
PAL_Oryza3_mRNA	TGACCCACAAGCTAACGACCACCCCTGGTCAGATCGAGGCCGCCATC	1006
	* *	*
PAL_Lycoris_mRNA	ATGGAACACATTGGAGGGAGCTCATATATGAAAATGCCAAGAAATT	1127
PAL_Narcissus_mRNA	ATGGAACATATTGGCGGGAGCTGCTATGAAAATGCCAAGAAATT	620
PAL2_Allium_cepal_mRNA	ATGGAGCATATATTGGAGGGAGCTGCTACATGAAAATGCCAAGAGAT	1068
PAL_Allium_sativum_mRNA	ATGGAGCACATTAGAAGGCTCTCCATACATGAAAATGCCAAGAGCT	1007
PAL1_Allium_cepa2_mRNA	ATGGAGCACATTAGAAGGCTCTCCATACATGAAAATGCCAAGAGCT	1083
PAL_Galtonia_mRNA	ATGGAGCACATTCTCGAAGGGAGCTGTCATGAAGATGCCAAGAGTT	989
PAL_Oryza3_mRNA	ATGGAGCACATTCTCGCCGGAGCTGTCATGAGCCACGCCAAGAGTT	1056
	* *	*
PAL_Lycoris_mRNA	GCATGAGCATGACCATTGCAAAGCCAAACAGGACCGATA CGCCTAC	1177
PAL_Narcissus_mRNA	ACACGAGCTGACCCGTTCCAGAACGCCAACAGGACCGATA CGCCTAC	670
PAL2_Allium_cepal_mRNA	TCATGAACCTGATCATTACAAAAACCAAAGCAAGATCGTTATGCATTAA	1118
PAL_Allium_sativum_mRNA	ACATGACATGCCAACTCCAGAACGCCAACAGCAGGACAGATA CGCCTCC	1057
PAL1_Allium_cepa2_mRNA	CCACGACAGCTCCATCTCCAAAGCCGAAGCAGGCCGTACGCCCTCC	1133
PAL_Galtonia_mRNA	GCACGAGCTGGACCCCTCGAGAACGCCAACGCCGTACGCCCTCC	1039
PAL_Oryza3_mRNA	GAACGAGATGGACCCGTCGTCAGGCCAACGCCGTACGCCCTCC	1106
	* *	*
PAL_Lycoris_mRNA	GAACCTTCACCAATGGCTAGGCCACAAATTGAAGTGTATCGATCTGCA	1227
PAL_Narcissus_mRNA	GAACGTCGCCGAGTGGCTAGGCCGAGATCGAAGTGTATCGATCCGCG	720
PAL2_Allium_cepal_mRNA	GGACCTCACCTCAATGGTTGGCTCTCAGATGAAAGTTATCGTCATCA	1168
PAL_Allium_sativum_mRNA	GAACGTCCCCACAGTGGCTGGCCCTCACATGAGGTCTTAGAGCAGCC	1107
PAL1_Allium_cepa2_mRNA	GAACGTCCCCACAGTGGCTGGCCCTCACATGAGGTCTTAGAGCAGCC	1183
PAL_Galtonia_mRNA	GGACCTCCCCGAGTGGCTGCCGCCAGATCGAGGTATCCGTCGGCG	1089
PAL_Oryza3_mRNA	GCACGTCGCCGAGTGGCTGCCGCCAGATCGAGGTATCCGCGCCGCC	1156
	* *	*
PAL_Lycoris_mRNA	ACAAATCGATCGAACAGAGAGATCAGTTGGTGAATGATAATCATTGAT	1277
PAL_Narcissus_mRNA	ACAAATCGATCGAACAGAGAGATCAATTGGTGAATGACAATCGTTGAT	770
PAL2_Allium_cepal_mRNA	ACTAAGTCTTATGAACTCGTGAAGTAAACTCGTGAATGATAATCATTGAT	1218
PAL_Allium_sativum_mRNA	ACTAAATCGATCGAACGTGAAATAAAACTCCGTGAACGACAACCCATTGAT	1157
PAL1_Allium_cepa2_mRNA	ACCAAAATCAATTGAGCGCAGATAAAACTCTGTGAACGACAACCCATTGAT	1233
PAL_Galtonia_mRNA	ACCAAGTCGATCGAGAGGGAGATCAACTCGTGAACGACAACCCATTGAT	1139
PAL_Oryza3_mRNA	ACCAAGTCGATCGAGAGGGAGTCAACTCGTGAACGACAACCCGGTGTAT	1206
	* *	*
PAL_Lycoris_mRNA	TGATGTTTCGAGGAATAAAAGCTCATGGAGGTAATTCCAAGGAACAC	1327
PAL_Narcissus_mRNA	CGACGTCCTCGAGGAATAAAAGCTCTCATGGAGGTAATTCCAAGGGACGC	820
PAL2_Allium_cepal_mRNA	CGACGTCGAAAGGAAGAAAGCTATTCTGAGGTAAATTCCAAGGGACGC	1268
PAL_Allium_sativum_mRNA	CGACGTCGAAGGAACAAAGCCGTGCACGGTGGAAACTTCCAAGGCACCC	1207
PAL1_Allium_cepa2_mRNA	CGACGTCGTCAGGAACAAAGCCGTGCATGGCGAAACTTCCAAGGGACCC	1283
PAL_Galtonia_mRNA	CGACGTCCTCAAGGAACAGGCCCTACACGGGGAAATTCCAAGGGGACCC	1189
PAL_Oryza3_mRNA	CGACGTCACCGCGCAAGGCCGTCCACGGGCCAACCTCCAAGGGCACCC	1256
	* *	*
PAL_Lycoris_mRNA	CGATTGGCGTATCAATGGATAACACTAGGCTGCAATTGCGTCAATTAGT	1377
PAL_Narcissus_mRNA	CGATTGGCGTATCGATGGATAACACCCGGCTGCCATCGCATCGT	870
PAL2_Allium_cepal_mRNA	CTATTGGGGTGTCCATGGATAATACAAGACTGCTATTGCTGCAATTGGA	1318
PAL_Allium_sativum_mRNA	CCATCGGCCTCTCCATGGACAAACACTAGACTAGCGTCGCCCATCGT	1257
PAL1_Allium_cepa2_mRNA	CCATGGCGTCTCCATGGACAAACACAAGATTAGCGTCGCCCATCGT	1333
PAL_Galtonia_mRNA	CTATGGGGTGTGCGATGGACAAACACCAGATTGGCCATCGTGCATCGGC	1239
PAL_Oryza3_mRNA	CCATCGGTGTGTCATGGACAAACGCCGTCTGCCATCGCAACATCGGC	1306
	* *	*

PAL_Lycoris_mRNA	AAGCTCATGTCGCTCAATTTCGGAACCTTG	TCAACGATTTCTACAACAA	1427
PAL_Narcissus_mRNA	AAGCTGTGTCGCTCAATTTCGGAGCTCGTCAACGACTTCTACAACAA		920
PAL2_Allium_cepal1_mRNA	AAGCTTTGTTGCACAGATGTCAGAGCTGGTTAATGATTCTACAACAA		1368
PAL_Allium_sativum_mRNA	AAACTGATGTCGACAGTTCCGAGCTGGTAACGACTTCTACAACAA		1307
PAL1_Allium_cepa2_mRNA	AAATTGATGTTGCACAGTTCCGAGCTGGTAACGACTTCTACAACAA		1383
PAL_Galtonia_mRNA	AAGCTCATGTTGCCAGTACTCAGAGCTCGTCAACGATTCTACAACAA		1289
PAL_Oryza3_mRNA	AAGCTCATGTCGCCAGTCTCCGAGCTCGAACGAGTTCTACAACAA		1356

PAL_Lycoris_mRNA	CGCACTTCCTCGAACTTATTGGTGGGC	CAAACCCAAGCTGGATTATG	1477
PAL_Narcissus_mRNA	CGGGCTTCCATCTAATTATCAGGTTGAAAGAACCTAGCTGGATTATG		970
PAL2_Allium_cepal1_mRNA	CGGGCTTCCATCTAATTATCAGGTTGAAAGAACCTAGCTGGATTATG		1418
PAL_Allium_sativum_mRNA	CGGGCTTCCATCTAATTATCAGGTTGAAAGAACCTAGCTGGATTATG		1357
PAL1_Allium_cepa2_mRNA	TGGGCTACCATCCAATTTAACCGGGCGTAAACCGGAGCTGACTACG		1433
PAL_Galtonia_mRNA	CGGATTGCCCTGAATTGTCGGTGGCGGAAACCCAGCTGGACTACG		1339
PAL_Oryza3_mRNA	CGGGCTGACCTCCAACCTGGCCGGCAGCCGAAACCGGAGCTGGACTACG		1406

PAL_Lycoris_mRNA	GATTCAAAGGAGCAGAGATCGCGATGGCGAGTTATTGTCAGAGTTGCAA		1527
PAL_Narcissus_mRNA	GATTCAAAGGAGCAGAGATCGCCATGGCGAGCTACTGTTGAGTTGCAA		1020
PAL2_Allium_cepal1_mRNA	GTGTTAAAGGGCAGAAATCGCCATGGCTGTTACTGTTCTGAGATACAG		1468
PAL_Allium_sativum_mRNA	GGTTCAAGGGTGGCGAGATGCCATGGCTCTACTGCTCGAGCTTCAG		1407
PAL1_Allium_cepa2_mRNA	GGTTCAAGGGGCCAGAGATCGCGATGGCGTCGACTGCTCCGAGCTCCAG		1483
PAL_Galtonia_mRNA	GGTTCAAGGGGCCAGAGATCGCGATGGCGTCGACTGCTCCGAGCTCCAG		1389
PAL_Oryza3_mRNA	GGTTCAAGGGCACCCAGAGATGCCATGGCTCTACTGCTCTGAGCTCCAG		1456

PAL_Lycoris_mRNA	TTTCTAGCTAATCCAGTCATAATCATGTGCAAAGTGCAGAGCACATAA		1577
PAL_Narcissus_mRNA	TTTTTAGCTAATCCAGTCATAATCACGTGAGAGTGGCGAGAGCATAA		1070
PAL2_Allium_cepal1_mRNA	TATCTGGCAACCCGTAACCTAACCATGTGAAAGTGTGAAACAGCACAA		1518
PAL_Allium_sativum_mRNA	TTTCTCGCAATCCCGTGACAACACCACGTGCGAGCGCTGAGAACACAA		1457
PAL1_Allium_cepa2_mRNA	TTTCTGGCAATCCCGTGACTAACCATGTGCAAGAGCAGCAGCACAA		1533
PAL_Galtonia_mRNA	TTTCTAGGAAACCCGGTTACAAACCATGTACAAAGCAGCAGCACAA		1439
PAL_Oryza3_mRNA	TACCTGCCAACCCATCACCAACCATGTCCAGAGCGCGAGCAGCACAA		1506

PAL_Lycoris_mRNA	TCAAGATGTGAACCTATTGGGCTAATCTCTGCTAGAAAGACTGAAGAGG		1627
PAL_Narcissus_mRNA	TCAAGATGTGAACCTCGCTGGGCTAATCTCTGCTAGAAAGACCGAAGAGG		1120
PAL2_Allium_cepal1_mRNA	TCAAGATGTCAATTCTGGGACTCATCTCTCTAGAAAGACTGCTGAGG		1568
PAL_Allium_sativum_mRNA	TCAGGACGTCAACTCCCTCGGCCATCTCCGCCAGAAAGACCGAGGAAG		1507
PAL1_Allium_cepa2_mRNA	TCAGGACGTCAACTCCCTCGGACTAATCTCCGCCAGAAAGACCGAGGAAG		1583
PAL_Galtonia_mRNA	TCAGGATGTGAACCTCGTGGGCTCATCTGGCCAGAAAGACCGGGAGG		1489
PAL_Oryza3_mRNA	TCAGGACGTGAACCTCGCTGGGCTCGTCTGCCAGGAAGACCCCTGGAGG		1556

PAL_Lycoris_mRNA	CTGTGCAAATTGAGCTAATGTCAACCACATTGGTTGGGCTATGC		1677
PAL_Narcissus_mRNA	CTGTGCAAATTGAGCTAATGTGACCACATTGGTTGGGCTATGC		1170
PAL2_Allium_cepal1_mRNA	CTGTAGAGATACTGAAACTCATGTCCTACTTCTCTAGTTGATTATGT		1618
PAL_Allium_sativum_mRNA	CCGTCACCATCTAAAGGCTATGTCGACCACATTCTGGCCCTCTGC		1557
PAL1_Allium_cepa2_mRNA	CCGTCACCATCTGAAAGGCTATGTCGACCACATTCTGGCCCTCTGC		1633
PAL_Galtonia_mRNA	CCGTCGAAATTGAGCTGATGTGTCGACGCTTCTGGTTGGGCTCTGC		1539
PAL_Oryza3_mRNA	CCGGTGGACATCTCAAGGCTATGACCTCCACATCTGGCCCTGTGC		1606

PAL_Lycoris_mRNA	CAAGCTATGAGATTGAGGCAATTGGAGGAAATTGAAGAGCACTGTGAA		1727
PAL_Narcissus_mRNA	CAAGCTATGAGATTGAGGCAATTGGAGGAAATTGAAGAGCACTGTGAA		1220
PAL2_Allium_cepal1_mRNA	CAAGCTATTGACTAAAGGCACCTAGAAGAAAATTGAATGTGCACTAA		1668
PAL_Allium_sativum_mRNA	CAGGGGGTCGATTAAGGCATCTGGAGGAGAACTTGAGGCAGGTGGTAA		1607
PAL1_Allium_cepa2_mRNA	CAGGCTATGATTACGACATCTGGAGGAGAACTGAGGAGCACGGTCAA		1683
PAL_Galtonia_mRNA	CAGGCAATCGACTGAGGCAATTGGAGGAGAACTGAGGAGCACGGTCAA		1589
PAL_Oryza3_mRNA	CAGGGCGTCGACCTTCGCCACCTCGGAGGAGAACATCAAGAGCTCCGTAA		1656

PAL_Lycoris_mRNA	AACCACTATTAGCCAAGT-TGCGAAAAGAGTGTGACAATGGGCCAAG		1776
PAL_Narcissus_mRNA	AGCCCCATCGCCAAGT-CGCGAAAAGAGCCTGACTTCGGCGTCAAT		1269
PAL2_Allium_cepal1_mRNA	AAACACTGTTAGTCAGTATGT-AAGATGTTTAACCACTGGGGTCAAT		1717
PAL_Allium_sativum_mRNA	GGCGTAGTCAGTCAGGC-GGTGAAGAGGGTGTGACCGTGGGGCGAAC		1656
PAL1_Allium_cepa2_mRNA	GAACGCTGTCAGTCAGGC-GGCAGAAGAGGGTGTGACCGTGGGGCAAC		1732
PAL_Galtonia_mRNA	GAACACGGGTTGTCAGT-TGCGAAGAGGGTGTGACCGTGGGGCAAC		1638
PAL_Oryza3_mRNA	GAACTGCGTACCCAGGT-GGCCAAGAAGGTCTCACCATGAACCCCAAC		1705

PAL_Lycoris_mRNA	GGTAGCTTCATCCTCGAGGTTTGAGAAGGATTGATCAAAGTTGT		1826
PAL_Narcissus_mRNA	GGCGAGCTTCATCCTCGAGGTTCTGCGAGAAGGATCTGATCAAGGTCT		1319
PAL2_Allium_cepal1_mRNA	GGAGAACCCCATCCATCGAGGTTTGAGGTTGAACTGACTAAAGGTGAT		1767
PAL_Allium_sativum_mRNA	GGGGAGCCTCACCTTCGAGGTTCTGCGAGAAGGATTGATAAAAGATGAT		1706

PAL1_Allium_cepa2_mRNA	GGGGAGCCCCACCCATCGAGGTTCTGCAGAAGGACCTAATAAGATGAT	1782
PAL_Galtonia_mRNA	GGCAGAGCTCCACCCGTCAGGTTCTGCAGAAGGATTGATTAAGGTGAT	1688
PAL_Oryza3_mRNA	GGCGCACCTCTCAGCGCGCCTCAGCGAGAAGAACCTCCACGCCAT	1755
*** * ***	*** * *** * *** * * *	*
PAL_Lycoris_mRNA	CGATCGCAGACTATGTTTCTACATTGATGCCCTTAGCACGACTT	1876
PAL_Narcissus_mRNA	CGATCGCAGACGCTTCTCACGTCAGCAGCCTTGAGCGCAGCTT	1369
PAL2_Allium_cepa1_mRNA	TGATAGAGATATGATTTCATACATTGATGCCCATGCCAGACAT	1817
PAL_Allium_sativum_mRNA	CGAAAGGGAGTACGTGTTCACGTAGCGGAGCGCTGCAGCGCAGGGT	1756
PAL1_Allium_cepa2_mRNA	CGACAGGAGTACGTGTTACATATGTCAGATGCCCTGCAGCGCAGGT	1832
PAL_Galtonia_mRNA	CGACAGGGAGTATGTTGATACATCGATGCCCTGCAGCGCAGGT	1738
PAL_Oryza3_mRNA	CGACCGCGAGGGCTGTTCAGCTAGCGACGCCGTGAGGCCAACT	1805
*** * ***	*** * *** * *** * *** * *** * ***	*
PAL_Lycoris_mRNA	ACCCTTAATGCAAAATTGAGACAATACTAGTCGAGCACGCATTGAA	1926
PAL_Narcissus_mRNA	ACCCTTAATGCAAAGACTGAGACAAGTACTGGTCAGCACCGCTGAGC	1419
PAL2_Allium_cepa1_mRNA	ATCCATTGATGGAGAAACTGAGACAAGTTCTGTACAGCATGCACTGAAC	1867
PAL_Allium_sativum_mRNA	ACCCCTCTGATGCGAGGGAGTGCAGGAGCTCGCTGACCAGCTGGGC	1806
PAL1_Allium_cepa2_mRNA	ACCCATTGATGCGAGGGAGTGCAGGAGCTCGCTGACCAGCTGGCTAGGC	1882
PAL_Galtonia_mRNA	ACCCCTTGATGCGAGGGAGTGCAGGAGCTCGCTGAGCATGCCCTCGGC	1788
PAL_Oryza3_mRNA	ACCCGCTCATGCGAGGCTCCGCCGTGCTCGTGCAGCACGCCCTCAC	1855
*** * ***	*** * *** * *** * *** * *** * ***	*
PAL_Lycoris_mRNA	AATGGTGAGAAGGAAAAGGATGCAAATACTTCGATTTTCAGAAGATCTC	1976
PAL_Narcissus_mRNA	AATGGCGAGAAGGAAAAGATGCAAATACTTCGATCTTCGAGAAGATCTC	1469
PAL2_Allium_cepa1_mRNA	AATGGAGAAAATGAAAGGACTTCAACACCTCAATCTTCAAAGAAGATTGC	1917
PAL_Allium_sativum_mRNA	AATGTAGAGAGGGAGGAGATGCCGAGACTCGATATTTCAGAAGATCGG	1856
PAL1_Allium_cepa2_mRNA	AACGGGGAGAGAGAAGGATTCAAGAGACCTCGATATTTCATAAGATCGG	1932
PAL_Galtonia_mRNA	AATGGGGACAAGAGAAGGACCACACGGCGATCTTCACAAGAATTGC	1838
PAL_Oryza3_mRNA	AGCGGCCGACCCCGAG-----CCGAGGCTCCGTGTTCCAAGAATCAC	1899
*** * ***	*** * *** * *** * *** * *** * ***	*****
PAL_Lycoris_mRNA	TGCTTTGAGGAGGAGTGAACGTAGTTCTGCCGAAAGAAGTCGAAAACG	2026
PAL_Narcissus_mRNA	TGCTTTGAGGACGAGTGAAGGTGGTCTGGCAAAGAAGTCGAAAACG	1519
PAL2_Allium_cepa1_mRNA	AGCTTTGAGACAGAACTGAAGGCAAAGCTCTTCAAAGAAGTAGAGGGCG	1967
PAL_Allium_sativum_mRNA	GGCGTTCGAGGGAGGAGTTGAAGGAGCACATTGCCGAAAGAGGTGGAGGCAG	1906
PAL1_Allium_cepa2_mRNA	GGCGTTCGAGGGAGGAGTTGAAGGAGCTGGCCAAAGAGGTGGAGTTG	1982
PAL_Galtonia_mRNA	GGTGTTCGAGGGAGGAGCTGGCGCTGGCGAAGGGAGTGGAGGCGG	1888
PAL_Oryza3_mRNA	CAAGTTCAGGGAGGAGCTCCGCTCGCCTGCGCTGCCGCGGAGATCGAGGGCG	1949
*** * ***	*** * *** * *** * *** * *** * ***	*
PAL_Lycoris_mRNA	CCTGGGTTGCTTACAGAGAATGGAACTTCAGCCATTAAGAACAGGATTGAG	2076
PAL_Narcissus_mRNA	CCAGGGTAGCTTACAGGAATGGACTTCAGCCATTAAGAACAGGATCAAG	1569
PAL2_Allium_cepa1_mRNA	CTAGGCTTCAGTAGAGAATGGAGTGCAGTGGTCTCTAATAGAATAAA	2017
PAL_Allium_sativum_mRNA	TAAGGGTGGATTGATAATGAAAGTGCAGCGGTACCGAACAGGATAAGG	1956
PAL1_Allium_cepa2_mRNA	TAAGGGCGGGTTGAAATGAAATGTTGATATTGCGAACAGGATAAAAG	2032
PAL_Galtonia_mRNA	CGAGAGTGGCGTCAGAGGAGGGACCTGGCGAACAGAACATCAAG	1938
PAL_Oryza3_mRNA	CCCGCGTCGCCGCGCCACGGCACCGCCCCGTCGCCAACCGATCGTC	1999
*** * ***	*** * *** * *** * *** * *** * ***	*
PAL_Lycoris_mRNA	GACTGCAGGTCTTACCTTGTATAGGTTGTAAGGGAGGAGATTGGGAC	2126
PAL_Narcissus_mRNA	GAGTCAGGTCTTACCTTGTACAGGTTCTGAGGGAGGAGATCGGGAC	1619
PAL2_Allium_cepa1_mRNA	GAATGCAGGTCTATCCACTGTATAAGTTATCGAGAACAGGCTGGAA	2067
PAL_Allium_sativum_mRNA	GAGTCAGGTCTACCCATTGATAGATGGTGAAGGGAGGAGCTGGAGC	2006
PAL1_Allium_cepa2_mRNA	GAGTGCAGGTCTACCCATTGATAGACTGGTGAAGGGAGGAGCTGGAGC	2082
PAL_Galtonia_mRNA	GAATGCAGGTCTATCCATTGATAGGCTGAGGGATGAGCTGGGAC	1988
PAL_Oryza3_mRNA	GAGAGCCGGTCTTCCCCTCACCGCTCGCCGAGGAGCTGGCTG	2049
*** * ***	*** * *** * *** * *** * *** * ***	*
PAL_Lycoris_mRNA	TAGTTTGCTTACAGGCAGGGAGTTGATGCCCTGGAGAGGAGTTGACA	2176
PAL_Narcissus_mRNA	TGGTTTGCTTACGGGGAGAAATGTCATCGCTGGAGAGGAGTTGACA	1669
PAL2_Allium_cepa1_mRNA	AGGCTTCTGACAGGGGAGAGAACACATCACCTGAGGGAGTTGACA	2116
PAL_Allium_sativum_mRNA	GGGGTATCTGACTGGGGAGGGAGAACGAGTCCTGGGGAGGTGTTGAGA	2056
PAL1_Allium_cepa2_mRNA	GGGGTATCTGCTGGGGAGGGAGAACGAGTCCTGGGGAGGTGTTGAGA	2132
PAL_Galtonia_mRNA	TGGGTATTTGACCGAGAGAACGGTCTGGTCCGGGGAGGGAGTTAAC	2038
PAL_Oryza3_mRNA	CGTATTCCTCACCGCCGAGAACGCTCAAGTCCCCGGCGAGGAGTGCAC	2099
*** * ***	*** * *** * *** * *** * ***	*
PAL_Lycoris_mRNA	AGGTTTCAATGCGATTGCAAGGAAAGTGGTGTACCTCTTCTTGAG	2226
PAL_Narcissus_mRNA	AGGTTTACCAAGCGATTGCGAGGGAAAGTGGTGTACCTCTTCTTGAG	1719
PAL2_Allium_cepa1_mRNA	AAGTATTGTCGGTATTGCAAGGAAAGATTAGATCCAATGCTTGAG	2166
PAL_Allium_sativum_mRNA	AGGTGTTCGAGGGCTTGCAGGGAAAGCTGCTGAGCCACTGCTAGAG	2106
PAL1_Allium_cepa2_mRNA	AGGTGTTGAGGGCTTGCAGGGAAAGCTGCTGGGATCCGCTGCTGAG	2182
PAL_Galtonia_mRNA	AGGTGTTCGACGATTGTCAGGGAAAGCTGATCGATCCGCTGCTTGA	2088
PAL_Oryza3_mRNA	AGGTGTTCTCGGCTACGCCAGGGCAAGCTCATGCAACCCATGCTCGAC	2149
*** * ***	*** * *** * *** * *** * *** * ***	*
PAL_Lycoris_mRNA	TGCTGGAGGATTGGAATGGTGTCCCTTCCATATGCTAGAGCTGATT	2276

PAL_Narcissus_mRNA	TGCTTGAGGATTGGAATGGTGCCTCTTCCCATATGCTAGAG-----	1763
PAL_Allium_cepal1_mRNA	TGCTTGAAGGAATGGAATGGTGAGCCTCTTCCCATATGCTG-----	2207
PAL_Allium_sativum_mRNA	TGCTTGAGGAGTGGATGGTCACCTGTGCCCATTTGTTA-----	2147
PAL1_Allium_cepa2_mRNA	TGCTTGCAGGAGTGGATGGTCACCTGTGCCCATTTGTTA-----	2224
PAL_Galtonia_mRNA	TGCTGTCGGAGTGGAACGGAGCTCCCTGCCCATTTGCTAG-----	2130
PAL_Oryza3_mRNA	TGCTCTCAAGGAGTGGAACCGCGAGCCCCCTCCCATCAACTAAGCCAAGAT	2199
	*** * *** *** * * * * *** *	*
PAL_Lycoris_mRNA	CAAGTG-AAGTGTGATT-----	2293
PAL_Narcissus_mRNA	-AAAGTGGAAAGCTGTGATT-----	1780
PAL2_Allium_cepal1_mRNA	-AAATC---ACCGCGTT-----	2221
PAL_Allium_sativum_mRNA	-GAGTT---ACAGTGTGT-----	2161
PAL1_Allium_cepa2_mRNA	-GAGTT---ACAGTGAGT-----	2238
PAL_Galtonia_mRNA	-----	
PAL_Oryza3_mRNA	CCCATGCCATTGCCATTGCCATACACCCATCATCGAGGAGGAGGAGA	2249
PAL_Lycoris_mRNA	-----CATTCTCAGCTTC-----	2306
PAL_Narcissus_mRNA	-----CATTCTGGATGA-----	1793
PAL2_Allium_cepal1_mRNA	-----TAACCTAAAAACAA-----	2236
PAL_Allium_sativum_mRNA	-----GA---AAA-----	2166
PAL1_Allium_cepa2_mRNA	-----GA---AAA-----	2243
PAL_Galtonia_mRNA	-----	
PAL_Oryza3_mRNA	CTAAAAATAAAAGAAAACGAACCCTCGTGTATCTCAGACAAAAAAGA	2299
PAL_Lycoris_mRNA	--TTGTACTTA-ATTGTT-----GTTTG-TTAAGGTTGAAATGTGTA	2344
PAL_Narcissus_mRNA	--TTGTACTTG-ATTGTT-----GTTTG-TTAAGGTTGAAATGTCTA	1831
PAL2_Allium_cepal1_mRNA	-TTTGAATCTGAAAAAT-----GTTTG-TTAA-----AGCGTATA	2271
PAL_Allium_sativum_mRNA	--TTTATTCT-GT-----GTTTG-TGAAA-----TA	2187
PAL1_Allium_cepa2_mRNA	--TGGATTC-TT-----GCATG-TGAAA-----TA	2264
PAL_Galtonia_mRNA	-----	
PAL_Oryza3_mRNA	CCCTGTATTTCTCGTGTGCGTTGGTTATAGTGATCTCGTGT	2349
PAL_Lycoris_mRNA	ATGAGTATTTGTT--TCTTCTTCTTGAC-TTGATTGTTCTTATTT	2391
PAL_Narcissus_mRNA	ATTTGTATTTAT--TCTTCTTCTTGCCATTCTGAAAGCAAGCATCTT	1879
PAL2_Allium_cepal1_mRNA	ACTATTATT-ATT-TATTGTAAT-TTTGTTTTTAT-----	2303
PAL_Allium_sativum_mRNA	GT-AATGTTA-----	2196
PAL1_Allium_cepa2_mRNA	GT-AATGTTTATT--TGCGTGTGATTATG-TTTTAATGATTGAAAGCT	2310
PAL_Galtonia_mRNA	-----	
PAL_Oryza3_mRNA	CTTTGTGTTAGCTGCTCAGCTTGCAGCCATGGCGCAAAGCAAG	2399
PAL_Lycoris_mRNA	GTG--AATGCAG-AGGATTATCT-TGA--TGTATTTA--CC-----ATTCA	2429
PAL_Narcissus_mRNA	GAGTTAAT-CA---AGCACCATGAATAA--TCGATTGAAACCCGAAGTTG	1924
PAL2_Allium_cepal1_mRNA	-----ATGAA---AAAATTGTTG-TAA--TGTTT-----CC-----	2329
PAL_Allium_sativum_mRNA	-----	
PAL1_Allium_cepa2_mRNA	AAGAGCATATTTGAATGAAAGTTA--TACATTTA-----	2345
PAL_Galtonia_mRNA	-----	
PAL_Oryza3_mRNA	CGGCTTTCTAA-GATATTGTCGCTAAACTGTATTTGGGTGAAAGTAT	2448
PAL_Lycoris_mRNA	TGA-AT-CAA-GCAT---CTTGAAATTTAAAAA-----AAAAAAA	2461
PAL_Narcissus_mRNA	TAATATGCAATGCATGTCTATTCTTATCAAAAA-----AAAAAAA	1966
PAL2_Allium_cepal1_mRNA	-----TTTTCCCAAAA-----AAAAAAA	2349
PAL_Allium_sativum_mRNA	-----TTTGCAGAAAA-----AAAAAAA	2363
PAL1_Allium_cepa2_mRNA	-----	
PAL_Galtonia_mRNA	TGCTACTCGA-----TTCCATCCTAAAAAGTTGTTGAAATAGAA	2488
PAL_Oryza3_mRNA	-----	
PAL_Lycoris_mRNA	AA----- 2463	
PAL_Narcissus_mRNA	AAAA----- 1970	
PAL2_Allium_cepal1_mRNA	-----	
PAL_Allium_sativum_mRNA	-----	
PAL1_Allium_cepa2_mRNA	-----	
PAL_Galtonia_mRNA	-----	
PAL_Oryza3_mRNA	ATGTTTGATCCT 2501	

Figura 25. Alineamiento múltiple de secuencias de ARNm de especies reportadas en la base de datos del NCBI. Las secuencias corresponden a la enzima TYDC. Las regiones resaltadas corresponden a las regiones de referencia para el diseño de cebadores

TYDC4_Setaria_mRNA	TGGTGGACTGGATGGGCCGGCTGCTCGGCCTGCCAAGCCGGCTACTCTTCGGC--G 519
TYDC_Oryza4_mRNA	TGGTGGACTGGATGGCTAGGGCTGGTGGGCTTGCCGTATCGCTTCCTTCGGCTCCG 448
TYDC_Oryza2_mRNA	TCGTTGGACTGGCTCGGCAGGGCGCTGCACCTGCCGGAGAGCCTTCGCCC--G 652
	* *
TYDC_Zea_mRNA	GCGCGGCCGGC-----TGCTACAGGGAGCACGTGCGAGGCCGTGG 535
TYDC_Sorghum_mRNA	GCGCGGCCGGC-----TGCTGCAGGGAGCACGTGCGAGGCCGTGG 616
TYDC4_Setaria_mRNA	GCGGTGGTGGCG-----TCCTCAGGGAGCACGTGCGAGGCCGTGG 561
TYDC_Oryza4_mRNA	GCGCGGCCGGCAGGGCGGTGGCGTGGTCTGCAGGGAGCACCTGCGAGGCCGTGG 508
TYDC_Oryza2_mRNA	GAGGCCGGCA-----CGATCCGGCACGTGCGAGGCCGTCC 694
	* *
TYDC_Zea_mRNA	TGTGACGCTCGCCGCGGGACCGCGCCTGGCTAGGTGGGGCACAGAG-AGCATC 594
TYDC_Sorghum_mRNA	TGTGACGCTCGCCGCGGGACCGCGCCTGCACAGGCTGGGACAGAC-AGCATC 675
TYDC4_Setaria_mRNA	TCTGCACGCTCGCCGCGGGACCGCGCCTGGGACAGCAG-GCCATC 620
TYDC_Oryza4_mRNA	TGTGACGCTCGCCGCGGGACCGCGCCTGGGAGGATTGGGACAGAG-GGCATC 567
TYDC_Oryza2_mRNA	TCTGCGGCTCTGCCGCGAGGGACCGGAAGCTGGGGAGATCGG-CGCGAGGAGGATC 753
	* *
TYDC_Zea_mRNA	GTGAAGCTGGTGGCTACGCCCTGGACAGACGCACGCCACCTTCAGAAGGGCGCG 654
TYDC_Sorghum_mRNA	ATCAAGCTGGTGGCTACGCCCTGGACAGACGCACCTTCAGAAGGGCGCG 735
TYDC4_Setaria_mRNA	ATGAAGCTGGTGGCTACACCTCCGACAGACGCACGCCACATTCAGAAGGGCGCG 680
TYDC_Oryza4_mRNA	GTGAAGCTGGTGGTGAAGCCCTGGACAGACGCACCCACTTCAGTGGGAGGATGGGACAGAG-GGCATC 627
TYDC_Oryza2_mRNA	GGCGAACCTCGTGTACTCGTCCGACAGACCCACTTCAGTGGGAGGATGGGACAGAG-GGCATC 813
	* *
TYDC_Zea_mRNA	CTGGTGGGCATCCCGCGTCCAACCTCCCGCTCATCCGGACG-ACGTCGGCCTCCGGTA 713
TYDC_Sorghum_mRNA	CTCGTGGGCATCCCGCGTCCAACCTCCCGCTCATCCAGACG-ACGCGGCCCTCCGGTA 794
TYDC4_Setaria_mRNA	CTCGTTGGCATCCCGCGTCCAACCTCCCGCTCATCCGACG-TCGCGGCCCTCCGGTA 739
TYDC_Oryza4_mRNA	CTGGTCGGCATCACCGCGGAACCTCCCGCTGTCCGACG-GCGCGGCCGTCGGGTA 686
TYDC_Oryza2_mRNA	ATGCCGGGATACCGCGGAGACTGCCGAGATAACCGACGTGCCCGACGAC-TGTGTT 872
	* *
TYDC_Zea_mRNA	CGGCCTGACGGCGACGACG-TCCCGCCGCGGTGATCGCAGCTGCACGCGCCTGG 772
TYDC_Sorghum_mRNA	CGGCCTGACGCCGACCGC-TCCCGCCGCGGTGACAGCGACGCGGCCCTCCGGTA 853
TYDC4_Setaria_mRNA	CGGCCTTACCCGCCGACGCC-TCCCGCCGCGGTGATCGCAGCTGCCAGCGGCCCTGG 798
TYDC_Oryza4_mRNA	CGGCCTGACGGGCCGCCG-TGCCGCGCGTGGAGGGCGACGTGGCGGCCGGCTGG 745
TYDC_Oryza2_mRNA	CGCGCTC-TCGCGACCGCGCTGCATGCCCATCGAGGCCGACGTCGACGCCGGCTGG 931
	* *
TYDC_Zea_mRNA	TGCCGCTGTACCTCTGCCAACGGTGGGACCAACCGGGCTCGGCCGCGTCGACCGCTGC 832
TYDC_Sorghum_mRNA	TGCCGCTGTACCTCTGCCAACGGTGGGACGACGGGCTCGGCCGCGTCGACCACTGTC 913
TYDC4_Setaria_mRNA	TGCCCTCTGACTCTGCGCCACGGTGGGACAGCGGGCTCGGCCGCGTCGACCCCGTGC 858
TYDC_Oryza4_mRNA	TCCCCTGTACTCTGCGCCACGGTGGGACACCGGGATCGGCCGCGTCGACCCCGTCC 805
TYDC_Oryza2_mRNA	TCCCCCTGTTCTGTGCCAACGGTGGGACACCCAGACTACCGCGTGGACCCCGTCC 991
	* *
TYDC_Zea_mRNA	GCGAGCTCGGAGAGGA--GGCGCGGACACGGCATGGTGCACGTGGACCGCG 889
TYDC_Sorghum_mRNA	GCGAGCTCGGAGAGGA--GGCGCGGCCACGGCATGGTGCACGTGGACCGCG 970
TYDC4_Setaria_mRNA	GCGAGCTCGGGAGGA--GGCGCGGCCACGGATGTGGCTCACGTAGACGCCCGT 915
TYDC_Oryza4_mRNA	GCGAGCTCGGCAGGT--GGCGCGGCCACGGCATGTGGCTCACGTGACGCCCGT 862
TYDC_Oryza2_mRNA	GCGAGCTCTGGCGCGTCGCCGCGGCCACGGCGTGGGTGACGTGGACCGCGCGT 1051
	* *
TYDC_Zea_mRNA	ACGCCGG--CAGCGCGGCCATCGCCGGAGTTCACGGGCTACCTCGATGGCGCGAGCT 947
TYDC_Sorghum_mRNA	ACGCCGG--CAGCGCGGCCATCGCCGGAGTTCACGGGCTACCTCGATGGCGCGAGCT 1028
TYDC4_Setaria_mRNA	ACGCCGG--CAGCGCGGCCATCGCCGGAGTACCGGGCTACCTCGACGGCGCCGAGCT 973
TYDC_Oryza4_mRNA	ACGCCGG--CAGCGCGGCCATCGCCGGAGTACCGGGCTACCTCGACGGCGCCGAGCT 920
TYDC_Oryza2_mRNA	ACGCCGGTGCCTGGCTG--GTCTGGCCGAGTTCCTGGCGACGTGATGCCGGCGCCGAGGC 1109
	* *
TYDC_Zea_mRNA	CGCCGACTCGGTGAGCATGAACCGCACAAAGTGGTCTCACCACCGGACTGCTGCTG 1007
TYDC_Sorghum_mRNA	CGCCGACTCGGTGAGCATGAACCGCACAAAGTGGTCTCACCACCGGACTGCTGCTG 1088
TYDC4_Setaria_mRNA	CGCCGACTCATGGTGGCATGAACCGCACAAAGTGGTCTCACCACATGGACTGCTGCTG 1033
TYDC_Oryza4_mRNA	CGCCGACTCGGTGAGCATGAACCGCACAAAGTGGTCTCACCACATGGACTGCTGCTG 980
TYDC_Oryza2_mRNA	CGTCGACTCGCTCAGCATGAACCGCACAAAGTGGTCTCACCACATGGACTGCTGCG 1169
	* *
TYDC_Zea_mRNA	TCTGTGGGTGGCAAGGCCAGGTGCCCTGACCTCCGGCTGTGCCACCGACCCGGAGTAC-- 1065
TYDC_Sorghum_mRNA	TCTGTGGGTGGCAAGGCCAGGTGCCCTGACCTCCGGCTGTGCCACCGACCCGGAGTAC-- 1146
TYDC4_Setaria_mRNA	CCTGTGGGTGGCAAGCCCCCGTGCACCTAACCTCAGCGCTGTGCCACCGATCGGAGTAC-- 1091
TYDC_Oryza4_mRNA	CCTCTGGGTGGCAGCCCCCGCCGCTCACGCCCGCTGTGCCACCGACCCGGAGTAC-- 1038
TYDC_Oryza2_mRNA	GGTGTGGGTGGCGCGCCGCTGCCGCTGTGGCGGCTGGCACGGAGCAGGAGTACAT 1229
	* *
TYDC_Zea_mRNA	-CTCAAGAACGTGCGCA-CGGACGGCACGGGGAGCCGG-----CGCCATAGACTA 1115
TYDC_Sorghum_mRNA	-CTCAAGAACGTGCGCA-CGGGGG--GAAGAACGCCGG-----CGCCATAGACTA 1193
TYDC4_Setaria_mRNA	-CTCAAGAACGTGCGCA-CAAACGGCACGGGGAGCCGG-----CGCCATAGACTA 1141
TYDC_Oryza4_mRNA	-CTCAAGAACGCCGCCGGGGAGCCCCAGGCCGCCGCCGCCATCGACTA 1097
TYDC_Oryza2_mRNA	CCTCAGGAGCG-CGGCGCGGGAGGCC-----ACGAC-----GTCGT CGACTA 1271
	* *

TYDC4_Setaria_mRNA	-----AAAAG-----ATTATGCTGGGGCT-----ACAA 1719
TYDC_Oryza4_mRNA	-----
TYDC_Oryza2_mRNA	-----GACTAA-----ATTAGT-----AGA 1864
TYDC_Zea_mRNA	AAAAAC-----1632
TYDC_Sorghum_mRNA	AAAACAGCTCACAAACAGCTCGGTCTAAAGTCTTACCCGAGCTAGTGGACAACTTGCACG 1917
TYDC4_Setaria_mRNA	GTGGTCACCCGT--CAG--CAATCTTGAG--CTAGCACAAATACCATAATGTCCTGACGGG 1773
TYDC_Oryza4_mRNA	-----
TYDC_Oryza2_mRNA	GAGATTAATTGTG-TTGCATTATTAAA-----AAAAGAATTATAGAATAATTT-ATAAA 1917
TYDC_Zea_mRNA	-----
TYDC_Sorghum_mRNA	T----- 1918
TYDC4_Setaria_mRNA	CGTCTG 1779
TYDC_Oryza4_mRNA	-----
TYDC_Oryza2_mRNA	TAAGT- 1922

Figura 26. Alineamiento múltiple de secuencias de ADNc correspondientes al inserto para la enzima OMT en plásmidos recombinantes. Transformación proveniente de amplificados de ADNc obtenidos a partir de muestras de *Z. carinata*.

CLUSTAL 2.1 multiple sequence alignment	
IA-025iv_OMT_Colonia2	TTGCTCGTCGCCAGTCGTGCAAATCCACTTCATGAAAATGGCATCTC 50
IA-025iv_OMT_Colonia7	TTGCGCGTCGTTCCAGTCGTGCAAATCCACTTCATGAAAATGGCATCTC 50
IA-036_OMT_Colonial10	TTGCTCGTCGCCAGTCGTGCAAATCCACTTCATGAAAATGGCATCTC 50
IA-021iv_OMT_Colonia4	TTGCTCGTCGCCAGTCGTGCAAATCCACTTCATGAAAATGGCATCTC 50
IA-100_OMT_Colonial	TTGCGCGTCGTTCCAGTCGTGCAAATCCACTTCATGAAAATGGCATCTC 50
IA-025iv_OMT_Colonia17	TTGCGCGTCGTTCCAGTCGTGCAAATCCACTTCATGAAAATGGCATCTC 50
IA-036_OMT_Colonial17	TTGCGCGTCGTTCCAGTCGTGCAAATCCACTTCATGAAAATGGCATCTC 50
IA-021iv_OMT_Colonia9	TTGCGCGTCGTTCCAGTCGTGCAAATCCACTTCATGAAAATGGCATCTC 50
IA-036_OMT_Colonial9	TTGCTCGTCGCCAGTCGTGCAAATCCACTTCATGAAAATGGCATCTC 50
IA-025iv_OMT_Colonia8	TTGCGCGTCGCCAGTCGTGCAAATCCACTTCATGAAAATGGCATCTC 50
IA-021iv_OMT_Colonia20	TTGCGCGTCGTTCCAGTCGTGCAAATCCACTTCATGAAAATGGCATCTC 50
	***** ***** ***** ***** ***** ***** ***** *****

IA-025iv_OMT_Colonia2	AGAACATCTTCTTGGTATGATGGTGGAGTGA----- 280
IA-025iv_OMT_Colonia7	AGAACATCTTCTTGGTATGATGGTGGAGTGA----- 280
IA-036_OMT_Colonial10	AGAACATCTTCTTGGTATGATGGTGGAGTGA----- 280
IA-021iv_OMT_Colonia4	AGAACATCTTCTTGGTATGATGGTGGAGTGA----- 280
IA-100_OMT_Colonial	AGAACATCTTCTTGGTATGATGGTGGAGTGA----- 280
IA-025iv_OMT_Colonia17	AGAACATCTTCTTGGTATGATGGTGGAGTGA----- 280
IA-036_OMT_Colonial17	AGAACATCTTCTTGGTATGATGGTGGAGTGA----- 280
IA-021iv_OMT_Colonia9	AGAACATCTTCTTGGTATGATGGTGGAGTGA----- 280
IA-036_OMT_Colonial9	AGAACATCTTCTTGGTATGATGGTGGAGTGA----- 280
IA-025iv_OMT_Colonia8	AGAACATCTTCTTGGTATGATGGTGGAGTGA----- 280
IA-021iv_OMT_Colonia20	AGAACATCTTCTTGGTATGATGGTGGAGTGA----- 280

IA-025iv_OMT_Colonia2	-----
IA-025iv_OMT_Colonia7	-----
IA-036_OMT_Colonial10	-----
IA-021iv_OMT_Colonia4	-----
IA-100_OMT_Colonial	-----
IA-025iv_OMT_Colonia17	-----
IA-036_OMT_Colonial17	-----
IA-021iv_OMT_Colonia9	ACAAACAAAGTTAAACTCGCGCCGTAGCCATCAATGTCCAAGGGACACG 350
IA-036_OMT_Colonial9	-----
IA-025iv_OMT_Colonia8	-----
IA-021iv_OMT_Colonia20	-----
IA-025iv_OMT_Colonia2	-----TTC----- 283
IA-025iv_OMT_Colonia7	-----TTC----- 283
IA-036_OMT_Colonial10	-----TTC----- 283
IA-021iv_OMT_Colonia4	-----TTC----- 283
IA-100_OMT_Colonial	-----TTC----- 283
IA-025iv_OMT_Colonia17	-----TTC----- 283
IA-036_OMT_Colonial17	-----TTC----- 283
IA-021iv_OMT_Colonia9	CGAACATAATTTAATAATAGGTATCGCGCTATCAACAAACCGACCTCAA 400
IA-036_OMT_Colonial9	-----TTC----- 283
IA-025iv_OMT_Colonia8	-----TTC----- 283
IA-021iv OMT Colonia20	-----TTC----- 283

IA-025iv_OMT_Colonia2	-----	
IA-025iv_OMT_Colonia7	-----	
IA-036_OMT_Colonial0	-----	
IA-021iv_OMT_Colonia4	-----	
IA-100_OMT_Colonial	-----	
IA-025iv_OMT_Colonia17	-----	
IA-036_OMT_Colonial17	-----	
IA-021iv_OMT_Colonia9	CCACTAATTCTACACTGCGAAAAGAATCAAGATCTCTAAAATAACATCAC	450
IA-036_OMT_Colonial9	-----	
IA-025iv_OMT_Colonia8	-----	
IA-021iv_OMT_Colonia20	-----	
IA-025iv_OMT_Colonia2	-----CTCATCCC-----TTCG-TTG-----	298
IA-025iv_OMT_Colonia7	-----CTCATCCC-----TTCG-TTG-----	298
IA-036_OMT_Colonial0	-----CTCATCCC-----TTCG-TTG-----	298
IA-021iv_OMT_Colonia4	-----CTCATCCC-----TTCG-TTG-----	298
IA-100_OMT_Colonial	-----CTCATCCC-----TTCG-TTG-----	298
IA-025iv_OMT_Colonia17	-----CTCATCCC-----TTCG-TTG-----	298
IA-036_OMT_Colonial17	-----CTCATCCC-----TTCG-TTG-----	298
IA-021iv_OMT_Colonia9	CAGTATCTACCAGCCTGCTCATCACCAAATCATTGATTACGCAAGAAT	500
IA-036_OMT_Colonial9	-----CTCATCCC-----TTCA-TTG-----	298
IA-025iv_OMT_Colonia8	-----CTCATCCC-----TTCA-TTG-----	298
IA-021iv_OMT_Colonia20	-----CTCATCCC-----TTCA-TTG-----	298
***** * *** **		
IA-025iv_OMT_Colonia2	-----A-----	299
IA-025iv_OMT_Colonia7	-----A-----	299
IA-036_OMT_Colonial0	-----A-----	299
IA-021iv_OMT_Colonia4	-----A-----	299
IA-100_OMT_Colonial	-----A-----	299
IA-025iv_OMT_Colonia17	-----A-----	299
IA-036_OMT_Colonial17	-----A-----	299
IA-021iv_OMT_Colonia9	GATACAGATAGCAAATACTCAGACACCCCTATAACACACACCAGGAACATA	550
IA-036_OMT_Colonial9	-----A-----	299
IA-025iv_OMT_Colonia8	-----A-----	299
IA-021iv_OMT_Colonia20	-----A-----	299
*		
IA-025iv_OMT_Colonia2	AAACCTTGTGAAT-----CTTGGGTC-----CGTGC	326
IA-025iv_OMT_Colonia7	AAACCTTGTGAAT-----CTTGGGTC-----CGTGC	326
IA-036_OMT_Colonial0	AAACCTTGTGAAT-----CTTGGGTC-----CGTGC	326
IA-021iv_OMT_Colonia4	AAACCTTGTGAAT-----CTTGGGTC-----CGTGC	326
IA-100_OMT_Colonial	AAACCTTGTGAAT-----CTTGGGTC-----CGTGC	326
IA-025iv_OMT_Colonia17	AAACCTTGTGAAT-----CTTGGGTC-----CGTGC	326
IA-036_OMT_Colonial17	AAACCTTGTGAAT-----CTTGGGTC-----CGTGC	326
IA-021iv_OMT_Colonia9	AAACCTTGTGAAT-----CTTGGGTC-----CGTGC	326
IA-036_OMT_Colonial9	AAACCTTGTGAAT-----CTTGGGTC-----CGTGC	326
IA-025iv_OMT_Colonia8	AAACCTTGTGAAT-----CTTGGGTC-----CGTGC	326
IA-021iv_OMT_Colonia20	AAACCTTGTGAAT-----CTTGGGTC-----CGTGC	326
***** * *** ****		
IA-025iv_OMT_Colonia2	CG---TGGTA-----TTC-----	336
IA-025iv_OMT_Colonia7	CG---TGGTA-----TTC-----	336
IA-036_OMT_Colonial0	CG---TGGTA-----TTC-----	336
IA-021iv_OMT_Colonia4	CG---TGGTA-----TTC-----	336
IA-100_OMT_Colonial	CG---TGGTA-----TTC-----	336
IA-025iv_OMT_Colonia17	CG---TGGTA-----TTC-----	336
IA-036_OMT_Colonial17	CG---TGGTA-----TTC-----	336
IA-021iv_OMT_Colonia9	TAGATTGGAAAAAACCTAATATGCCCACTTCCAAAACCTCCCCAATTT	650
IA-036_OMT_Colonial9	CA---TGGTA-----CTG-----	336
IA-025iv_OMT_Colonia8	CA---TGGTA-----CTG-----	336
IA-021iv_OMT_Colonia20	CA---TGGTA-----CTG-----	336
***** *		
IA-025iv_OMT_Colonia2	-----	
IA-025iv_OMT_Colonia7	-----	
IA-036_OMT_Colonial0	-----	
IA-021iv_OMT_Colonia4	-----	
IA-100_OMT_Colonial	-----	
IA-025iv_OMT_Colonia17	-----	
IA-036_OMT_Colonial17	-----	
IA-021iv_OMT_Colonia9	CCACTCACACTGAAGAGAAAACAGAAAACTGGATGAAAAATATATATCACA	700
IA-036_OMT_Colonial9	-----	
IA-025iv_OMT_Colonia8	-----	
IA-021iv OMT Colonia20	-----	

IA-025iv_OMT_Colonia2	--GAACGCGGT-----	CATTCCAT-----	353
IA-025iv_OMT_Colonia7	--GAACGCGGT-----	CATTCCAT-----	353
IA-036_OMT_Colonial0	--GAACGCGGT-----	CATTCCAT-----	353
IA-021iv_OMT_Colonia4	--GAACGCGGT-----	CATTCCAT-----	353
IA-100_OMT_Colonial	--GAACGCGGT-----	CATTCCAT-----	353
IA-025iv_OMT_Colonia17	--GAACGCGGT-----	CATTCCAT-----	353
IA-036_OMT_Colonial17	--GAACGCGGT-----	CATTCCAT-----	353
IA-021iv_OMT_Colonia9	AAAAACGCGGTAAATTCTTTCTACGTCACTCATTATCACACACAAAAA		750
IA-036_OMT_Colonial9	--GAATGCACT-----	CATTCCGT-----	353
IA-025iv_OMT_Colonia8	--GAATGCACT-----	CATTCCGT-----	353
IA-021iv_OMT_Colonia20	--GAATGCACT-----	CATTCCGT-----	353
	*** * *	*** * *	
 IA-025iv_OMT_Colonia2	--AGGCTTTG-----	TTG 364	
IA-025iv_OMT_Colonia7	--AGGCTTTG-----	TTG 364	
IA-036_OMT_Colonial0	--AGGCTTTG-----	TTG 364	
IA-021iv_OMT_Colonia4	--AGGCTTTG-----	TTG 364	
IA-100_OMT_Colonial	--AGGCTTTG-----	TTG 364	
IA-025iv_OMT_Colonia17	--AGGCTTTG-----	TTG 364	
IA-036_OMT_Colonial7	--AGGCTTTG-----	TTG 364	
IA-021iv_OMT_Colonia9	ACCAAACCTCTAAAAACCCAATAAAAAAAAAAAATAAACCAAAATTA		800
IA-036_OMT_Colonial9	--AAGCCTTG-----	TTG 364	
IA-025iv_OMT_Colonia8	--AAGCCTTG-----	TTG 364	
IA-021iv_OMT_Colonia20	--AAGCCTTG-----	TTG 364	
	* * *	**	
 IA-025iv_OMT_Colonia2	-----AATG-----	GGATGCCTCCATCTAACAGACGG 389	
IA-025iv_OMT_Colonia7	-----AATG-----	GGATGCCTCCATCTAACAGACGG 389	
IA-036_OMT_Colonial0	-----AATG-----	GGATGCCTCCATCTAACAGACGG 389	
IA-021iv_OMT_Colonia4	-----AATG-----	GGATGCCTCCATCTAACAGACGG 389	
IA-100_OMT_Colonial	-----AATG-----	GGATGCCTCCATCTAACAGACGG 389	
IA-025iv_OMT_Colonia17	-----AATG-----	GGATGCCTCCATCTAACAGACGG 389	
IA-036_OMT_Colonial17	-----AATG-----	GGATGCCTCCATCTAACAGACGG 389	
IA-021iv_OMT_Colonia9	TCAAAGAAAATGTACTCAAGCTCCAAGAGATCCCCCATTTAAACACCC		850
IA-036_OMT_Colonial9	-----AATG-----	GAATGCCCATCAAGACCG 389	
IA-025iv_OMT_Colonia8	-----AATG-----	GAATGCCCATCAAGACCG 389	
IA-021iv_OMT_Colonia20	-----AATG-----	GAATGCCCATCAAGACCG 389	
	*****	*** * *****	*** * *
 IA-025iv_OMT_Colonia2	-----CATCCTTCAAATGGTACCAGCTCTCTATGA-----	GGATCTT 426	
IA-025iv_OMT_Colonia7	-----CATCCTTCAAATGGTACCAGCTCTCTATGA-----	GGATCTT 426	
IA-036_OMT_Colonial0	-----CATCCTTCAAATGGTACCAGCTCTCTATGA-----	GGATCTT 426	
IA-021iv_OMT_Colonia4	-----CATCCTTCAAATGGTACCAGCTCTCTATGA-----	GGATCTT 426	
IA-100_OMT_Colonial	-----CATCCTTCAAATGGTACCAGCTCTCTATGA-----	GGATCTT 426	
IA-025iv_OMT_Colonia17	-----CATCCTTCAAATGGTACCAGCTCTCTATGA-----	GGATCTT 426	
IA-036_OMT_Colonial7	-----CATCCTTCAAATGGTACCAGCTCTCTATGA-----	GGATCTT 426	
IA-021iv_OMT_Colonia9	GCCCCCATCCCAAAGGAAAACAACCTCTTATCAAAGGCCTGGCCTT		900
IA-036_OMT_Colonial9	-----CATCCTTCAAAGTGGTACCCAGCTCTCATGA-----	GGACCTT 426	
IA-025iv_OMT_Colonia8	-----CATCCTTCAAAGTGGTACCCAGCTCTCATGA-----	GGACCTT 426	
IA-021iv_OMT_Colonia20	-----CATCCTTCAAAGTGGTACCCAGCTCTCATGA-----	GGACCTT 426	
	*****	*	*** * *****
 IA-025iv_OMT_Colonia2	-----		
IA-025iv_OMT_Colonia7	-----		
IA-036_OMT_Colonial0	-----		
IA-021iv_OMT_Colonia4	-----		
IA-100_OMT_Colonial	-----		
IA-025iv_OMT_Colonia17	-----		
IA-036_OMT_Colonial17	-----		
IA-021iv_OMT_Colonia9	TCACATAAGTCGAAACCTAAAAAAATGTTTTGGAGAATAATCAGC		950
IA-036_OMT_Colonial9	-----		
IA-025iv_OMT_Colonia8	-----		
IA-021iv_OMT_Colonia20	-----		
 IA-025iv_OMT_Colonia2	-----	GTCTGGTTCATGAGCCCA 445	
IA-025iv_OMT_Colonia7	-----	GTCTGGTTCATGAGCCCA 445	
IA-036_OMT_Colonial0	-----	GTCTGGTTCATGAGCCCA 445	
IA-021iv_OMT_Colonia4	-----	GTCTGGTTCATGAGCCCA 445	
IA-100_OMT_Colonial	-----	GTCTGGTTCATGAGCCCA 445	
IA-025iv_OMT_Colonia17	-----	GTCTGGTTCATGAGCCCA 445	
IA-036_OMT_Colonial7	-----	GTCTGGTTCATGAGCCCA 445	
IA-021iv_OMT_Colonia9	CTAAACAAAAACCCAAAGCCAAACCCCAATTAAAAACCCA		1000
IA-036_OMT_Colonial9	-----	GTCTGGTTCATGAGCCCA 445	
IA-025iv_OMT_Colonia8	-----	GTCTGGTTCATGAGCCCA 445	
IA-021iv OMT Colonia20	-----	GTCTGGTTCATGAGCCCA 445	

* * * * *		
IA-025iv_OMT_Colonia2	-----	AGAGC----- 450
IA-025iv_OMT_Colonia7	-----	AGAGC----- 450
IA-036_OMT_Colonial0	-----	AGAGC----- 450
IA-021iv_OMT_Colonia4	-----	AGAGC----- 450
IA-100_OMT_Colonial	-----	AGAGC----- 450
IA-025iv_OMT_Colonia17	-----	AGAGC----- 450
IA-036_OMT_Colonial17	-----	AGAGC----- 450
IA-021iv_OMT_Colonia9	CACCCCCAACCCACCCCACACTATTACAAAAAAGAAAAAGAACAAAAC	1050
IA-036_OMT_Colonial9	-----	AGAGC----- 450
IA-025iv_OMT_Colonia8	-----	AGAGC----- 450
IA-021iv_OMT_Colonia20	-----	AGAGC----- 450
	*** *	
IA-025iv_OMT_Colonia2	-----	GGCCAT--GGACA----- 461
IA-025iv_OMT_Colonia7	-----	GGCCAT--GGACA----- 461
IA-036_OMT_Colonial0	-----	GGCCAT--GGAGA----- 461
IA-021iv_OMT_Colonia4	-----	GGCCAT--GGAGA----- 461
IA-100_OMT_Colonial	-----	GGCCAT--GGACA----- 461
IA-025iv_OMT_Colonia17	-----	GGCCAT--GGACA----- 461
IA-036_OMT_Colonial17	-----	GGCCAT--GGACA----- 461
IA-021iv_OMT_Colonia9	CACAAAAACGAGACAAGAGACAAAGGCCATTGAAAAAATCTAACAGCA	1100
IA-036_OMT_Colonial9	-----	AGCCAT--GGACA----- 461
IA-025iv_OMT_Colonia8	-----	AGCCAT--GGACA----- 461
IA-021iv_OMT_Colonia20	-----	AGCCAT--GGACA----- 461
	***** * * *	
IA-025iv_OMT_Colonia2	-----	
IA-025iv_OMT_Colonia7	-----	
IA-036_OMT_Colonial0	-----	
IA-021iv_OMT_Colonia4	-----	
IA-100_OMT_Colonial	-----	
IA-025iv_OMT_Colonia17	-----	
IA-036_OMT_Colonial17	-----	
IA-021iv_OMT_Colonia9	ACCCCTTTAAAGCCTATAAACACACACCACCCCCCTAAAAAAATCA	1150
IA-036_OMT_Colonial9	-----	
IA-025iv_OMT_Colonia8	-----	
IA-021iv_OMT_Colonia20	-----	
	***** * * *	
IA-025iv_OMT_Colonia2	-----CCCCACCCCTCGTA---	474
IA-025iv_OMT_Colonia7	-----CCCCACCCCTCGTA---	474
IA-036_OMT_Colonial0	-----CCCCACCCCTCGTA---	474
IA-021iv_OMT_Colonia4	-----CCCCACCCCTCAT---	474
IA-100_OMT_Colonial	-----CCCCACCCCTCAT---	474
IA-025iv_OMT_Colonia17	-----CCCCACCCCTCAT---	474
IA-036_OMT_Colonial17	-----CCCCGTCCCTCAT---	474
IA-021iv_OMT_Colonia9	TTATAACTCCCCCTCTCATATG	1174
IA-036_OMT_Colonial9	-----CCCCACCCCTCAT---	474
IA-025iv_OMT_Colonia8	-----CCCCACCCCTCAT---	474
IA-021iv_OMT_Colonia20	-----CCCCATCCTCAT---	474
	***** * * *	

Figura 27. Alineamiento múltiple de secuencias de ADNc correspondientes al inserto para la enzima OMT en plásmidos recombinantes. Transformación proveniente de amplificados de ADNc obtenidos a partir de muestras de *Z. carinata*. No se ha incluido la secuencia del individuo IA-021iv_OMT_Colonia9.

CLUSTAL 2.1 multiple sequence alignment	
IA-100_OMT_Colonial	TTGCGCGTCGTTCCAGTCGTGCAAATCCACTTCATGAAAATGGCATCTC 50
IA-100_OMT_Colonia2	TTGCGCGTCGTTCCAGTCGTGCAAATCCACTTCATGAAAATGGCATCTC 50
IA-036_OMT_Colonial0	TTGCGCGTCGTTCCAGTCGTGCAAATCCACTTCATGAAAATGGCATCTC 50
IA-025iv_OMT_Colonia7	TTGCGCGTCGTTCCAGTCGTGCAAATCCACTTCATGAAAATGGCATCTC 50
IA-025iv_OMT_Colonia2	TTGCTCGTCGCTCCAGTCGTGCAAATCCACTTCATGAAAATGGCATCTC 50
IA-021iv_OMT_Colonia4	TTGCTCGTCGCTCCAGTCGTGCAAATCCACTTCATGAAAATGGCATCTC 50
IA-025iv_OMT_Colonia17	TTGCGCGTCGTTCCAGTCGTGCAAATCCACTTCATGAAAATGGCATCTC 50
IA-036_OMT_Colonial7	TTGCGCGTCGTTCCAGTCGTGCAAATCCACTTCATGAAAATGGCATCTC 50
IA-036_OMT_Colonial19	TTGCTCGTCGTTCCAGTCGTGCAAATCCACTTCATGAAAATGGCATCTC 50
IA-021iv_OMT_Colonia20	TTGCGCGTCGTTCCAGTCGTGCAAATCCACTTCATGAAAATGGCATCTC 50
IA-025iv_OMT_Colonia8	TTGCGCGTCACCCAGTCGTGCAAATCCACTTCATGAAAATGGCATCTC 50
	***** * * *
IA-100_OMT_Colonial	CACTAGGCACGCTCTCAAACATATCTCCACCAACATGCTCCACCCAGGA 100
IA-100_OMT_Colonia2	CACTAGGCACGCTCTCAAACATATCTCCACCAACATGCTCCACCCAGGA 100

IA-036_OMT_Colonial0	CACTAGGCACGCTCTCAAACATATCTCCACCAACATGCTCCACCCAGGA 100
IA-025iv_OMT_Colonia17	CACTAGGCACGCTCTCAAACATATCTCCACCAACATGCTCCACCCAGGA 100
IA-025iv_OMT_Colonia2	CACTAGGCACGCTCTCAAACATATCTCCACCAACATGCTCCACCCAGGA 100
IA-021iv_OMT_Colonia4	CACTAGGCACGCTCTCAAACATATCTCCACCAACATGCTCCACCCAGGA 100
IA-025iv_OMT_Colonia17	CACTAGGCACGCTCTCAAACATATCTCCACCAACATGCTCCACCCAGGA 100
IA-036_OMT_Colonia17	CACTGGCACGCTCTCAAACATATCTCCACCAACATGCTCCACCCTAGGA 100
IA-036_OMT_Colonia19	CACTCGGAACGCTCACAAACATATCTCCACCAATGAACTCCACTCCAGAG 100
IA-021iv_OMT_Colonia20	CACTCGGAACGCTCACAAACATATCTCCACCAATGAACTCCACTCCAGAG 100
IA-025iv_OMT_Colonia8	CACTCGGAACGCTCACAAACATATCTCCACCAATGAACGCCACTCCAGAG 100
***** * ***** * ***** * ***** * ***** * ***** * *****	
IA-100_OMT_Colonial	ATAGGTTCTGCTCGGATAAACGTGGGGTAGATCGAAGTTGATCCCTT 150
IA-100_OMT_Colonia2	ATAGGTTCTGCTCGGATAAACGTGGGGTAGATCGAAGTTGATCCCTT 150
IA-036_OMT_Colonia0	ATAGGTTCTGCTCGGATAAACGTGGGGTAGATCGAAGTTGATCCCTT 150
IA-025iv_OMT_Colonia7	ATAGGTTCTGCTCGGATAAACGTGGGGTAGATCGAAGTTGATCCCTT 150
IA-025iv_OMT_Colonia2	ATAGGTTCTGCTCGGATAAACGTGGGGTAGATCGAAGTTGATCCCTT 150
IA-021iv_OMT_Colonia4	ATAGGTTCTGCTCGGATAAACGTGGGGTAGATCGAAGTTGATCCCTT 150
IA-025iv_OMT_Colonia17	ATAGGTTCTGCTCGGATAAACGTGGGGTAGATCGAAGTTGATCCCTT 150
IA-036_OMT_Colonia17	ATAGGTTCTGCTCGGATAAACGTGGGGTAGATCGAAGTTGATCCCTT 150
IA-036_OMT_Colonia19	ATTGGTTTGCTCGGATACGCACATGAGACAAGTCAAAGACATCCCTT 150
IA-021iv_OMT_Colonia20	ATTGGTTTGCTCGGATACGCACATGAGACAAGTCAAAGACATCCCTT 150
IA-025iv_OMT_Colonia8	ATTGGTTTGCTCGGATACGCACATGAGACAAGTCAAAGACATCCCTT 150
***** * ***** * ***** * ***** * ***** * ***** * *****	
IA-100_OMT_Colonial	CAGGTGAGGATTTCTTGATGATCATATTAATGGCCCCCGACTCCTC 200
IA-100_OMT_Colonia2	CAGGTGAGGATTTCTTGATGATCATATTAATGGCCCCCGACTCCTC 200
IA-036_OMT_Colonia0	CAGGTGAGGATTTCTTGATGATCATATTAATGGCCCCCGACTCCTC 200
IA-025iv_OMT_Colonia7	CAGGTGAGGATTTCTTGATGATCATATTAATGGCCCCCGACTCCTC 200
IA-025iv_OMT_Colonia2	CAGGTGAGGATTTCTTGATGATCATATTAATGGCCCCCGACTCCTC 200
IA-021iv_OMT_Colonia4	CAGGTGAGGATTTCTTGATGATCATATTAATGGCCCCCGACTCCTC 200
IA-025iv_OMT_Colonia17	CAGGTGAGGATTTCTTGATGATCATATTAATGGCCCCCGACTCCTC 200
IA-036_OMT_Colonia17	CAGGTGAGGATTTCTTGATGATCATATTAATGGCCCCCGACTCCTC 200
IA-036_OMT_Colonia19	CAGGTGAGGATTTCTTGATGATCATATTAATGGCCCCCGACTCCTC 200
IA-021iv_OMT_Colonia20	CAAGTGAGGATGCTCTTGACTATCATGTTCATGGCCCTCCGACTCCTC 200
IA-025iv_OMT_Colonia8	CAAGTGAGGATGCTCTTGACTATCATGTTCATGGCCCTCCGACTCCTC 200
***** * ***** * ***** * ***** * ***** * ***** * *****	
IA-100_OMT_Colonial	CTCCGACATCGACGAGAACCTTGAGATCGTCAAAGCCCTTGAGTTTCG 250
IA-100_OMT_Colonia2	CTCCGACATCGACGAGAACCTTGAGATCGTCAAAGCCCTTGAGTTTCG 250
IA-036_OMT_Colonia0	CTCCGACATCGACGAGAACCTTGAGATCGTCAAAGCCCTTGAGTTTCG 250
IA-025iv_OMT_Colonia7	CTCCGACATCGACGAGAACCTTGAGATCGTCAAAGCCCTTGAGTTTCG 250
IA-025iv_OMT_Colonia2	CTCCGACATCGACGAGAACCTTGAGATCGTCAAAGCCCTTGAGTTTCG 250
IA-021iv_OMT_Colonia4	CTCCGACATCGACGAGAACCTTGAGATCGTCAAAGCCCTTGAGTTTCG 250
IA-025iv_OMT_Colonia17	CTCCGACATCGACGAGAACCTTGAGATCGTCAAAGCCCTTGAGTTTCG 250
IA-036_OMT_Colonia17	CTCCGACATCGACGAGAACCTTGAGATCGTCAAAGCCCTTGAGTTTCG 250
IA-036_OMT_Colonia19	CTCCGACATCGACGAGAACCTTGAGATCGTCAAAGCCCTTGAGTTTCG 250
IA-021iv_OMT_Colonia20	CTCCGACATCGACGAGAACCTTGAGATCGTCAAAGCCCTTGAGTTTCG 250
IA-025iv_OMT_Colonia8	CTCCGACATCGACGAGAACCTTGAGATCGTCAAAGCCCTTGAGTTTCG 250
***** * ***** * ***** * ***** * ***** * ***** * *****	
IA-100_OMT_Colonial	AGAATCTTCTGGTGTATGGTGGAGGTATTCCCATCCCTCGTTGAA 300
IA-100_OMT_Colonia2	AGAATCTTCTGGTGTATGGTGGAGGTATTCCCATCCCTCGTTGAA 300
IA-036_OMT_Colonia0	AGAATCTTCTGGTGTATGGTGGAGGTATTCCCATCCCTCGTTGAA 300
IA-025iv_OMT_Colonia7	AGAATCTTCTGGTGTATGGTGGAGGTATTCCCATCCCTCGTTGAA 300
IA-025iv_OMT_Colonia2	AGAATCTTCTGGTGTATGGTGGAGGTATTCCCATCCCTCGTTGAA 300
IA-021iv_OMT_Colonia4	AGAATCTTCTGGTGTATGGTGGAGGTATTCCCATCCCTCGTTGAA 300
IA-025iv_OMT_Colonia17	AGAATCTTCTGGTGTATGGTGGAGGTATTCCCATCCCTCGTTGAA 300
IA-036_OMT_Colonia17	AGAATCTTCTGGTGTATGGTGGAGGTATTCCCATCCCTCGTTGAA 300
IA-036_OMT_Colonia19	AGAATCTTCTGGTGTATGGTGGAGGTATTCCCATCCCTCGTTGAA 300
IA-021iv_OMT_Colonia20	AGGATCTTTGGTGTATGGTGGAGGTATTCCCATCCCTCGTTGAA 300
IA-025iv_OMT_Colonia8	AGGATCTTTGGTGTATGGTGGAGGTATTCCCATCCCTCGTTGAA 300
***** * ***** * ***** * ***** * ***** * ***** * *****	
IA-100_OMT_Colonial	ACCCCTGTTGAATCTGGTCCGCGTGGTATTGAAACGGGTCATT 350
IA-100_OMT_Colonia2	ACCCCTGTTGAATCTGGTCCGCGTGGTATTGAAACGGGTCATT 350
IA-036_OMT_Colonia0	ACCCCTGTTGAATCTGGTCCGCGTGGTATTGAAACGGGTCATT 350
IA-025iv_OMT_Colonia7	ACCCCTGTTGAATCTGGTCCGCGTGGTATTGAAACGGGTCATT 350
IA-025iv_OMT_Colonia2	ACCCCTGTTGAATCTGGTCCGCGTGGTATTGAAACGGGTCATT 350
IA-021iv_OMT_Colonia4	ACCCCTGTTGAATCTGGTCCGCGTGGTATTGAAACGGGTCATT 350
IA-025iv_OMT_Colonia17	ACCCCTGTTGAATCTGGTCCGCGTGGTATTGAAACGGGTCATT 350
IA-036_OMT_Colonia17	ACCCCTGTTGAATCTGGTCCGCGTGGTATTGAAACGGGTCATT 350
IA-036_OMT_Colonia19	ACCCCTGTTGAACCTCGGGTCAGTGGCATGGTACTGGAATGCACTCATTC 350
IA-021iv_OMT_Colonia20	ACCCCTGTTGAACCTCGGGTCAGTGGCATGGTACTGGAATGCACTCATTC 350
IA-025iv_OMT_Colonia8	ACCCCTGTTGAACCTCGGGTCAGTGGCATGGTACTGGAATGCACTCATTC 350
***** * ***** * ***** * ***** * ***** * ***** * *****	
IA-100_OMT_Colonial	CATAGGCTTTGTGAATGGGATGCTCCATCTAACAGCGGCATCCCTCAA 400
IA-100_OMT_Colonia2	CATAGGCTTTGTGAATGGGATGCTCCATCTAACAGCGGCATCCCTCAA 400
IA-036_OMT_Colonia0	CATAGGCTTTGTGAATGGGATGCTCCATCTAACAGCGGCATCCCTCAA 400
IA-025iv_OMT_Colonia7	CATAGGCTTTGTGAATGGGATGCTCCATCTAACAGCGGCATCCCTCAA 400
IA-025iv_OMT_Colonia2	CATAGGCTTTGTGAATGGGATGCTCCATCTAACAGCGGCATCCCTCAA 400
IA-021iv_OMT_Colonia4	CATAGGCTTTGTGAATGGGATGCTCCATCTAACAGCGGCATCCCTCAA 400
IA-025iv OMT Colonia17	CATAGGCTTTGTGAATGGGATGCTCCATCTAACAGCGGCATCCCTCAA 400

IA-036_OMT_Colonial17	CATAGGCTTTGTGAATGGGATGCCTCCATCTAAGACGGCATCCTCGAG	400
IA-036_OMT_Colonial19	CGTAAGCCTTGTGAATGGAATGCCCATCCAAGACCGCATCCTCAAG	400
IA-021iv_OMT_Colonia20	CGTAAGCCTTGTGAATGGAATGCCCATCCAAGACCGCATCCTCAAG	400
IA-025iv_OMT_Colonia8	CGTAAGCCTTGTGAATGGAATGCCCATCCAAGACCGCATCCTCAAG	400
*	*****	*
IA-100_OMT_Colonial	TGGTACCAAGCTCTCATGAGGATCTTGTCCTGGTTCATGAGCCAAGAGC	450
IA-100_OMT_Colonia2	TGGTACCAAGCTCTCATGAGGATCTTGTCCTGGTTCATGAGCCAAGAGC	450
IA-036_OMT_Colonial0	TGGTACCAAGCTCTCATGAGGATCTTGTCCTGGTTCATGAGCCAAGAGC	450
IA-025iv_OMT_Colonia7	TGGTACCAAGCTCTCATGAGGATCTTGTCCTGGTTCATGAGCCAAGAGC	450
IA-025iv_OMT_Colonia2	TGGTACCAAGCTCTCATGAGGATCTTGTCCTGGTTCATGAGCCAAGAGC	450
IA-021iv_OMT_Colonia4	TGGTACCAAGCTCTCATGAGGATCTTGTCCTGGTTCATGAGCCAAGAGC	450
IA-025iv_OMT_Colonia17	TGGTACCAAGCTCTCATGAGGATCTTGTCCTGGTTCATGAGCCAAGAGC	450
IA-036_OMT_Colonia17	TGGTACCAAGCTCTCATGAGGATCTTGTCCTGGTTCATGAGCCAAGAGC	450
IA-036_OMT_Colonia19	TGGTACCAAGCTCTCATGAGGACCTTGTCTGGTTCATGAGCCCCAGAGC	450
IA-021iv_OMT_Colonia20	TGGTACCAAGCTCTCATGAGGACCTTGTCTGGTTCATGAGCCAAGAGC	450
IA-025iv_OMT_Colonia8	TGGTACCAAGCTCTCATGAGGACCTTGTCTGGTTCATGAGCCAAGAGC	450
*	*****	*
IA-100_OMT_Colonial	GGCCATGGACACCCCACCCCTCATATA	474
IA-100_OMT_Colonia2	GGCCATGGACACCCCACCCCTCATATA	474
IA-036_OMT_Colonial0	GGCCATGGAGACCCCACCCCTCGTA	474
IA-025iv_OMT_Colonia7	GGCCATGGACACCCCACCCCTCGTA	474
IA-025iv_OMT_Colonia2	GGCCATGGACACCCCACCCCTCGTA	474
IA-021iv_OMT_Colonia4	GGCCATGGAGACACCCCACCCCTCGTA	474
IA-025iv_OMT_Colonia17	GGCCATGGAGACACCCCACCCCTCGTA	474
IA-036_OMT_Colonial17	GGCCATGGAGACACCCCACCCCTCGTA	474
IA-036_OMT_Colonia19	AGCCATGGACACCCCACCCCTCGTA	474
IA-021iv_OMT_Colonia20	AGCCATGGACACCCCACCCCTCGTA	474
IA-025iv_OMT_Colonia8	AGCCATGGACACCCCACCCCTCGTA	474
*	*****	*

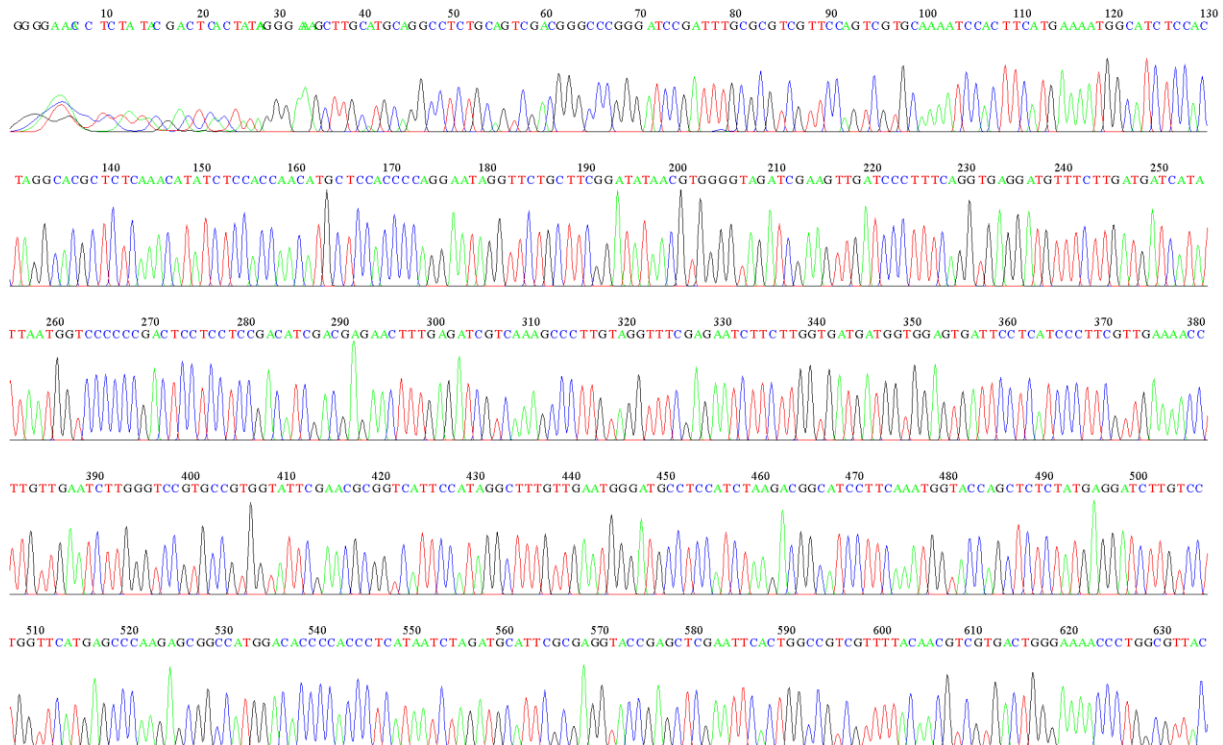


Figura 28. Cromatograma correspondiente a la secuenciación del inserto del amplificado de la enzima OMT en plásmidos recombinantes. La secuencia pertenece a la muestra de IA-036_OMT_Colonia19. Macrogen Korea es el proveedor del servicio de secuenciación.

```

CLUSTAL 2.1 multiple sequence alignment
IA-100_OMT_Colonial1      TTGCGCGTCGTTCCAGTCGTGCAAATCCACTTCATGAAAATGGCATCTCCACTAGGCAC 60
IA-100_OMT_Colonia2        TTGCGCGTCGTTCCAGTCGTGCAAATCCACTTCATGAAAATGGCATCTCCACTAGGCAC 60
*****
IA-100_OMT_Colonial1      GCTCTCAACATATCTCACCACATGCTCCACCCAGGAATAGGTTCTGCTTCGGATAT 120
IA-100_OMT_Colonia2        GCTCTCAACATATCTCACCACATGCTCCACCCAGGAATAGGTTCTGCTTCGGATAT 120
*****
IA-100_OMT_Colonial1      AACGTGGGGTAGATCGAAGTTGATCCCTTCAGGTGAGGATGTTCTGATGATCATATT 180
IA-100_OMT_Colonia2        AACGTGGGGTAGATCGAAGTTGATCCCTTCAGGTGAGGATGTTCTGATGATCATATT 180
*****
IA-100_OMT_Colonial1      AATGGTCCCCCGACTCCTCCGACATCGACAGAACTTTGAGATCGTCAAAGCCCTT 240
IA-100_OMT_Colonia2        AATGGTCCCCCGACTCCTCCGACATCGACAGAACTTTGAGATCGTCAAAGCCCTT 240
*****
IA-100_OMT_Colonial1      GTAGGTTTCGAGAACATCTTGGTATGGTGAGGATGGTGGAGTATTCCATCCCTCGTTGAA 300
IA-100_OMT_Colonia2        GTAGGTTTCGAGAACATCTTGGTATGGTGAGGATGGTGGAGTATTCCATCCCTCGTTGAA 300
*****
IA-100_OMT_Colonial1      AACCTTGGTAGATCTTGGTCCGTCGGTATTGAAACCGCGTCAATTCCATAGGCTTT 360
IA-100_OMT_Colonia2        AACCTTGGTAGATCTTGGTCCGTCGGTATTGAAACCGCGTCAATTCCATAGGCTTT 360
*****
IA-100_OMT_Colonial1      GTTGAATGGGATGCCCATCTAAAGACGGCATCCTCAAATGGTACAGCTCTATGAG 420
IA-100_OMT_Colonia2        GTTGAATGGGATGCCCATCTAAAGACGGCATCCTCAAATGGTACAGCTCTATGAG 420
*****
IA-100_OMT_Colonial1      GATCTTGCCTGGTTCATGAGCCAAGAGCGGCCATGGACACCCACCCCTATA 474
IA-100_OMT_Colonia2        GATCTTGCCTGGTTCATGAGCCAAGAGCGGCCATGGACACCCACCCCTATA 474
*****

```

Figura 29. Alineamiento múltiple de las secuencias de ADNc obtenidas a partir de los insertos correspondientes a un fragmento de la enzima OMT para el individuo IA-100

```

CLUSTAL 2.1 multiple sequence alignment
IA-036_OMT_Colonia10     TTGCGCGTCGTTCCAGTCGTGCAAATCCACTTCATGAAAATGGCATCTCCACTAGGCAC 60
IA-036_OMT_Colonia17     TTGCGCGTCGTTCCAGTCGTGCAAATCCACTTCATGAAAATGGCATCTCCACTAGGCAC 60
IA-036_OMT_Colonia19     TTGCGCGTCGTTCCAGTCGTGCAAATCCACTTCATGAAAATGGCATCTCCACTAGGCAC 60
*****
IA-036_OMT_Colonia10     GCTCTCAACATATCTCACCACATGCTCCACCCAGGAATGGGTTCTGCTTCGGATAT 120
IA-036_OMT_Colonia17     GCTCTCAACATATCTCACCACATGCTCCACCCAGGAATGGGTTCTGCTTCGGATAT 120
IA-036_OMT_Colonia19     GCTCACACACATATCTCACCACATGAACTCCACTCCAGAGATGGTTTGCTTCGGATAC 120
*****
IA-036_OMT_Colonia10     AACGTGGGGTAGATCGAAGTTGATCCCTTCAGGTGAGGATGTTCTGATGATCATATT 180
IA-036_OMT_Colonia17     AACGTGGGGTAGATCGAAGTTGATCCCTTCAGGTGAGGATGTTCTGATGATCATGTT 180
IA-036_OMT_Colonia19     GACATGAGACAAGTCAAAGACAATCCCTTCAGTGGAGATGCTCTGACTATCATGTT 180
***** * * * * * * * * * * * * * * * * * * * * * * * * * * * * * * * * * * * * * * * *
IA-036_OMT_Colonia10     AATGGTCCCCCGACTCCTCCGACATCGACGAGAACTTTGAGATCGTCAAAGCCCTT 240
IA-036_OMT_Colonia17     AATGGTCCCCCGACTCCTCCGACATCGACGAGAACTTTGAGATCGTCAAAGCCCTT 240
IA-036_OMT_Colonia19     CATGGTCCCTCCGACTCCTCCCTACATCGACAAGCACATCGAGATCATCAAAGCCCTT 240
*****
IA-036_OMT_Colonia10     GTAGGTTTCGAGAACATCTTGGTATGGTGAGGATGGTGGAGTATTCCATCCCTCGTTGAA 300
IA-036_OMT_Colonia17     GTAGGTTTCGAGAACATCTTGGTATGGTGAGGATGGTGGAGTATTCCATCCCTCGTTGAA 300
IA-036_OMT_Colonia19     ATAGGTTTCGAGGATCTTTGGTATGGTGAGGATGGTGGAGTATTCCATCCCTCATTGAA 300
*****
IA-036_OMT_Colonia10     AACCTTGGTAATCTGGGTCGGTCCGTTATTGAAACCGCGTCAATTCCATAGGCTTT 360
IA-036_OMT_Colonia17     AACCTTGGTAATCTGGGTCGGTCCGTTATTGAAACCGCGTCAATTCCATAGGCTTT 360
IA-036_OMT_Colonia19     CACCTGGTAATCTGGGTCGGTCCGTTATTGAAACCGCGTCAATTCCGTAAAGCCTT 360
***** * * * * * * * * * * * * * * * * * * * * * * * * * * * * * * * * * * * * * * * *
IA-036_OMT_Colonia10     GTTGAATGGGATGCCCATCTAAAGACGGCATCCTCAAATGGTACAGCTCTATGAG 420
IA-036_OMT_Colonia17     GTTGAATGGGATGCCCATCTAAAGACGGCATCCTCGAGTGGTACAGCTCTATGAG 420
IA-036_OMT_Colonia19     GTTGAATGGGATGCCCATCTAAAGACGGCATCCTCAAATGGTACAGCTCTATGAG 420
*****
IA-036_OMT_Colonia10     GATCTTGCCTGGTTCATGAGCCAAGAGCGGCCATGGAGACCCACCCCTCGTA 474
IA-036_OMT_Colonia17     GATCTTGCCTGGTTCATGAGCCAAGAGCGGCCATGGAGACCCACCCCTCGTA 474
IA-036_OMT_Colonia19     GACCTTGCCTGGTTCATGAGCCAAGAGCGGCCATGGAGACCCACCCACCCCTATA 474
***** * * * * * * * * * * * * * * * * * * * * * * * * * * * * * * * * * * * * * * * *

```

Figura 30. Alineamiento múltiple de las secuencias de ADNc obtenidas a partir de los insertos correspondientes a un fragmento de la enzima OMT para el individuo IA-036.

CLUSTAL 2.1 multiple sequence alignment	
IA-021iv_OMP_Colonia4	TTGCTCGTCGCCAGTCGTCAAATCCACTTATGAAAATGGCATCTC
IA-021iv_OMP_Colonia20	TTGCGCGTCGTTCCAGTCGTCAAATCCACTTATGAAAATGGCATCTC
IA-021iv_OMP_Colonia4	***** * ***** * ***** * ***** * ***** * ***** * *****
IA-021iv_OMP_Colonia20	CACTAGGCACGCCCTCAAACATATCTCCACCAACATGCTCCACCCAGGA
IA-021iv_OMP_Colonia4	100
IA-021iv_OMP_Colonia20	CACTCGGAACGCCCTCAAACATATCTCCACCAATGAACTCCACTCCAGAG
IA-021iv_OMP_Colonia4	100
IA-021iv_OMP_Colonia20	***** * ***** * ***** * ***** * ***** * ***** * *****
IA-021iv_OMP_Colonia4	ATAGGTTCTCGTCGATATAACGTGGGTAGATCGAAGTTGATCCCTT
IA-021iv_OMP_Colonia20	150
IA-021iv_OMP_Colonia4	ATTGGTTTGCTCGGATACGACATGAGACAAGTCAAAGACAATCCCTT
IA-021iv_OMP_Colonia20	150
IA-021iv_OMP_Colonia4	** * *** * ***** *
IA-021iv_OMP_Colonia20	CAGGTGAGGATTTCTTGATGATCATATAATGGTCCCCCGACTCTC
IA-021iv_OMP_Colonia4	200
IA-021iv_OMP_Colonia20	CAAGTGAGGATCTTGTACTATGTTCATGGTCCCCCGACTCTC
IA-021iv_OMP_Colonia4	200
IA-021iv_OMP_Colonia20	** * ***** *
IA-021iv_OMP_Colonia4	CTCCGACATGCCAGAACACTTGAGTCGAAAGCCCTTAGGTTCG
IA-021iv_OMP_Colonia20	250
IA-021iv_OMP_Colonia4	CTCCGACATGCCAGAACACTTGAGTCGAAAGCCCTTAGGTTCG
IA-021iv_OMP_Colonia20	250
IA-021iv_OMP_Colonia4	***** * ***** *
IA-021iv_OMP_Colonia20	AGAATCTCTGGTGTGATGATGGTGGAGTGTCCCTCATCCCTTATGAA
IA-021iv_OMP_Colonia4	300
IA-021iv_OMP_Colonia20	AGGATCTTGGTGTGATGATGGTGGAGTGTCCCTCATCCCTTATGAA
IA-021iv_OMP_Colonia4	300
IA-021iv_OMP_Colonia20	** * ***** *
IA-021iv_OMP_Colonia4	AACCTTGTGAATCTGGGTCGTCGGTGGTATTCGAACCGGGTATTC
IA-021iv_OMP_Colonia20	350
IA-021iv_OMP_Colonia4	CACCCCTGGTGAACCTCGGGTCACTGGCATGGTACTGGAAATCCACTCATTC
IA-021iv_OMP_Colonia20	350
IA-021iv_OMP_Colonia4	***** *
IA-021iv_OMP_Colonia20	***** *
IA-021iv_OMP_Colonia4	CATAGGCTTGTGAATGGGATGCGCTCATTAAGACGGCATCCCTCAA
IA-021iv_OMP_Colonia20	400
IA-021iv_OMP_Colonia4	CGTAAGGCTTGTGAATGGAAATGCCCATCAAGACCGCATCCCTCAA
IA-021iv_OMP_Colonia20	400
IA-021iv_OMP_Colonia4	* *
IA-021iv_OMP_Colonia20	TGGTACCAAGCTCTCATGAGGACCTTGTCTGGTATGAGCCAAAGAGC
IA-021iv_OMP_Colonia4	450
IA-021iv_OMP_Colonia20	TGGTACCAAGCTCTCATGAGGACCTTGTCTGGTATGAGCCAAAGAGC
IA-021iv_OMP_Colonia4	450
IA-021iv_OMP_Colonia20	***** *
IA-021iv_OMP_Colonia4	GGCCATGGAGACCCCACCCCTATA
IA-021iv_OMP_Colonia20	474
IA-021iv_OMP_Colonia4	AGCCATGGACACCCCATCCTCATA
IA-021iv_OMP_Colonia20	474
IA-021iv_OMP_Colonia4	***** *

Figura 31. Alineamiento múltiple de las secuencias de ADNc obtenidas a partir de los insertos correspondientes a un fragmento de la enzima OMT para el individuo IA-021 obtenido de cultivo *In vitro*.

CLUSTAL 2.1 multiple sequence alignment	
IA-025iv_OMP_Colonia2	TTGCTCGTCGCCAGTCGTCAAATCCACTTATGAAAATGGCATCTC
IA-025iv_OMP_Colonia7	TTGCGCGTCGTTCCAGTCGTCAAATCCACTTATGAAAATGGCATCTC
IA-025iv_OMP_Colonia17	TTGCGCGTCGTTCCAGTCGTCAAATCCACTTATGAAAATGGCATCTC
IA-025iv_OMP_Colonia8	TTGCGCGTCACCCAGTCGTCAAATCCACTTATGAAAATGGCATCTC
IA-025iv_OMP_Colonia2	***** * ***** * ***** * ***** * ***** * ***** * *****
IA-025iv_OMP_Colonia7	CACTAGGCACGCCCTCAAACATATCTCCACCAACATGCTCCACCCAGGA
IA-025iv_OMP_Colonia17	100
IA-025iv_OMP_Colonia8	CACTAGGCACGCCCTCAAACATATCTCCACCAACATGCTCCACCCAGGA
IA-025iv_OMP_Colonia2	100
IA-025iv_OMP_Colonia7	CACTAGGCACGCCCTCAAACATATCTCCACCAACATGCTCCACCCAGGA
IA-025iv_OMP_Colonia17	100
IA-025iv_OMP_Colonia8	CACTCGGAACGCCCTCAAACATATCTCCACCAACATGAAACGCCACTCCAGAG
IA-025iv_OMP_Colonia2	100
IA-025iv_OMP_Colonia7	***** * ***** *
IA-025iv_OMP_Colonia17	ATAGGTTCTCGTCGATATAACGTGGGTAGATCGAAGTTGATCCCTT
IA-025iv_OMP_Colonia8	150
IA-025iv_OMP_Colonia2	ATAGGTTCTCGTCGATATAACGTGGGTAGATCGAAGTTGATCCCTT
IA-025iv_OMP_Colonia7	150
IA-025iv_OMP_Colonia17	ATAGGTTCTCGTCGATATAACGTGGGTAGATCGAAGTTGATCCCTT
IA-025iv_OMP_Colonia8	150
IA-025iv_OMP_Colonia2	ATTGGTTTGCTCGGATACGACATGAGACAAGTCAAAGACAATCCCTT
IA-025iv_OMP_Colonia7	150
IA-025iv_OMP_Colonia17	***** *
IA-025iv_OMP_Colonia8	CAGGTGAGGATTTCTTGATGATCATATAATGGTCCCCCGACTCTC
IA-025iv_OMP_Colonia2	200
IA-025iv_OMP_Colonia7	CAGGTGAGGATTTCTTGATGATCATATAATGGTCCCCCGACTCTC
IA-025iv_OMP_Colonia17	200
IA-025iv_OMP_Colonia8	CAGGTGAGGATTTCTTGATGATCATATAATGGTCCCCCGACTCTC
IA-025iv_OMP_Colonia2	200
IA-025iv_OMP_Colonia7	CAAGTGAGGATCTTGTACTATCATGTTATGGTCCCCCGACTCTC
IA-025iv_OMP_Colonia17	200
IA-025iv_OMP_Colonia8	***** *
IA-025iv_OMP_Colonia2	CTCCGACATCGACGAGAACCTTGAGTCGAAAGCCCTTGTAGGTTCG
IA-025iv_OMP_Colonia7	250
IA-025iv_OMP_Colonia17	CTCCGACATCGACGAGAACCTTGAGTCGAAAGCCCTTGTAGGTTCG
IA-025iv_OMP_Colonia8	250
IA-025iv_OMP_Colonia2	CTCCGACATCGACGAGAACCTTGAGTCGAAAGCCCTTGTAGGTTCG
IA-025iv_OMP_Colonia7	250
IA-025iv_OMP_Colonia17	CTCCGACATCGACGAGAACCTTGAGTCGAAAGCCCTTGTAGGTTCG
IA-025iv_OMP_Colonia8	250
IA-025iv_OMP_Colonia2	***** *
IA-025iv_OMP_Colonia7	AGAATCTCTGGTGTGATGATGGTGGAGTGTCCCTCATCCCTCGTTGAA
IA-025iv_OMP_Colonia17	300
IA-025iv_OMP_Colonia8	AGAATCTCTGGTGTGATGATGGTGGAGTGTCCCTCATCCCTCGTTGAA
IA-025iv_OMP_Colonia2	300
IA-025iv_OMP_Colonia7	AGAATCTCTGGTGTGATGATGGTGGAGTGTCCCTCATCCCTCGTTGAA
IA-025iv_OMP_Colonia17	300
IA-025iv_OMP_Colonia8	AGGATCTTGGTGTGATGATGGTGGAGTGTCCCTCATCCCTCATGGTAA
IA-025iv_OMP_Colonia2	300
IA-025iv_OMP_Colonia7	***** *
IA-025iv_OMP_Colonia17	AACCTTGTGAATCTGGGTCGTCGGTGGTATTCGAACCGGGTATTC
IA-025iv_OMP_Colonia8	350
IA-025iv_OMP_Colonia2	AACCTTGTGAATCTGGGTCGTCGGTGGTATTCGAACCGGGTATTC
IA-025iv_OMP_Colonia7	350
IA-025iv_OMP_Colonia17	AACCTTGTGAATCTGGGTCGTCGGTGGTATTCGAACCGGGTATTC
IA-025iv_OMP_Colonia8	350
IA-025iv_OMP_Colonia2	CACCCCTGGTGAACCTCGGGTCACTGGCATGGTACTGGAAATCCACTCATTC
IA-025iv_OMP_Colonia7	350
IA-025iv_OMP_Colonia17	***** *
IA-025iv_OMP_Colonia8	***** *
IA-025iv_OMP_Colonia2	CATAGGCTTGTGAATGGGATGCGCTCATTAAGACGGCATCCCTCAA
IA-025iv_OMP_Colonia7	400
IA-025iv_OMP_Colonia17	CATAGGCTTGTGAATGGGATGCGCTCATTAAGACGGCATCCCTCAA
IA-025iv_OMP_Colonia8	400

IA-025iv_OMT_Colonia17	CATAGGCTTGTGAATGGGATGCCTCATTAAGACGGCATCCTTCAGA 400
IA-025iv_OMT_Colonia8	CGTAAGCCTTGTGAATGGAAATGCCCATCCAGACCGCATCCTTCAG 400
*	*****
IA-025iv_OMT_Colonia2	TGGTACCAAGCTCTATGAGGATCTGTCTGGTCATGAGCCCAGAGC 450
IA-025iv_OMT_Colonia7	TGGTACCAAGCTCTATGAGGATCTGTCTGGTCATGAGCCCAGAGC 450
IA-025iv_OMT_Colonia17	TGGTACCAAGCTCTATGAGGATCTGTCTGGTCATGAGCCCAGAGC 450
IA-025iv_OMT_Colonia8	TGGTACCAAGCTCTATGAGGACCTTGTCCTGGTCATGAGCCCAGAGC 450
*	*****
IA-025iv_OMT_Colonia2	GGCCATGGACACCCACCCCTCGTA 474
IA-025iv_OMT_Colonia7	GGCCATGGACACCCACCCCTCGTA 474
IA-025iv_OMT_Colonia17	GGCCATGGACACCCACCCCTCGTA 474
IA-025iv_OMT_Colonia8	AGCCATGGACACCCACCCCTCGTA 474
*	*****

Figura 32. Alineamiento múltiple de las secuencias de ADNc obtenidas a partir de los insertos correspondientes a un fragmento de la enzima OMT para el individuo IA-025 obtenido de cultivo *In vitro*.

CLUSTAL 2.1 multiple sequence alignment	
IA-100_OMT_Colonial	YEGGV SMAALGLMNQDKILIESWYHLKDAVL DGGIPFNKAYGMTAF EYHG 50
IA-036_OMT_Colonial0	YEGGV SMAALGLMNQDKILIESWYHLKDAVL DGGIPFNKAYGMTAF EYHG 50
IA-025iv_OMT_Colonia7	YEGGV SMAALGLMNQDKILIESWYHLKDAVL DGGIPFNKAYGMTAF EYHG 50
IA-025iv_OMT_Colonia17	YEGGV SMAALGLMNQDKILIESWYHLKDAVL DGGIPFNKAYGMTAF EYHG 50
*	*****
IA-100_OMT_Colonial	TDPRFNKVFNEMGRNHSTIITKKILETYKGFDLKLVLVDVGGVG GTINM 100
IA-036_OMT_Colonial0	TDPRFNKVFNEMGRNHSTIITKKILETYKGFDLKLVLVDVGGVG GTINM 100
IA-025iv_OMT_Colonia7	TDPRFNKVFNEMGRNHSTIITKKILETYKGFDLKLVLVDVGGVG GTINM 100
IA-025iv_OMT_Colonia17	TDPRFNKVFNEMGRNHSTIITKKILETYKGFDLKLVLVDVGGVG GTINM 100
*	*****
IA-100_OMT_Colonial	I I K K H P H L K G I N F D L P H V I S E A E P I P G V E H V G G D M F E S V P S G D A I F M K W I 150
IA-036_OMT_Colonial0	I I K K H P H L K G I N F D L P H V I S E A E P I P G V E H V G G D M F E S V P S G D A I F M K W I 150
IA-025iv_OMT_Colonia7	I I K K H P H L K G I N F D L P H V I S E A E P I P G V E H V G G D M F E S V P S G D A I F M K W I 150
IA-025iv_OMT_Colonia17	I I K K H P H L K G I N F D L P H V I S E A E P I P G V E H V G G D M F E S V P S G D A I F M K W I 150
*	*****
IA-100_OMT_Colonial	LHDWNDAQX 159
IA-036_OMT_Colonial0	LHDWNDAQX 159
IA-025iv_OMT_Colonia7	LHDWNDAQX 159
IA-025iv_OMT_Colonia17	LHDWNDAQX 159
*	*****

Figura 33. Alineamiento múltiple de las secuencias de aminoácidos obtenidas del proceso de traducción. Se obtiene la misma secuencia de aminoácidos para los 4 insertos descritos en el alineamiento, los cuales provienen de los individuos IA-100, IA-036 e IA-025iv.

Figura 34. Alineamiento múltiple de las secuencias de aminoácidos obtenidas del proceso de traducción, a partir del cual se identifican 6 secuencias diferentes.